



**Département de Maintenance en Instrumentation**

## **MÉMOIRE**

Pour l'obtention du diplôme de Master

**Filière : Génie Industriel**

**Spécialité : Ingénierie de la Maintenance en Instrumentation**

### **Thème**

# **Étude et Réalisation d'un véhicule anti collision avec arduino**

Présenté et soutenu publiquement par :

Berkani Ilhem

Devant le jury composé de :

<b>Nom et Prénom</b>	<b>Grade</b>	<b>Etablissement</b>	<b>Qualité</b>
Mme Benmansour Souhila	MCB	IMSI	<b>Président</b>
Mr Chennoufi Mohammed	MCA	IMSI	<b>Encadreur</b>
Mr Rouan Serik Mehdi	MCB	IMSI	<b>Examineur</b>

## Remerciment

Je remercie en premier lieu, le grand Dieu pour le courage, la patience et la santé qui m'a donné pour suivre mes études.

Il est agréable d'adresser quelques expressions de remerciements et de reconnaissances à toute personne, dont l'intervention au cours de ce projet a favorisé son aboutissement.

Je tiens à exprimer mes profonds remerciements à mon professeur encadreur M. Chennoufi Mohammed pour ces conseils qui m'a été judicieux.

J'adresse aussi mon plus vive reconnaissance à tous les enseignants de l'institut de maintenance et sécurité industriel (IMSI), département de maintenance en instrumentation ainsi qu'aux membres de jury qui ont accepté de juger mon travail.

Finalement, je remercie tous ceux qui ont contribué de près ou de loin à la réalisation de ce travail.

## Dédicace

Mon voyage à l'université a pris fin après un travail acharné.

Et me voici, terminant ma recherche de fin d'études avec vigueur et activité,

Et je suis reconnaissant à tous ceux qui ont eu une vertu dans ma carrière,

Et aidez-moi même un peu,

Mère, frères et Sœurs, professeurs.

Je dédie ce modeste travail

Ilhem,

## Abstract

Obstacle avoidance is an important task in the field of robotics, since the goal of the autonomous robot is to reach the destination without collision. Several algorithms have been proposed to avoid obstacles, with disadvantages and advantages. The present work mainly discussed different algorithms for robotic navigation with obstacle avoidance and path tracking. We also compared all the algorithms provided and mentioned their characteristics; pros and cons, so that we can select the effective final algorithm by merging the algorithms discussed.

**Keywords:** Autonomous control, obstacle avoidance , path planning , wheeled mobile robot.

## Résumé

L'évitement des obstacles est une tâche importante dans le domaine de la robotique, puisque l'objectif du robot autonome est d'atteindre la destination sans collision. Plusieurs algorithmes ont été proposés pour éviter les obstacles, ayant des inconvénients et des avantages. Le présent travail principalement discuté de différents algorithmes pour la navigation robotisée avec l'évitement des obstacles et le suivie de chemin. Nous avons également comparé tous les algorithmes fournis et mentionné leurs caractéristiques ; avantages et inconvénients, afin que nous puissions sélectionner l'algorithme final efficace en fusionnant les algorithmes discutés.

**Mots clés:** Contrôle autonome, évitement d'obstacles, planification de chemin, robot mobile à roues.

# Table des matières

<b>Introduction</b>	<b>1</b>	<b>2 Le robot mobile</b>	<b>14</b>
		2.1 Introduction .....	14
		2.2 Les Types de robot .....	14
		2.3 Caractéristiques du robot mobile	22
		2.4 Locomotion .....	23
		2.4.1 Introduction .....	23
		2.4.2 Questions clés pour la locomotion .....	23
		2.4.3 Robots mobiles à roues .....	24
		2.4.4 Autres concepts .....	25
		<b>partie II</b>	
		<b>Étude Théorique</b>	
<b>1 Fondamentaux de la robotique</b>	<b>4</b>	<b>3 Capteurs et perception</b>	<b>29</b>
1.1 La Robotique .....	4	3.1 Introduction .....	29
1.2 Les types de la robotique .....	4	3.2 Système de détection .....	30
1.3 Base de connaissances pour la robotique .....	5	3.3 Classification des capteurs .....	30
1.4 Le Robot .....	6	3.4 Capteurs infrarouges .....	31
1.5 Utilisations des robots .....	6	3.5 La fusion des capteurs .....	32
1.5.1 Application dans les Environnements '4D' .....	6	3.6 Les défis liés aux capteurs .....	33
1.5.2 Application pour les Tâches '4A' .....	8		
1.5.3 Augmentation .....	9		
1.6 Caractéristiques d'un robot ....	11		
1.7 Classification des robots .....	11		
1.8 Les composants du robot .....	12		

<b>4</b>	<b>Contrôle de robot mobile</b>	<b>34</b>	5.9 Les défis de la localisation . . . . .	47	
4.1	Introduction . . . . .	34	5.10 La cartographie . . . . .	47	
4.2	Approches de contrôle . . . . .	35	5.10.1 Construction du graphique d'exploration . . . . .	48	
4.3	Contrôle des retours d'information	36	5.10.2 Représentation continue . . .	48	
4.3.1	Boucle ouverte /Boucle fermée	36	5.10.3 Grille d'occupation . . . . .	50	
4.3.2	Le signal d'erreur . . . . .	36	5.10.4 Construction autonome de cartes ou SLAM . . . . .	50	
4.3.3	Les contrôleurs de retour d'information . . . . .	37	5.10.5 Couverture et exploration . .	51	
<b>5</b>	<b>Localisation et cartographie</b>	<b>41</b>	<b>6</b>	<b>Planification et navigation</b>	<b>53</b>
5.1	Introduction . . . . .	41	6.1	Introduction . . . . .	53
5.2	Localisation et cartographie . . . .	42	6.2	Les catégories de planification des trajectoires . . . . .	54
5.3	Les Catégories de localisation . .	42	6.3	Représentations spatiales couramment utilisées dans la planification des trajectoires . . . . .	54
5.4	La localisation en grille . . . . .	43	6.3.1	Planification qualitative (de l'itinéraire) du parcours . . . . .	54
5.4.1	Exemple illustratif . . . . .	43	6.3.2	Planification du cheminement métrique (tracé) . . . . .	55
5.5	Localisation métrique quantitative	44	6.4	Les approches utilisées pour résoudre la planification des parcours . . . . .	55
5.6	Localisation par filtre de Kalman	44			
5.7	Localisation topologique . . . . .	45			
5.8	Localisation de Markov sur une carte topologique . . . . .	46			

6.4.1 Les approches classiques . . . .	56
6.4.2 Les Approches de recherche de graphiques . . . . .	60
6.4.3 Les Approches heuristiques . .	60
<b>7 Évitement des obstacles</b>	<b>62</b>
7.1 Introduction . . . . .	62
7.2 Les méthodes d'évitement des obstacles . . . . .	63
7.2.1 L'algorithme de bug (Bug Algorithm) . . . . .	63
7.2.2 Histogramme du champ vectoriel VFH (Vector Field Histogram) . . . . .	64
7.2.3 La technique du ruban à bulles (The Bubble Band Technique) . . . . .	65
7.2.4 Techniques de vitesse de courbure (Curvature Velocity Techniques) . . . . .	65
7.2.5 Approches de la fenêtre dynamique (Dynamic Window Approaches) . . . . .	66
7.2.6 Autres approches . . . . .	68

**partie III**

**Étude Expérimentale**

<b>8 Cinématique</b>	<b>71</b>
8.1 Le Modèle de simulation et de cinématique différentielle . . . . .	71
8.2 le Modèle de Simulation Monocycle 3D . . . . .	72
<b>9 Capteur et Perception</b>	<b>76</b>
9.1 Le Modèle de Simulation de Fusion des capteurs . . . . .	76
<b>10 Contrôle de Robot Mobile</b>	<b>79</b>
10.1 Contrôle de position avec orientation différentielle du robot .	79
10.2 Commande différentielle de suivi des robots mobiles . . . . .	83
10.3 Robot mobile à roues . . . . .	86
<b>11 Localisation et Cartographie</b>	<b>89</b>
11.1 Filtre Kalman étendu . . . . .	89
<b>12 l'évitement des obstacles</b>	<b>94</b>
12.1 L'algorithme de Bug . . . . .	94

<b>13 planification du parcours</b>	<b>96</b>	<b>Conclusions</b>	<b>130</b>
13.1 la décomposition des cellules ..	96	<b>Bibliographie</b>	<b>131</b>
13.2 le champ potentiel .....	97		
13.3 la planification du parcours en utilisant la logique floue .....	101		
13.4 la planification du parcours en utilisant l'algorithme de Dijkstra .	103		
13.5 la planification du parcours en utilisant l'algorithme de A* .....	106		
<b>partie IV</b>			
<b>Étude Pratique</b>			
<b>14 La Réalisation</b>	<b>112</b>		
14.1 Le Matériel .....	112		
14.2 Branchements des différentes pièces du robot .....	113		
14.3 Installation Matérielle .....	114		
14.4 Schéma de fonctionnement ...	118		
14.5 Résultats et Interprétations ..	119		
<b>15 La Simulation</b>	<b>124</b>		
15.1 le code Arduino .....	124		

## Table des figures

1.1 robot manipulateur . . . . .	4	2.4 bras robotique . . . . .	16
1.2 robot mobile . . . . .	5	2.5 robot cylindrique . . . . .	16
1.3 Robot modulaire . . . . .	5	2.6 robot sphérique . . . . .	17
1.4 les travaux dangereuse des robots	6	2.7 robot a plusieurs roues . . . . .	17
1.5 La saleté . . . . .	7	2.8 l'intelligence artificielle . . . . .	18
1.6 Les travaux ternes . . . . .	7	2.9 Telegramme bot . . . . .	18
1.7 Le difficile . . . . .	8	2.10 les robots volants . . . . .	19
1.8 Automatisez les opérations . . . . .	9	2.11 robots de natation . . . . .	19
1.9 la robotique d'entrepôt réduit les blessures . . . . .	9	2.12 Robot elastique souples . . . . .	20
1.10 Vieillessement de la population	10	2.13 Robot modulaires . . . . .	20
1.11 les robots autonomes collaboratifs . . . . .	11	2.14 Les robot d'essaims . . . . .	21
1.12 Les composants d'un robot . . . . .	13	2.15 Les micro-robot . . . . .	21
2.1 robot industriel . . . . .	15	2.16 Les nano-robot . . . . .	22
2.2 robot medicale . . . . .	15	2.17 Les Caractéristiques du robot mobile . . . . .	22
2.3 robot militaire . . . . .	16	2.18 Les quatre types de roues . . . . .	24
		3.1 Capteurs et perception . . . . .	29
		3.2 schéma generale de la perception	29



3.3 système de détection . . . . .	30	5.5 Localisation métrique quantitative	44
3.4 Capteurs infrarouges . . . . .	31	5.6 Localisation par filtre de Kalman	45
3.5 Capteur infrarouge monté sur une plate-forme robotique mobile . . . . .	32	5.7 l'estimation par filtre de Kalman	45
3.6 Trois types de fusion comportementale des capteurs . . . . .	32	5.8 Localisation topologique . . . . .	46
4.1 Schéma de contrôle de référence	34	5.9 Localisation de Markov . . . . .	46
4.2 l'IA classique . . . . .	35	5.10 les enjeux de la localisation . . .	47
4.3 l'IA moderne . . . . .	35	5.11 shéma sur La cartographie . . . . .	48
4.4 Le controle de retour d'information . . . . .	36	5.12 Construction du graphique d'exploration . . . . .	49
4.5 le signal d'erreur . . . . .	37	5.13 Représentation continue . . . . .	49
4.6 les 3 types de contrôleurs . . . . .	37	5.14 Grille d'occupation . . . . .	50
4.7 Les caractéristiques du système .	39	5.15 Construction autonome de cartes ou SLAM . . . . .	51
4.8 schéma d'un mur suivant les coins	40	5.16 méthode basée sur les frontières	51
5.1 Où suis-je ? . . . . .	41	5.17 méthode basée sur le diagramme de Voronoï généralisé . . . . .	52
5.2 Schéma général pour la localisation . . . . .	42	6.1 Les différents aspects de la planification . . . . .	53
5.3 localisation en grille . . . . .	43	6.2 Les catégories de planification . .	54
5.4 Exemple illustratif . . . . .	43	6.3 Planification qualitative . . . . .	55

6.4 Planification métrique . . . . .	55	8.1 Resultat de simulation. . . . .	72
6.5 Graphique de visibilité . . . . .	56	8.2 Resultat de simulation. . . . .	74
6.6 Diagramme de Voronoï . . . . .	57	8.3 Contrôle des actions. . . . .	75
6.7 Décomposition cellulaire exacte .	57	8.4 Contrôle des erreurs. . . . .	75
6.8 Décomposition cellulaire approximative . . . . .	58	9.1 Résultat de simulation. . . . .	78
6.9 La méthode du champ potentiel	59	10.1 Résultat de simulacion . . . . .	81
6.10 L'algorithme ACO . . . . .	61	10.2 les erreurs . . . . .	82
7.1 Algorithme de Bug 1 . . . . .	63	10.3 Les actions de contrôle . . . . .	82
7.2 Algorithme de Bug 2 . . . . .	64	10.4 Résultat de simulation. . . . .	85
7.3 Histogramme du champ vectoriel	64	10.5 Les erreurs . . . . .	85
7.4 Exemple . . . . .	65	10.6 Les actions de contrôle . . . . .	86
7.5 La technique du ruban à bulles .	65	10.7 Résultat de simulation. . . . .	88
7.6 Techniques de vitesse de courbure	66	11.1 Résultat de simulation. . . . .	93
7.7 L'approche de la fenêtre dynamique . . . . .	67	12.1 Résultat de simulation. . . . .	95
7.8 Un exemple de la transformation de la distance . . . . .	67	13.1 Le Planificateur GUI . . . . .	97
7.9 L'approche Schlegel . . . . .	68	13.2 Résultat de simulation. . . . .	100

13.3	Résultat de simulation.....	103
13.4	Résultat de simulation.....	106
13.5	Résultat de simulation.....	109
14.1	Le Matériel utilisé .....	112

## Liste des tableaux

2.1	Configuarion des roues .....	25
-----	------------------------------	----

بِسْمِ اللَّهِ الرَّحْمَنِ الرَّحِيمِ



## Introduction

Ce projet a permis de développer un robot d'évitement d'obstacles qui peut se déplacer sans aucune collision en détectant les obstacles sur son parcours à l'aide d'un capteur de distance à ultrasons. Les robots guidés par cette technologie peut être utilisé à des fins diverses, par exemple pour l'étude des paysages, les véhicules, nettoyage autonome, tondeuse à gazon automatisée et robot superviseur dans les industries. Le robot développé dans le cadre de ce projet devrait permettre d'atteindre les objectifs suivants :

- Le robot aurait la capacité de détecter des obstacles sur son chemin en fonction d'une distance seuil prédéterminée.
- Après avoir détecté les obstacles, le robot changerait de trajectoire en prenant une décision autonome. - Il ne nécessiterait aucun contrôle externe pendant son fonctionnement.
- Il peut mesurer la distance entre lui et les objets environnants en temps réel.
- Il serait capable de fonctionner efficacement dans un environnement inconnu.





## **Première partie I**

### **Généralité**

# Chapitre 1

## Fondamentaux de la robotique

### 1.1 La Robotique

C'est une science qui traite des questions liées à la conception, à la fabrication et à l'utilisation des robots. En robotique, nous utilisons les bases de la physique, des mathématiques, du génie mécanique, du génie électronique, du génie électrique, de l'informatique et d'autres.[1]

### 1.2 Les types de la robotique

Les robots peuvent être regroupés en général sous le titre :

1. **Les robots manipulateurs** : Les robots ont une base fixe pour effectuer une tâche spécifique ou répétitive. Par exemple : les robots industriels et les robots sanitaires.[2]



Figure 1.1: robot manipulateur ; <https://rb.gy/t1cf50>



2. **Les robots mobiles** :Ce sont des robots capables de se déplacer dans leur environnement, les robots mobiles sur roues constituent la majorité des robots mobiles car ils sont plus faciles à construire que les autres types. Par exemple : les robots-explorateurs, les robots de service, les robots ludiques, les véhicules autonomes.[2]



Figure 1.2: robot mobile; <https://rb.gy/lrkdzu>

3. **Les robots auto-reconfigurables** :des robots qui peuvent effectuer la tâche en question.[3]



Figure 1.3: Robot modulaire à changement de forme(auto reconfigurable) ; <https://rb.gy/scv8d4>

## 1.3 Base de connaissances pour la robotique

Base de connaissances typique pour la conception et le fonctionnement des systèmes robotiques :

- Modélisation et analyse des systèmes dynamiques

- Contrôle du retour d'information
- Capteurs et conditionnement du signal
- Les actionneurs (muscles) et l'électronique de puissance
- Matériel/interface informatique
- Programmation informatique [4]

## ■ 1.4 Le Robot

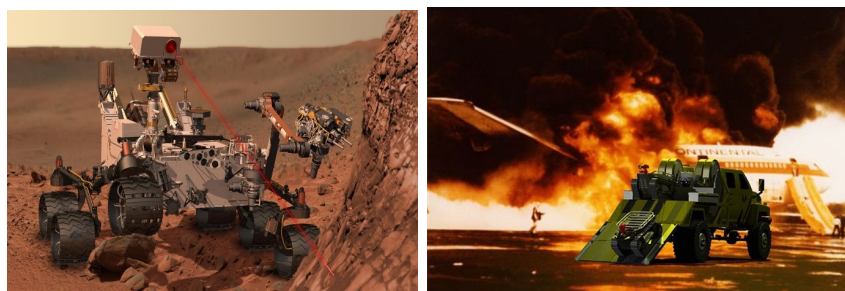
Le terme robot vient du mot tchèque : robota qui signifie travailleur forcé ou esclave. en 1921, Karel Čapek, un dramaturge tchèque, a utilisé le terme robot pour la première fois dans son drame intitulé « Rossum's Universal Robots (RUR) »[1]

## ■ 1.5 Utilisations des robots

### ■ 1.5.1 Application dans les Environnements '4D'

#### ■ Dangereux

Nous utilisons déjà des robots pour les situations militaires dangereuses, l'exploration de l'espace et les enquêtes sur les bombes et les explosions, et les entreprises commencent à développer des robots pour la sécurité et le travail de police ; un robot-flic fait déjà partie des forces de police de Dubaï.[5]



**Figure 1.4:** les travaux dangereuse des robots ; <https://rb.gy/nbjriu> ; <https://rb.gy/fzmrai>

## ■ Sale

Il y a des tâches sales, dont la plupart ne sont pas vraiment connues de l'homme moyen, qui doivent être accomplies pour que notre monde continue de fonctionner. Les robots sont la solution idéale pour remplacer l'homme dans des tâches aussi diverses que la reconnaissance des égouts, la traite des vaches, les autopsies et l'exploration des mines. Le géant minier Rio Tinto a investi dans des robots-camions.

un programme qui est l'un des plus grands programmes de robots non militaires au monde.[5]



**Figure 1.5:** La saleté; <https://rb.gy/pjaqyt>

## ■ Terne

Il y a beaucoup de tâches répétitives et fastidieuses pour lesquelles les robots sont particulièrement qualifiés. Lorsqu'ils s'en chargent, cela libère la main-d'œuvre humaine qui peut ainsi se consacrer à des activités plus créatives et plus intéressantes. Des centres d'exécution Amazon aux hôtels et même aux hôpitaux, les robots suppriment l'ennui sur de nombreux lieux de travail et permettent souvent de réaliser des économies.[5]



**Figure 1.6:** Les traveaux ternes; <https://rb.gy/pjaqyt>

## ■ Difficile

Alors que la robotique développe son intelligence, sa dextérité et son autonomie, elle ouvre un nouveau chapitre dans les emplois où les robots sont mieux adaptés : des tâches "difficiles", calculées, qui requièrent une faible marge d'erreur et un niveau de détail élevé. Certaines des procédures les plus courantes effectuées par les fabricants de microprocesseurs, les chirurgiens médicaux et les techniciens de laboratoire sont déjà partiellement ou totalement remplacées par la robotique de précision. [6, 5]



Figure 1.7: Le difficile - Un nouveau chapitre ; <https://rb.gy/pjaqyt>

## ■ 1.5.2 Application pour les Tâches '4A'

### ■ Automatisation

À mesure que les machines deviennent plus intelligentes et/ou plus performantes, elles peuvent prendre en charge davantage de tâches qui étaient auparavant effectuées par les humains. Des distributeurs automatiques de billets aux kiosques d'auto-assistance dans les fast-foods, les dernières décennies ont vu l'apparition de nombreuses machines capables d'accomplir des tâches précieuses. Si les guichets automatiques et les kiosques d'entraide ont changé le travail de certains caissiers de banque et de restauration rapide, ils ne les ont pas complètement remplacés, mais les ont simplement poussés à remplir des rôles qui exigent des capacités plus nettement humaines. [7]



**Figure 1.8:** Automatisez les opérations de pick-and-place précises ; <https://rb.gy/d0a47m>

### ■ 1.5.3 Augmentation

Les outils d'Automatisation des Processus par la Robotique (APR) peuvent aider les entreprises à améliorer l'efficacité et le rendement de leurs opérations plus rapidement et à moindre coût que les autres approches d'automatisation. Les avantages des solutions reposant sur l'APR vont au-delà de la réduction des coûts et couvrent les éléments suivants :

- Diminution des durées de cycle et amélioration des cadences de production.
- Flexibilité et possibilités d'extension.
- Amélioration de la précision.
- Amélioration du moral des employés – cela leur permet de créer davantage de valeur ajoutée.
- Permet de consacrer du temps à l'innovation et de se concentrer sur la satisfaction du client.[8]



**Figure 1.9:** la robotique d'entrepôt réduit les blessures des travailleurs ; <https://rb.gy/zxqcgd>

### ■ Assistance

Les roboticiens mettent actuellement au point des machines qui pourraient aider les patients dans leurs tâches de soins, comme les travaux ménagers, l'alimentation et la marche. Mais

avant qu'ils n'atteignent les bénéficiaires de soins, les robots d'assistance devront d'abord être acceptés par les prestataires de soins de santé tels que les infirmières et les aides-soignants. D'après une étude du Georgia Institute of Technology, il semble qu'ils puissent être accueillis à bras ouverts en fonction des tâches à accomplir.[9]



**Figure 1.10:** Vieillesse de la population : le Japon mise sur les robots plutôt que sur l'immigration ; <https://rb.gy/b5nrr0>

## ■ Autonomie

Les robots autonomes sont principalement le moteur de l'innovation et de la valeur de la chaîne d'approvisionnement en réduisant les coûts d'exploitation directs et indirects et en augmentant le potentiel de revenus. Plus précisément, les robots autonomes peuvent aider :

- Accroître l'efficacité et la productivité.
- Réduire les taux d'erreur, de reprise et de risque
- Effectuer des tâches banales et de moindre valeur afin que les humains puissent travailler en collaboration pour se concentrer sur des efforts plus stratégiques qui ne peuvent être automatisés.
- Augmenter les recettes en améliorant le taux d'exécution des commandes, la vitesse de livraison et, en fin de compte, la satisfaction des clients. Parmi les avantages potentiels secondaires des robots autonomes, on peut citer :
  - Amélioration de la valeur des employés grâce à l'accent mis sur le travail stratégique plutôt que sur les tâches routinières.
  - S'attacher à la sécurité personnelle en réduisant au minimum le travail dans les zones dangereuses pour les employés
  - Renforcer la marque de l'entreprise en signalant les pratiques de pointe et la mise en œuvre de technologies innovantes.
  - Apprentissage exponentiel par la collecte et l'analyse des données des machines.[10]



**Figure 1.11:** les robots autonomes collaboratifs sont d'excellents collègues ; <https://rb.gy/7zuovg>

## 1.6 Caractéristiques d'un robot

Un robot doit être choisi en fonction de l'application à laquelle il est destiné. Voici quelques paramètres à prendre en compte[11] :

- La charge maximale transportable.
- L'architecture de la S.M.A., le choix est guidé par la tâche à accomplir (quelle est la rigidité de la structure?).
- Le volume de travail.
- Le positionnement absolu.
- Répétabilité
- La vitesse de déplacement.
- La masse du robot.
- Le coût du robot.
- La maintenance.

## 1.7 Classification des robots

Voici la classification des robots selon :

1. L'association japonaise des robots industriels (JIRA) :
  - Classe 1 :Appareil de manutention manuelle : un appareil à degrés de liberté multiples, actionné par un opérateur.
  - Classe 2 :Robot à séquence fixe : dispositif qui exécute les étapes successives d'une tâche selon une méthode prédéterminée et immuable, difficile à modifier

- Classe 3 : Robot à séquence variable : même chose que pour les classes 2, mais faciles à modifier.
  - Classe 4 : Robot de lecture : un opérateur humain exécute la tâche manuellement en dirigeant le robot, qui enregistre les mouvements pour une lecture ultérieure ; le robot répète les mêmes mouvements en fonction des informations enregistrées
  - Classe 5 : Robot à commande numérique : l'opérateur fournit au robot un programme de mouvement plutôt que de lui apprendre la tâche manuellement
  - Classe 6 : Robot intelligent : un robot ayant les moyens de comprendre son environnement et la capacité de mener à bien une tâche malgré les changements des conditions environnantes dans lesquelles elle doit être exécutée
2. L'Institut Américain de la robotique (RIA) : considère uniquement les classes 3 à 6 de ce qui précède comme des robots. L'Association Française de Robotique (AFR) a la classification suivante :
- Type A : dispositifs de manipulation à commande manuelle pour la télérobotique
  - Type B : dispositifs de manutention automatique à cycles prédéterminés
  - Type C : robots programmables, servo-commandés, à trajectoire continue ou point à point
  - Type D : identique à C mais avec la capacité d'acquérir des informations à partir de son environnement.[12]

## 1.8 Les composants du robot

Tous les robots ont trois types de composants [13] :

1. **Système de contrôle** : comme un organe de contrôle.
2. **Capteurs** : ils peuvent lire des informations sur l'environnement ou sur le robot lui-même.



3. **Les actionneurs** : ils ont un effet sur l'environnement ou sur le robot.

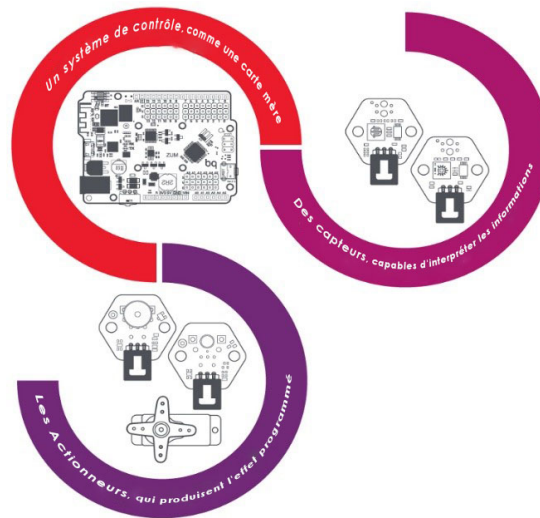


Figure 1.12: Les composants d'un robot ; [13]

## Chapitre 2

### Le robot mobile

#### 2.1 Introduction

Le monde de la robotique est l'un des domaines les plus passionnants qui a connu une innovation et une évolution constantes. Il peut s'agir d'une technologie complète intégrant la technologie mécanique, la technologie de gestion automatique, l'ingénierie, l'IA, l'électronique, l'optique, la technologie de communication, la technologie des éléments de détection, etc. Ce domaine est interdisciplinaire et fait de plus en plus partie de notre vie. C'est une orientation privilégiée de la recherche scientifique et technologique actuelle. Il ne s'agit pas d'une vision de l'avenir mais d'une réalité du présent. Les robots se développent rapidement, passant d'environnements industriels physiquement fixés à leur lieu de travail à des machines de plus en plus complexes capable d'accomplir des tâches difficiles dans notre environnement quotidien.[14]

#### 2.2 Les Types de robot

##### Robot de taches (par application)

1. *Robots industriels* :Un robot industriel est défini par l'ISO comme un manipulateur polyvalent, reprogrammable, à commande automatique et programmable sur trois axes

ou plus. Le domaine de la robotique peut être plus spécifiquement défini comme l'étude, la conception et l'utilisation de systèmes robotiques pour la production (une définition de haut niveau basée sur la définition précédente du robot). Les applications typiques des robots comprennent la soudure, la peinture, l'assemblage, le "pick and place" (comme l'emballage, la palettisation et le SMT), l'inspection et le test des produits; toutes ces opérations sont réalisées avec une grande robustesse, rapidité et précision.[15]



Figure 2.1: robot industriel; [15]

2. *Robots médicaux* :Les robots médicaux sont des robots qui permettent aux chirurgiens d'accéder plus facilement aux zones opérées en utilisant des méthodes plus précises et moins invasives. On les trouve dans la plupart des télémanipulateurs, qui utilisent les actions du chirurgien d'une part pour contrôler l'effecteur" d'autre part.[15]



Figure 2.2: robot medicale; [15]

3. *Robots militaires* :Les robots militaires sont des robots autonomes ou des dispositifs télécommandés conçus pour des applications militaires. Plusieurs armées étudient actuellement de tels systèmes. L'armée a toujours été à la pointe de la technologie, il n'est donc pas surprenant que les robots les plus avancés au monde soient construits en vue d'applications militaires. Si l'idée de machines autonomes portant des armes lourdes peut rendre les gens un peu nerveux, elles ont le potentiel de réduire considérablement les pertes de vies humaines en permettant aux soldats de localiser des endroits sûrs ou de pénétrer dans des sites ennemis. Beaucoup sont même conçus à des fins de soutien, plutôt que pour éliminer les menaces. Alors que de nombreux projets militaires dans le monde sont naturellement entourés de secret, certains émergent, notamment des projets de robotique.[15]



Figure 2.3: robot militaire; [15]

## Robot stationnaires

1. *Bras robotiques - Robots articulés* :un robot articulé est un robot à articulations rotatives (par exemple, un robot à pattes ou un robot industriel). Les robots articulés peuvent varier de simples structures à deux articulations à des systèmes à 10 articulations ou plus en interaction. Ils sont alimentés par divers moyens, dont des moteurs électriques.[15]

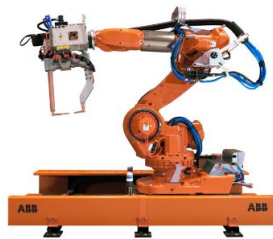


Figure 2.4: bras robotique; [15]

2. *Robots cylindriques* :Les robots cylindriques sont des robots dont les axes forment un système de coordonnées cylindriques.[15] Il est utilisé pour :
  - Opérations d'assemblage.
  - Manipulation sur les machines-outils.
  - Soudage par points.
  - Fonctionnement des machines de coulée sous pression.



Figure 2.5: robot cylindrique; [15]

3. *Robots sphériques* :Un robot sphérique est un robot doté de deux articulations rotatives et d'une articulation prismatique, c'est-à-dire de deux axes rotatifs et d'un axe linéaire. Les robots sphériques ont un bras qui forme un système de coordonnées sphériques.[15]



**Figure 2.6:** robot sphérique ; [15]

### ■ Robot à roues

1. *Les robots Multi roues* : La conception devient beaucoup plus complexe, surtout lorsqu'on utilise des roues plus puissantes, car chaque roue doit tourner à la même vitesse lorsque le robot doit avancer. Les différences de vitesse entre les roues gauche et droite des robots à direction différentielle font que le robot se déplace latéralement au lieu d'aller tout droit. La différence de vitesse entre les roues d'un même côté fait que la roue la plus lente tourne.[15]



**Figure 2.7:** robot a plusieurs roues ; [15]

### ■ Robots logiciel

1. *Intelligence artificielle* : C'est l'intelligence dont font preuve les machines. En informatique, le domaine de la recherche en IA est défini comme l'étude des "agents intelligents" : tout dispositif qui perçoit son environnement et prend des mesures qui maximisent ses chances de succès dans un objectif donné. Dans le langage courant, le terme "intelligence artificielle" s'applique lorsqu'une machine imite les fonctions "cognitives" que les êtres humains associent à d'autres esprits humains, telles que "l'apprentissage" et "la résolution de problèmes". À mesure que les machines deviennent de plus en plus puissantes, les structures mentales, dont on pensait qu'elles nécessitaient de l'intelligence, sont retirées de la définition.[15]
2. *Télégramme Bot* : Il s'agit d'un service de messagerie instantanée gratuit basé sur le Cloud.



**Figure 2.8:** l'intelligence artificielle ; [15]

Il existe des clients télégraphiques pour les systèmes mobiles (Android, iOS, Windows Phone, Ubuntu Touch) et de bureau (Windows, MacOS, Linux). Les utilisateurs peuvent envoyer des messages et échanger des photos, des vidéos, des autocollants, des fichiers audio et toutes sortes de fichiers. Le télégramme offre également la possibilité d'envoyer des messages cryptés d'un bout à l'autre. Le télégramme est soutenu par l'entrepreneur russe Pavel Durov. Son code côté client est un logiciel libre mais contient des blocs binaires, et le code source des versions récentes n'est pas toujours publié immédiatement, tandis que son code côté serveur est fermé et propriétaire.[15]



**Figure 2.9:** Telegramme bot ; [15]

## ■ Les Robots volants

Il n'est pas facile de regrouper les robots volants en sous-groupes. Comme les robots volants utilisent différents types de technologie, nous regrouperons ces robots en fonction de leur système de vol.

Pour l'instant, nous avons défini les types suivants (d'autres types seront ajoutés prochainement).

- Robot-ballon : ces types de robots volants utilisent une montgolfière pour flotter dans le ciel.
- Robot à voilure tournante : Robots volant comme un hélicoptère (Quadrocoptères).
- Robots à battements d'ailes : Ces robots volent comme un oiseau avec des ailes.
- Robots d'avion : Des robots qui volent comme un avion.[15]

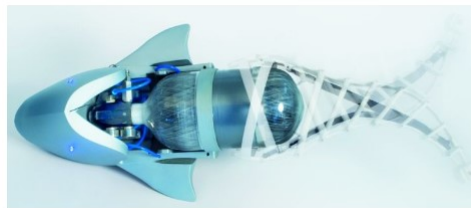


**Figure 2.10:** les robots volants ; [15]

### ■ Robots de natation

Il existe différents types de robots nageurs (ou robots poissons). Nous en avons vu quelques-uns ici :

- PacX Wave Glider.
- Poisson festo.
- Le robot nageur « Swumanoid ».[15]



**Figure 2.11:** robots de natation ; [15]

### ■ Robots élastiques souples

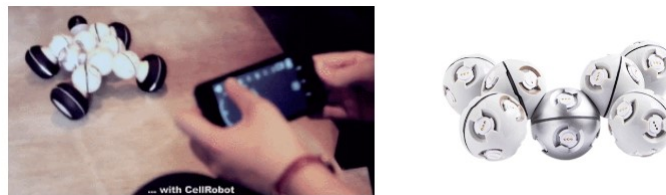
Robots élastiques flexibles : des chercheurs de Harvard ont combiné la chimie organique, la science des matériaux flexibles et la robotique pour créer un robot flexible inspiré par des animaux comme le calmar et les vers. Le robot flexible n'a pas de squelette interne dur et n'utilise pas de capteurs.[15]



**Figure 2.12:** Robot elastique souples ; [15]

### ■ Robots modulaires

Les systèmes robotiques modulaires à reconfiguration automatique ou les robots modulaires à reconfiguration automatique sont des machines cinématiques autonomes à morphologie variable. Au-delà de la conduite, de la détection et du contrôle classiques, typiques des robots à morphologie fixe, les robots autoconfigurants sont également capables de modifier délibérément leur forme en réorganisant la connectivité de leurs parties pour s'adapter à de nouvelles circonstances, accomplir de nouvelles tâches ou se remettre de dommages.[15]



**Figure 2.13:** Robot modulaires ; [15]

### ■ Les Robots essaims

La robotique d'essaim est une nouvelle approche de la coordination des systèmes multirobots constitués d'un grand nombre de robots physiques pour la plupart simples. On suppose qu'un comportement collectif souhaité résulte des interactions entre les robots et des interactions des robots avec l'environnement. Cette approche est apparue dans le domaine de l'intelligence artificielle des essaims, ainsi que dans les études biologiques des insectes, des fourmis et d'autres zones de la nature où se produit le comportement des essaims.[15]





Figure 2.14: Les robot d'essaims ; [15]

### ■ Les micro-robots

La microbotique (ou microrobotique) est le domaine de la robotique miniature, en particulier des robots mobiles dont les dimensions caractéristiques sont inférieures à 1 mm. Le terme peut également être utilisé pour les robots capables de manipuler des composants de dimensions micrométriques. La microbotique est la branche de la robotique qui s'occupe de l'étude et de l'application de robots miniatures, tels que les robots mobiles à l'échelle micrométrique. [15]

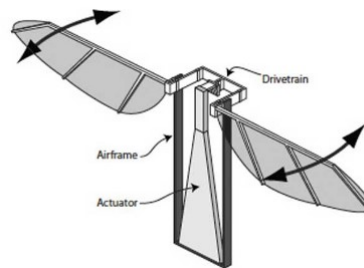


Figure 2.15: Les micro-robot ; [15]

### ■ Les nano Robots

Nano robot : la nano-robotique est le secteur technologique émergent qui crée des machines ou des robots avec des composants à l'échelle nanométrique (0,000000001 mètre -  $10^{-9}$  mètres). En particulier, la nano-robotique désigne la discipline de l'ingénierie nanotechnologique qui consiste à concevoir et à construire des nanorobots, avec des dispositifs d'une taille comprise entre 0,1 et 10 micromètres, qui sont construits à l'échelle nanométrique ou avec des composants moléculaires. Les noms : - Nanobot.

- Nanoids.
- Nanites.
- Nanomachines ou nanomachines.

Ces dispositifs ont également été utilisés pour décrire des appareils qui font actuellement l'objet de recherches et de développement.[15]



Figure 2.16: Les nano-robot ; [15]

## 2.3 Caractéristiques du robot mobile

Un robot peut être décrit comme un système électromécanique ou une machine qui peut être commandée au moyen d'un programme informatique ou d'un équipement électronique (microprocesseur, microcontrôleur...); il existe de nombreuses définitions du robot, mais il présente certaines caractéristiques importantes telles que :

1. **Détection** : à l'aide de divers capteurs tels que les capteurs de lumière, les capteurs tactiles, le sonar, il doit détecter le milieu environnant.
2. **Locomotion** : Il est nécessaire de se déplacer dans l'environnement de travail ou dans le milieu de travail à l'aide de roues ou de jambes.
3. **Énergie** : pour réaliser la tâche souhaitée, il est nécessaire de consommer de l'énergie. Il peut donc être alimenté par des piles, de l'électricité ou de l'énergie solaire, selon le cas.
4. **L'intelligence** : comme nous, elle permet aux robots de recueillir des informations sur leur environnement et leur permet de commencer à prendre des décisions pour eux-mêmes.[14]

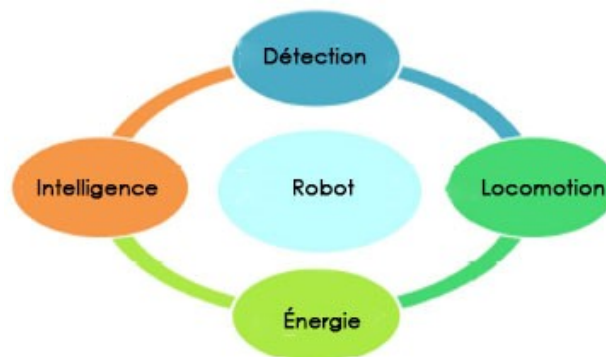


Figure 2.17: Les Caractéristiques du robot mobile ; [14]

## ■ 2.4 Locomotion

### ■ 2.4.1 Introduction

- Un robot mobile a besoin de mécanismes de locomotion qui lui permettent de se déplacer sans limites dans son environnement. Mais il existe une grande variété de moyens de déplacement possibles, et le choix de l'approche de la locomotion d'un robot est donc un aspect important de la conception d'un robot mobile. Dans le laboratoire, il y a des robots de recherche qui peuvent marcher, sauter, courir, glisser, patiner, nager, voler et, bien sûr, rouler.[16].

### ■ 2.4.2 Questions clés pour la locomotion

Par conséquent, la locomotion et la manutention partagent les mêmes problèmes fondamentaux de stabilité, de caractéristiques de contact et de type d'environnement [16] :

#### 1. stabilité

- Le nombre et la géométrie des points de contact
- Centre de gravité
- Stabilité statique/dynamique
- la pente du terrain

#### 2. Les caractéristiques du contact

- la taille et la forme du point de contact/trajectoire
- angle de contact
- friction

#### 3. Type d'établissement

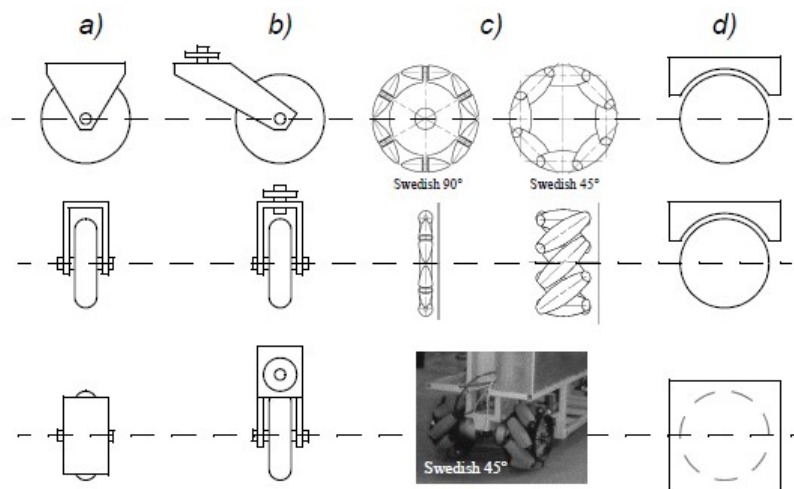
- Structure
- Moyen, (par exemple l'eau, l'air, un sol mou ou dur)

### 2.4.3 Robots mobiles à roues

La roue a été de loin le mécanisme de locomotion le plus populaire dans la robotique mobile et les véhicules construits par l'homme en général. Il peut atteindre d'excellentes performances, et le fait avec une mise en œuvre mécanique relativement simple. De plus, l'équilibre n'est généralement pas un problème de recherche dans la conception des robots à roues, car les robots à roues sont presque toujours conçus de manière à ce que toutes les roues soient toujours en contact avec le sol. Par conséquent, trois roues suffisent pour assurer un équilibre stable, même si, comme nous le verrons plus tard, les robots à deux roues peuvent également être stables. Lorsque vous utilisez plus de trois roues, vous avez besoin d'un système de suspension qui permet à toutes les roues de rester en contact avec le sol lorsque le robot rencontre un terrain inégal.[16]

#### La Conception de la roue

Il existe quatre principaux types de roues, comme le montre la figure 2.18 . Elles diffèrent grandement par leur cinématique, et le choix du type de roue a donc un effet important sur la cinématique globale.[16]



**Figure 2.18:** Les quatre types de roues de base. (a) Roue standard.(b) roue à pivot.(c) Roue suédoise. (d) Bille ou roue sphérique ; [16]

Nbre de roues	Description	Exemples typiques
2	Une roue directrice à l'avant, une roue motrice à l'arrière	Bicycle, motorcycle
3	Deux roues libres à l'arrière, une roue motrice directrice à l'avant	Neptune(Université , Carnegie Mellon) Héro-1
4	Deux roues motrices et directrices à l'avant, deux libres les roues arrière	Voiture à traction avant
6	Deux roues motrices (différentiel) au centre une roue omnidirectionnelle à chaque coté	Terregator (Université Carnegie Mellon)

**Table 2.1:** Configuration des roues

### ■ Les enjeux de la locomotion sur roues

1. Stabilité
2. Manœuvrabilité
3. Contrôlabilité[16]

### ■ Configuration des roues

Voir Table 2.1[16]

### ■ 2.4.4 Autres concepts

La locomotion par roues et pattes est la plus utilisée et la plus conçue pour les robots mobiles. Mais il existe d'autres concepts, dont deux sont la locomotion sur rails et la combinaison de la locomotion par roues et par pattes.[16]

### ■ Locomotion à glissement/dérapiage sur chenilles

La locomotion sur roues présente certains inconvénients, en particulier dans le cas de véhicules omnidirectionnels utilisant des roues sphériques ou suédoises, sur des terrains

accidentés et meubles, en raison d'une friction de roulement accrue due au manque d'efficacité énergétique ; en outre, les véhicules utilisant des roues sont à peine capables de combler des vides dont le diamètre est inférieur à celui des roues du véhicule. Un exemple de robot utilisant ce concept est le robot Nanokhod, qui se rendra probablement sur Mars, dans des véhicules à locomotives glissantes/dérapantes qui utilisent les rails comme réservoir. Un véhicule à chenilles est conduit en déplaçant les chenilles à différentes vitesses dans le même sens ou dans des directions opposées. L'utilisation de rails offre une surface de contact au sol beaucoup plus grande, de sorte que la traction du véhicule sur une surface libre est bien meilleure que la traction des roues. [16]

### ■ Roues de marche

Les robots à pattes sont capables de monter des escaliers et de se déplacer sur des terrains accidentés, mais ils présentent quelques inefficacités sur les surfaces planes et sont difficiles à contrôler. Les robots sur roues sont très efficaces sur les surfaces dures, même à grande vitesse, mais la plupart d'entre eux ne sont pas capables de monter les escaliers. Une idée est une solution hybride qui combine les avantages des jambes et de la locomotion sur roues. L'une des caractéristiques les plus intéressantes de la crevette est qu'elle est capable de surmonter passivement les obstacles, c'est-à-dire que le robot n'a pas de capteurs pour détecter un obstacle, la structure mécanique du robot est capable d'adapter le profil du terrain. [16]



## Deuxième partie II

### Étude Théorique



# Chapitre 3

## Capteurs et perception

### 3.1 Introduction

L'une des tâches les plus importantes de tout système autonome est d'acquérir des connaissances sur son environnement. Cela se fait en prenant des mesures avec différents capteurs et en extrayant ensuite des informations significatives de ces mesures. L'objectif de ce chapitre



Figure 3.1: Capteurs et perception ; [17]

est de décrire le rôle des capteurs et de la perception. La perception fournit au robot des connaissances qui lui permettent de comprendre ce qui se passe dans son environnement. Elle peut donc élaborer un plan et agir sur le monde [17].

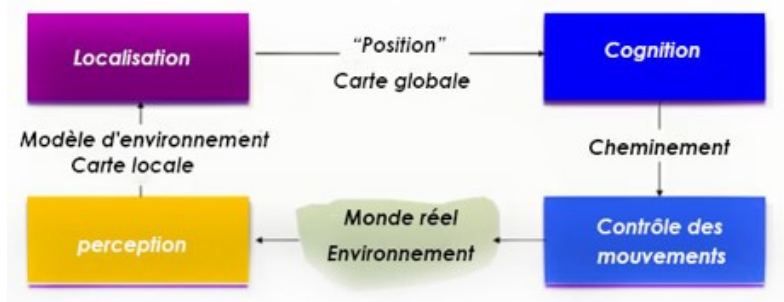


Figure 3.2: schéma generale de la perception ; [17]

## 3.2 Système de détection

On parle de perception lorsque le robot utilise les informations des capteurs pour extraire des informations utiles sur les robots internes ou externes. Un exemple d'état interne serait l'alimentation par batterie, les effecteurs ou la conscience si tout fonctionne dans les yeux du robot.

Un exemple d'état extérieur serait le monde des robots. Où est le robot ? Quels objets sont arrondis, etc. Un espace d'état est formé par tous les états possibles d'un système : la perception du monde par le robot et ce qu'il trouve à partir d'un ensemble de capteurs externes, et l'état interne est la perception que le robot a de lui-même, qui est obtenue à partir de la représentation proprioceptive des capteurs, où un modèle interne est créé lorsqu'un robot utilise son état interne pour se rappeler des informations sur le monde. L'espace sensoriel ou espace perceptuel du robot est l'espace de toutes les lectures sensorielles possibles basées sur tous les capteurs du robot [17].

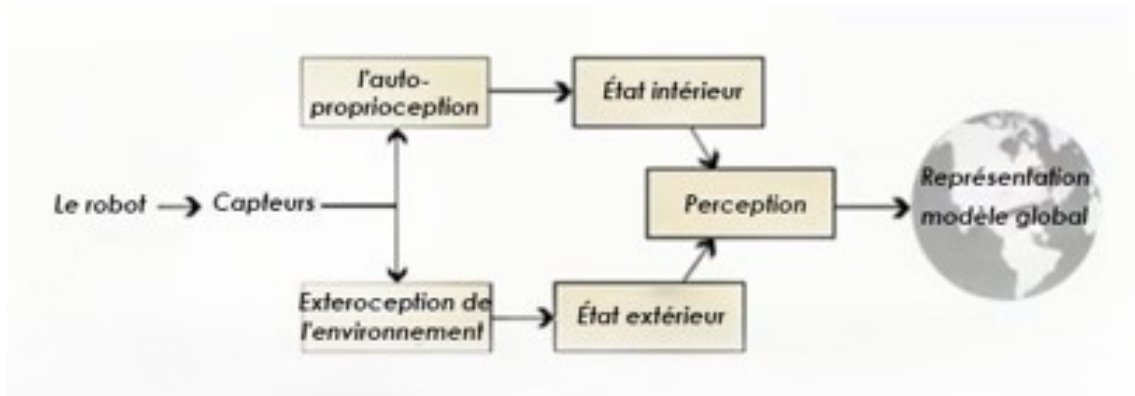


Figure 3.3: système de détection source ; [17]

## 3.3 Classification des capteurs

Nous classons les capteurs selon deux axes fonctionnels importants : proprioceptif/extéroceptif et passif/actif [18].

1. **Les capteurs proprioceptifs** : mesurer les valeurs au sein du système (robot), par exemple la vitesse du moteur, la charge des roues, la direction du robot, l'état de la batterie.
2. **Les capteurs extéroceptifs** : acquérir des informations sur l'environnement du robot, par exemple les distances par rapport aux objets, l'intensité de la lumière ambiante, les

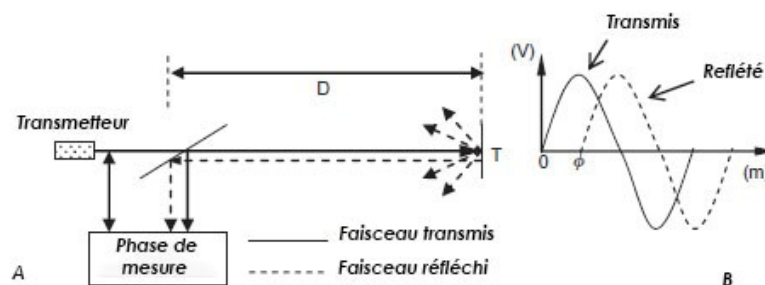
caractéristiques uniques.

3. **Les Capteurs passifs** : Mesure de l'énergie environnementale ; fortement influencée par l'environnement.
4. **Les Capteurs actifs** : émettent leur propre énergie et mesurent la réaction ; meilleures performances, mais une certaine influence sur l'environnement.

### 3.4 Capteurs infrarouges

La lumière proche infrarouge peut être produite par une LED ou un laser. La longueur d'onde typique de la lumière infrarouge émise est comprise entre 820 et 880 nm. En conséquence, la plupart des surfaces ont une rugosité supérieure à la longueur d'onde de la lumière incidente et il se produit une réflexion diffuse, c'est-à-dire que la lumière est réfléchie de manière presque isotrope. La composante de la lumière infrarouge tombant dans l'ouverture du capteur revient presque parallèlement au faisceau émis pour les objets éloignés (figure 3.4A). Le capteur envoie une lumière modulée en amplitude à 100% à une fréquence donnée  $f$  et mesure le déphasage entre les signaux transmis et réfléchis. Si  $\phi$  est le déphasage mesuré électroniquement et  $\lambda$  est la longueur d'onde, alors la distance  $2D$  est  $(\phi/2\pi)\lambda$ , c'est-à-dire (figure 3.4B)[19].

$$D = \left(\frac{\lambda}{4\pi}\right)\phi. \quad (3.1)$$



**Figure 3.4:** (A) La mesure de la distance par infrarouge utilise la méthode du déphasage. (B) Déphasage entre les signaux émis et reçus ; [19]

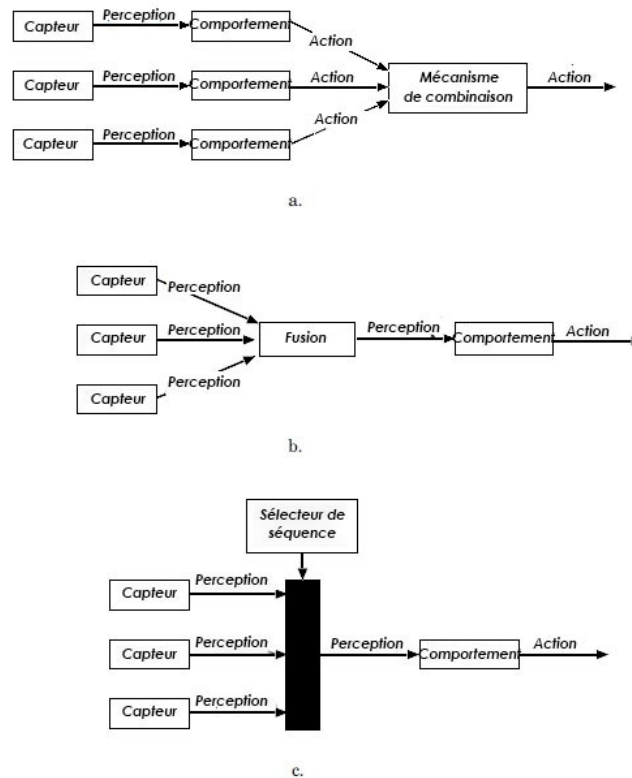
- Un véritable capteur infrarouge devant un obstacle mural est illustré à la figure 3.5



**Figure 3.5:** Capteur infrarouge monté sur une plate-forme robotique mobile (les capteurs infrarouges peuvent être utilisés pour éviter les obstacles, suivre les lignes et établir des cartes);[19]

### 3.5 La fusion des capteurs

La fusion de capteurs est un terme général utilisé pour tout processus qui combine les informations de plusieurs capteurs en un seul. La motivation de la fusion des capteurs provient de trois combinaisons de base de capteurs : redondants (ou concurrents), complémentaires et coordonnés. Bien que de nombreux chercheurs considèrent la fusion des capteurs comme un moyen de construire un modèle global dans un système hiérarchique ou délibératif, la fusion des capteurs peut être incorporée dans le comportement par la fusion des capteurs, la fusion des capteurs orientée vers l'action et le mode de fonctionnement des capteurs.[20]



**Figure 3.6:** Trois types de fusion comportementale des capteurs : a.) fusion des capteurs, b.) fusion des capteurs orientée vers l'action, et c.) mode des capteurs; [20]

## ■ 3.6 Les défis liés aux capteurs

Voici quelques-uns des défis à relever [17] :

1. **le champ de vision** : la disposition des images permet de couvrir la bonne zone.
2. **précision et répétabilité** : comment ça marche ? .
3. **Réponse** : dans la zone cible, dans quelle mesure cela fonctionne-t-il bien pour cette zone ?.
4. **Consommation électrique** : les piles se déchargent-elles trop vite ?.
5. **fiabilité** : peut-être un peu floue ou vulnérable.
6. **dimension** : il s'agit toujours de s'adapter au robot.
7. **calcul** : la complexité permet de traiter l'information assez rapidement.
8. **la fidélité interprétative** : croyez-vous en ce que vous dites ?.

# Chapitre 4

## Contrôle de robot mobile

### 4.1 Introduction

Voici un autre excellent graphique que j'ai utilisé pour représenter le panorama du contrôle des robots mobiles Certains des défis du contrôle des robots mobiles sont que le monde change de manière dynamique Il n'existe pas de modèle compact et les sources d'erreur sont multiples car nous avons déjà discuté du fait que la plupart des fonctions sont locales et n'impliquent pas de planification de la localisation ou de la cognition et que la trajectoire globale est plus lente et ne devrait être effectuée que lorsqu'un contrôle local est nécessaire et un contrôle plus fréquent dans le monde réel, comme l'itinérance aléatoire ou le contournement d'obstacles, ou pendant la surveillance et la surveillance globale est moins fréquente lorsque cela est nécessaire, comme dans le cas de la localisation, de la planification des trajectoires, de la cartographie, etc[17].

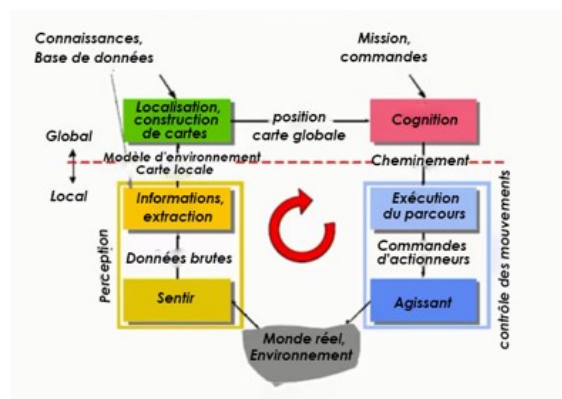


Figure 4.1: Schéma de contrôle de référence pour les systèmes de robots mobiles ; [17]

## 4.2 Approches de contrôle

Il existe des différences essentielles dans les architectures de contrôle et sont décrites sur la base de l'intelligence artificielle classique ou moderne[17].

1. L'IA classique : est basée sur un modèle de fonctionnement complet basé sur des horizons avec décomposition est très similaire au contrôle délibératif ou hiérarchique, en observant le graphique qui indique que pour le contrôle de l'IA classique.

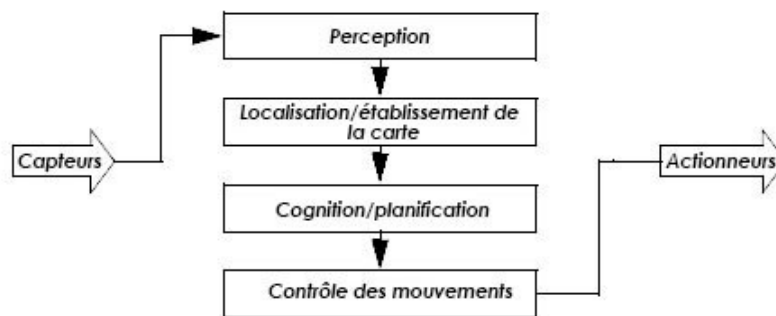


Figure 4.2: l'IA classique source ; [17]

2. L'IA moderne :est similaire à la façon dont les systèmes de contrôle linéaire sont séparés en contrôle classique et moderne : le contrôle classique est dans le domaine des fréquences et a des fonctions de transfert avec une entrée et une sortie, tandis que le contrôle moderne est dans le domaine de l'espace-temps ou de l'état et il y a plusieurs entrées et plusieurs sorties ; rappelez-vous qu'il n'y a pas une seule approche correcte ; cela dépend juste de ce qui est idéal pour votre système, vos objectifs ou la tâche du robot.[17]

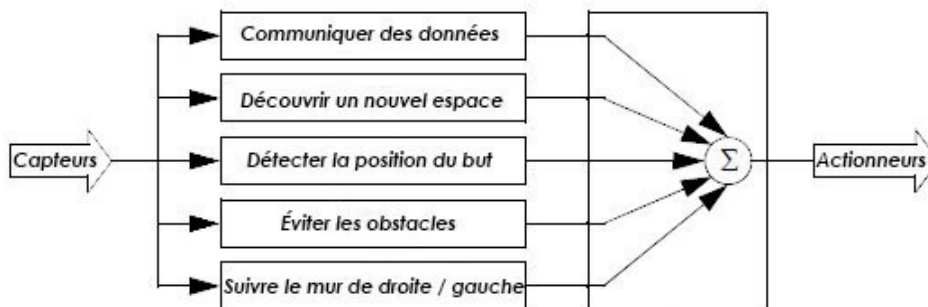
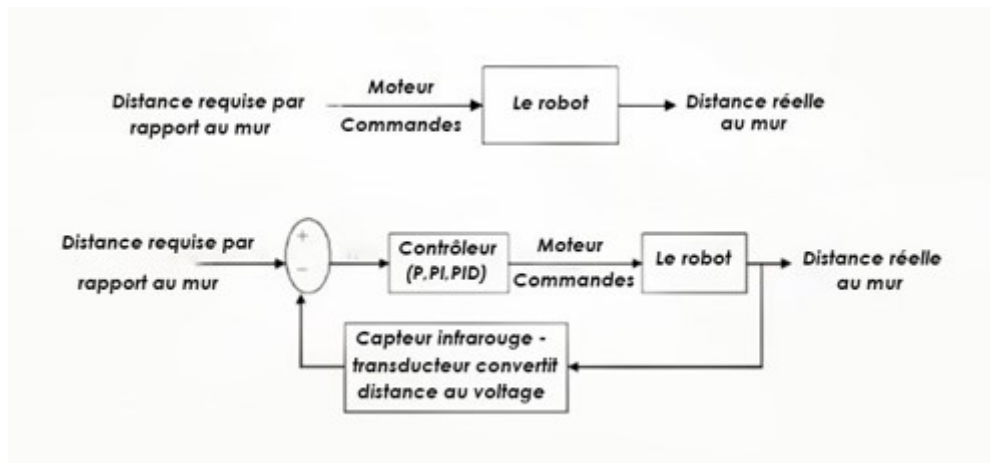


Figure 4.3: l'IA moderne ; [17]

## 4.3 Contrôle des retours d'information

### 4.3.1 Boucle ouverte /Boucle fermée

Nous avons ici deux exemples de robot suivant un mur [17] :



**Figure 4.4:** Le contrôle de retour d'information : en haut : Boucle ouverte et en bas : Boucle fermée; [17]

Dans le premier modèle, les commandes sont données au moteur et le robot se déplace mais sans correction d'erreur; dans le second, un capteur infrarouge, un sonar, un laser ou un autre est utilisé pour obtenir la distance voulue. Dans le second modèle, le contrôleur ajuste la puissance du moteur ou le rapport de rotation pour corriger la distance afin que le robot suive le mur plus précisément plutôt que par à-coups.

### 4.3.2 Le signal d'erreur

Dans le contrôle par rétroaction, un système atteint et maintient l'état souhaité en comparant continuellement son état actuel et l'état souhaité, puis en ajustant l'état actuel pour minimiser la différence, de sorte que l'erreur est la différence entre l'état actuel et l'état souhaité et peut avoir une erreur nulle ou non nulle, et indique s'il y a ou non une erreur et c'est la moindre information que vous pouvez avoir mais la plus utile est la direction de l'erreur; la direction à prendre pour minimiser l'erreur; vous pouvez également avoir la magnitude de l'erreur qui donne la distance de l'état cible où vous pouvez avoir le dépassement, c'est-à-dire lorsque le robot passe son point ou sa position cible ou change de direction avant de stabiliser le



contrôle ; c'est beaucoup plus facile si vous connaissez à la fois la magnitude et la direction de l'erreur [17].

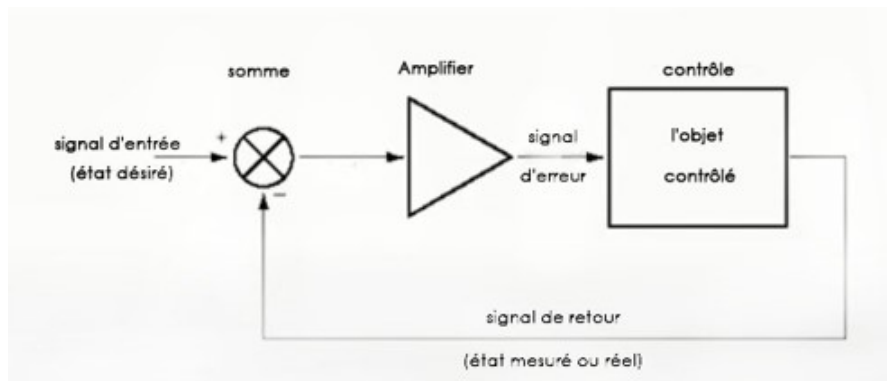


Figure 4.5: schéma illustratif sur le signal d'erreur ; [17]

### 4.3.3 Les contrôleurs de retour d'information

Il existe différents types de contrôleurs de rétroaction ; dans cet exemple, le robot est dans ou hors spécifications et tourne ou se déplace en ligne droite. Ce serait un mouvement très brusque, puisque le robot essaie de suivre un mur. Vous pourriez aussi avoir un contrôle proportionnel, ce qui est un peu mieux car les vitesses sont ajustées en fonction de la taille de l'air plutôt que d'un angle de rotation ou d'une puissance fixe. Les contrôleurs dérivés affectent la réponse transitoire et sont parfois appelés contrôleurs de type PID ou avant même que les contrôleurs dérivés proportionnels intégraux ne redémarrent l'erreur afin que le robot convertisse à la distance souhaitée avec une erreur minimale ; les contrôleurs intégraux affectent la réponse à l'état stationnaire du système et sont parfois aussi appelés contrôleurs de redémarrage[17].

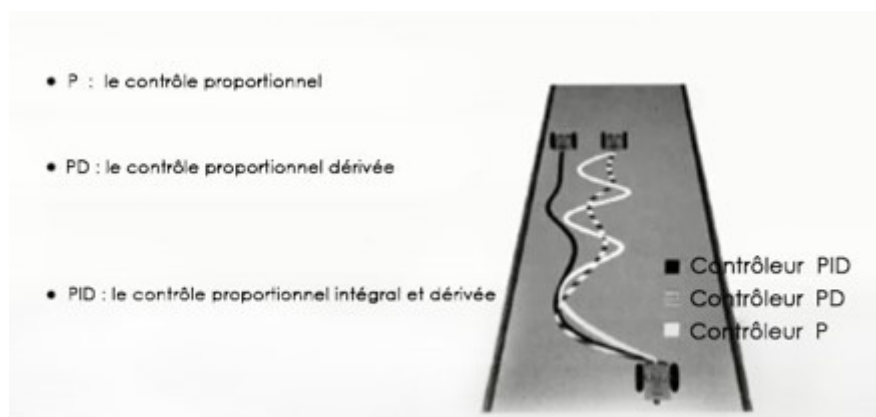


Figure 4.6: les 3 types de contrôleurs de retour d'information (feedback) ; [17]

### ■ Le contrôle proportionnel (P)

La réponse du système est proportionnelle à la quantité d'erreur ; la sortie du régulateur est proportionnelle à l'erreur de vitesse ou de vitesse d'entrée ; la sortie est donc égale à  $K_p$  fois l'erreur d'entrée :

$$\text{Sortie} = K_p * (\text{erreur d'entrée}). \quad (4.1)$$

$K_p$  : est appelé la constante de proportionnalité obtenue ou gain.

le contrôleur génère une réponse plus forte ; plus le système s'éloigne de l'état cible, plus le robot se tourne brusquement vers le mur s'il en est vraiment éloigné ; le robot tourne lentement vers le mur s'il s'en éloigne légèrement car le gain proportionnel devient plus important introduit des surcharges et des oscillations le paramètre de la distance par rapport au mur serait utilisé pour déterminer l'angle et la distance et/ou la vitesse du mouvement du robot plus l'erreur est élevée plus l'erreur est faible plus le mouvement est faible, les paramètres qui déterminent l'ampleur de la réponse du système sont appelés gains qui déterminent le gain correct nécessite des essais et des erreurs et l'étalonnage du système le seul exemple de ceci serait d'utiliser la méthode de Ziegler Nichols[17].

### ■ Le contrôle proportionnel dérivé (PD)

La commande PD est une combinaison de la somme proportionnelle et dérivée, de sorte que la sortie est  $K_p$  fois l'erreur d'entrée plus  $K_d$  fois la dérivée de l'erreur[17].

$$\text{Sortie} = K_p * (\text{erreur d'entrée}) + K_d * \frac{d(\text{erreur d'entrée})}{dt}. \quad (4.2)$$

$K_p$  : est appelé la constante de proportionnalité obtenue ou gain.

$K_d$  : est appelé la constante de dérivée.

Il est largement utilisé dans le contrôle des processus industriels car il s'agit d'une combinaison de la variation de la puissance d'entrée lorsque le système est éloigné du point de consigne et de la correction de la dynamique du système lorsqu'il s'en approche. Il est parfois appelé contrôle des taux parce qu'il est basé sur le taux de variation de l'erreur et, en le suivant, il réduirait la clarté du terme lorsque le taux de variation dépasse un certain seuil.

### ■ Le contrôle proportionnel intégral dérivé (PID)

Le contrôle PID est la somme des trois contrôles de base dont nous avons parlé ici :  $K_p$  multiplie l'erreur d'entrée plus  $K_i$  multiplie l'intégrale de l'erreur plus  $K_d$  multiplie la dérivée

de l'erreur, de sorte que la sortie est :

$$\text{Sortie} = K_p * (\text{erreur d'entrée}) + K_i * \int (\text{erreur d'entrée}) + K_d * \frac{d(\text{erreur d'entrée})}{dt}. \quad (4.3)$$

$K_p$  : est appelé la constante de dérivée.

$K_i$  : est appelé la constante d'intégral.

$K_d$  : est appelé la constante de dérivée.

Améliorez à la fois la stabilité et l'état et la réponse transitoire de la paroi du robot selon l'algorithme comme vous le feriez dans le code ; vous choisiriez les gains pour  $K_p$   $K_i$  et  $K_d$  par essais et erreurs car nous savons qu'un robot ne sera pas un système idéalement modélisé et vous négligeriez le terme  $dt$  car il s'agit du retard dans le code ; il suffit donc de sélectionner ce gain pour l'intégrale de l'erreur jusqu'à ce que vous atteigniez un certain seuil puis de multiplier la puissance du moteur ou le nombre de tours par le gain pour l'intégrale[17].

### ■ Les caractéristiques du système

Calcule les erreurs pour faire tourner le robot plus souvent et ensuite ajuste l'angle de rotation pour faire tourner le robot à des angles plus petits utilise une gamme de distances pour fixer la cible du robot, détermine ces deux valeurs en fonction des paramètres spécifiques du robot mais n'oubliez pas que vous tirez pour avoir d'abord un gain proportionnel avec une oscillation régulière et ensuite ajuster le gain dérivé et intégral de certaines choses dont vous aurez besoin pour fixer la cible du robot : Instable, non amorti sans compensation de l'erreur et sur-amorti avec l'erreur de compensation. Tous ces états sont des caractéristiques différentes basées sur le gain proportionnel, intégral et dérivé, et sur la reconnaissance de ce qui se passe et la compréhension de ce qui doit être changé pour corriger ces états[17].

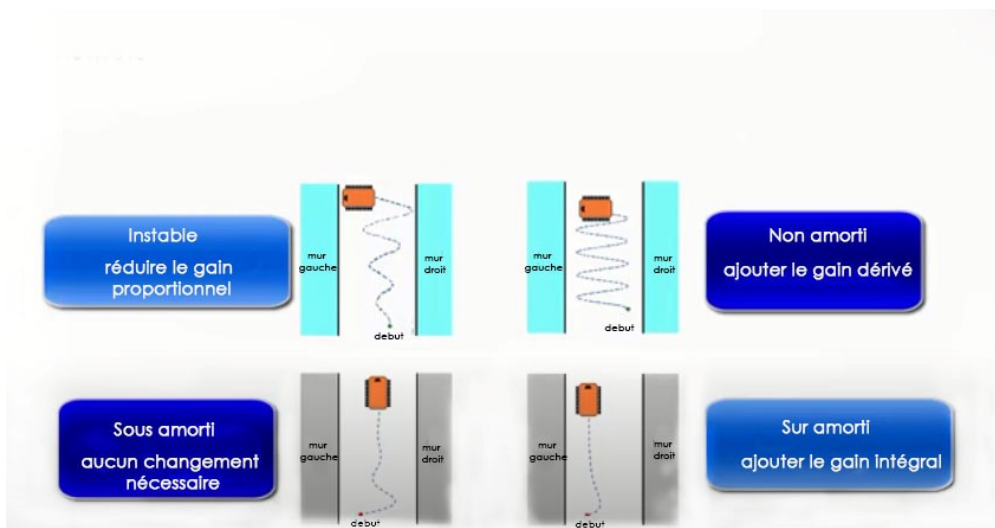


Figure 4.7: Les caractéristiques du système ; [17]

### ■ Mur suivant les angles

Il existe deux façons de franchir un coin de mur en suivant l'une d'entre elles : l'une consiste à faire de petits virages en continuant en ligne droite pour faire tourner lentement le robot à gauche ou à droite ; l'autre consiste à inverser et à tourner dès que le robot est détecté, et à continuer à inverser et à tourner jusqu'à ce que le robot ait franchi le coin ; l'inconvénient des deux méthodes est qu'elles prennent du temps et produisent des mouvements brusques ou moins élégants ; une alternative consiste à utiliser un contrôle proportionnel où une commande de rotation qui a été chronométrée pour effectuer une rotation de 90 degrés en fonction de la distance du mur est exécutée ; c'est la façon dont un être humain tournerait probablement un coin ; cela ne fonctionne de façon fiable que lorsque le robot est très prévisible, comme la traction de la batterie dans le modèle de capteur à surface de friction[17].

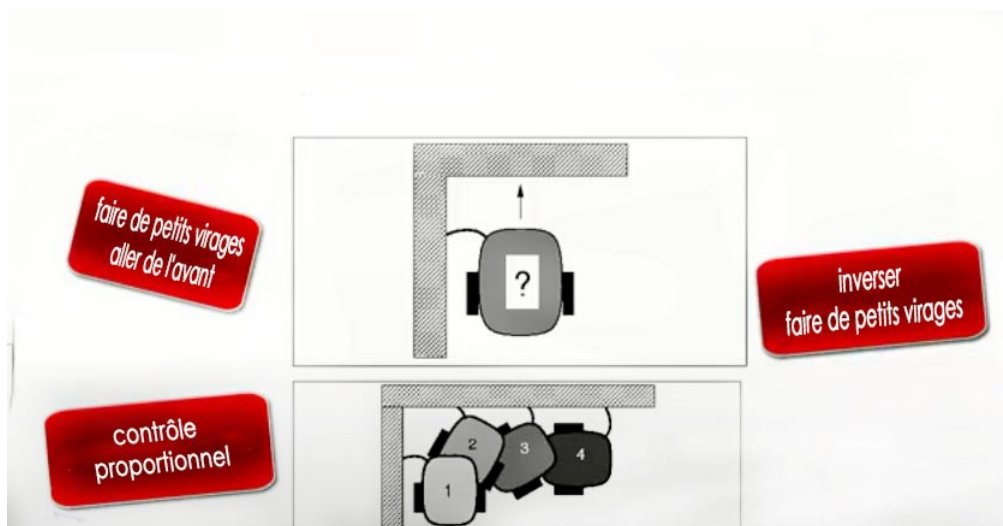


Figure 4.8: schéma d'un mur suivant les coins ; [17]

### ■ Déterminer les gains du contrôleur

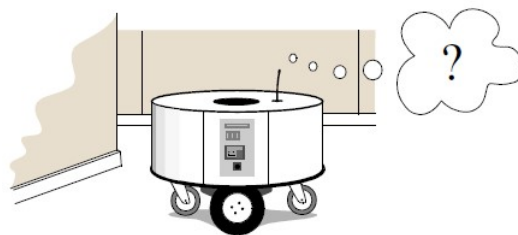
1. **Empiriquement** : par exemple, par essais et erreurs, le système doit être soumis à des essais approfondis.
2. **Analytiquement** : avec les mathématiques requises au système être bien compris et caractérisé comme un modèle.
3. **Automatiquement** : en essayant différentes valeurs au moment de l'exécution avec une sorte d'algorithme informatique[17].

# Chapitre 5

## Localisation et cartographie

### 5.1 Introduction

La navigation est l'une des compétences les plus difficiles que doit posséder un robot mobile. Pour une navigation réussie, les quatre éléments fondamentaux de la navigation sont nécessaires : la perception, le robot doit interpréter ses capteurs pour extraire des données significatives ; la position, le robot doit déterminer sa position dans l'environnement (figure 5.1) ; la cognition, le robot doit décider comment agir pour atteindre ses objectifs ; et le contrôle des mouvements, le robot doit moduler ses sorties motrices pour atteindre la trajectoire souhaitée. De ces quatre composantes (figure 5.2), c'est la localisation qui a reçu le



**Figure 5.1:** Où suis-je ? ; [18]

plus d'attention de la part des chercheurs au cours de la dernière décennie et, par conséquent, des progrès significatifs ont été réalisés sur ce front. Ce chapitre examine les méthodes de localisation qui se sont avérées efficaces ces dernières années[18].

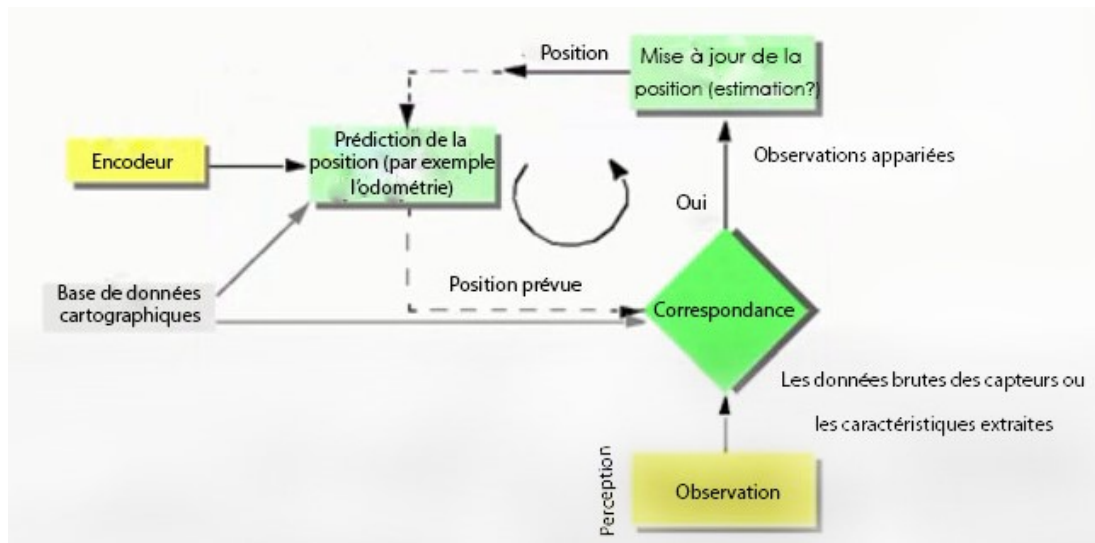


Figure 5.2: Schéma général pour la localisation d'un robot mobile ; [17]

## 5.2 Localisation et cartographie

Les deux questions principales en matière de navigation sont : où je suis, c'est-à-dire la localisation, et où j'ai été, c'est-à-dire la cartographie, sont étroitement liées car un robot ne peut pas créer une carte exacte s'il ne sait pas où il se trouve[18].

## 5.3 Les Catégories de localisation

1. **à base d'icônes** : utilisé dans une grille d'occupation de l'espace ou une grille de test qui fusionne les données des capteurs dans un modèle ou une carte du monde et la fusion est effectuée à l'aide d'un algorithme fourni par une théorie de test formelle telle que Bayésien ou Dempster Schaefer ou les architectures hybrides HIMM utilisent la grille d'occupation comme un capteur virtuel dans son adaptation pour une carte métrique des bâtiments .
2. **basé sur les caractéristiques** : qui convient à la construction de cartes topologiques et qui est basé sur le processus de décision de Markov .
3. **l'odométrie.**
4. **balise ou grille** : utilisation de balises ou de points de référence provenant de capteurs externes.

La position basée sur une carte de probabilité est également appelée position de Markov ou position de filtre commun[17].

## 5.4 La localisation en grille

Une autre stratégie pour estimer la position est le suivi à deux degrés : placer la grille sur le sol avec des cellules clairement identifiables ; le robot détecte le changement d'une cellule à l'autre car il est équipé d'un capteur de lumière ; la grille doit être conçue pour distinguer le changement d'une cellule à l'autre ; elle doit maximiser le contraste entre les cellules adjacentes et les cellules de la grille doivent être grandes lorsque le robot se déplace plus rapidement[17].

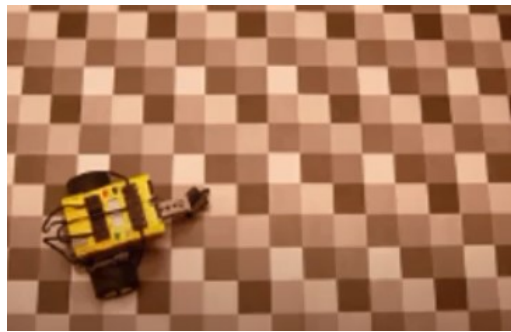


Figure 5.3: localisation en grille ; [17]

### 5.4.1 Exemple illustratif

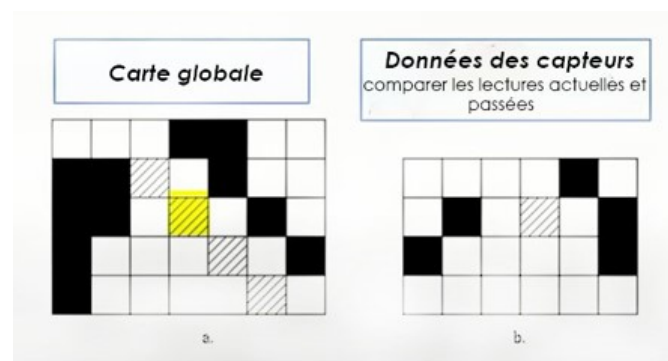


Figure 5.4: Exemple de a.) Une carte globale construite à partir de lectures précédentes et b.) Une nouvelle observation locale qui doit être adaptée à la carte globale. Les éléments ombragés en a. représentent les correspondances possibles avec l'élément ombragé en b ; [17]

## 5.5 Localisation métrique quantitative

Dans cette méthode, il doit y avoir une carte avec des informations métriques ; le robot explore le monde et utilise des capteurs pour extraire des caractéristiques telles que les murs et les portes des couloirs ; le robot fait ensuite correspondre les caractéristiques trouvées ; l'extrait avec un emplacement dans le monde ; le robot utilise ensuite la théorie de l'estimation de la position pour déterminer la probabilité qu'il se trouve au bon endroit[17].

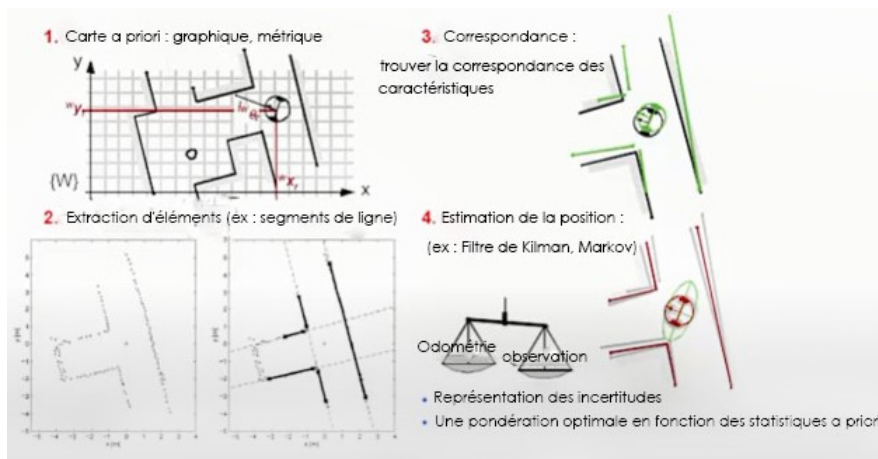


Figure 5.5: Localisation métrique quantitative ; [17]

## 5.6 Localisation par filtre de Kalman

représente l'état de croyance du robot à l'aide d'une fonction de densité de probabilité gaussienne unique et bien définie, utilise une représentation de la densité de probabilité de la position du robot et recherche la correspondance de position, le suivi par filtre de Kalman utilise les données brutes du capteur pour extraire des caractéristiques telles que des lignes et une estimation de la position initiale, afin qu'il n'y ait pas d'incertitude associée à chaque orientation de la ligne et que la position du robot suive le robot depuis une position connue, afin qu'elle soit précise et efficace, peut être utilisée dans les représentations du monde continu si l'incertitude du robot devient trop grande et que le modal n'est pas connu peut ne pas saisir la multitude de positions possibles du robot et peut être irrémédiablement perdu, contrairement à la position de Markov, ne considère pas indépendamment chaque position possible du robot. Résultats communs des axiomes de Markov : en supposant que l'incertitude de la position du robot est gaussienne. l'estimation par filtre de Kalman de la position d'un nouveau robot est réalisée en fusionnant la prédiction de la position du robot en magenta avec les informations obtenues à partir des mesures en vert ; l'estimation actualisée de la position du robot en rouge est obtenue ; cette estimation de la position finale correspond à la



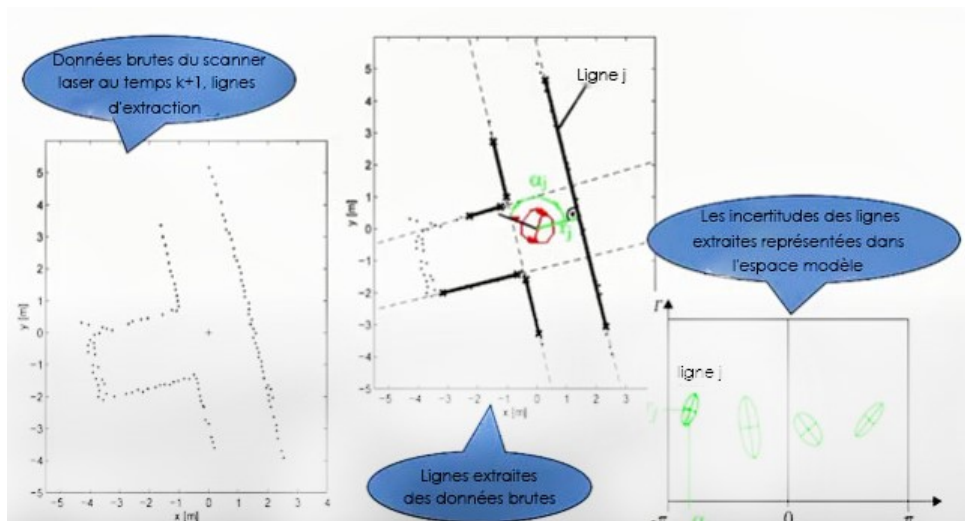


Figure 5.6: Localisation par filtre de Kalman ; [17]

somme pondérée des estimations de position de chaque paire de caractéristiques observées et prédites ; l'estimation de la position du robot est basée sur l'odométrie et les positions d'observation[17].



Figure 5.7: l'estimation par filtre de Kalman ; [17]

## 5.7 Localisation topologique

le robot reçoit une carte prioritaire indiquant les emplacements topologiques ou les points de repère uniques ; ceux-ci peuvent être représentés sous forme de nœuds et de bords avec des caractéristiques dans le monde ; le robot voyage autour du monde et reconnaît les emplacements distinctifs ; l'odométrie du robot et les emplacements uniques sont utilisés pour enregistrer ou localiser le robot[17].

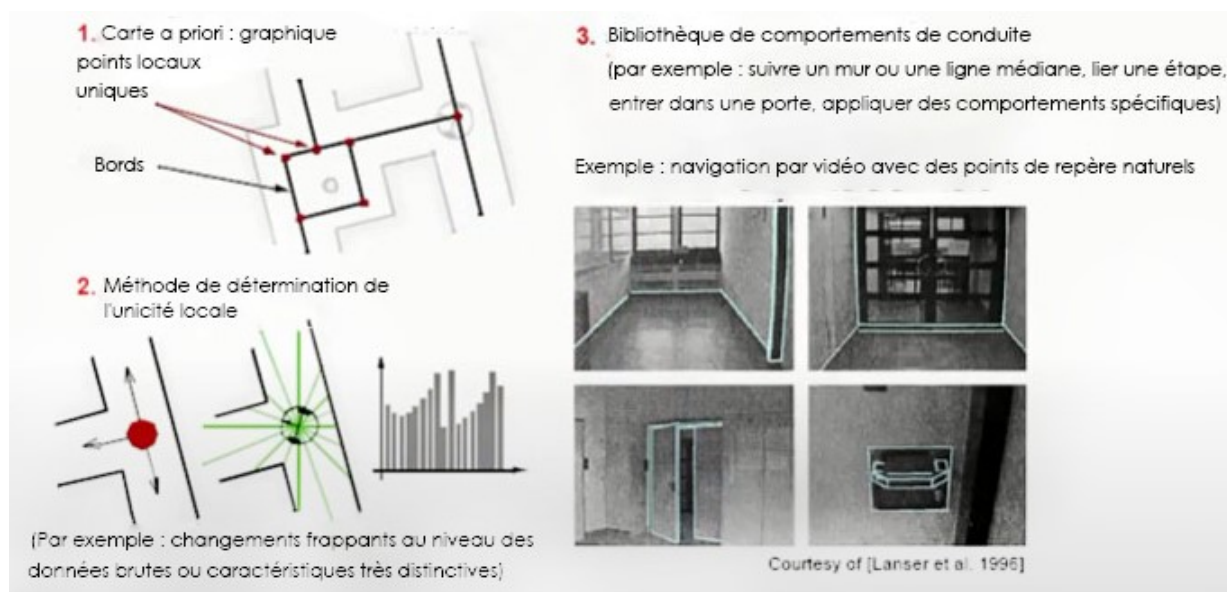


Figure 5.8: Localisation topologique ; [17]

## 5.8 Localisation de Markov sur une carte topologique

La position de Markov utilise une distribution de probabilité explicitement définie pour toutes les positions du robot, la position de Markov est le robot qui croit qu'un état normalement représenté par une assignation de probabilité séparée pour chaque position possible sur la carte un cas spécial d'estimation probabiliste d'état est appliqué à la position d'un robot mobile, permet la localisation à partir de n'importe quelle position inconnue et récupère d'une situation ambiguë car le robot peut suivre plusieurs solutions possibles complètes et disparates nécessite une représentation discrète de l'espace comme une grille géométrique ou un graphique topologique ; dans cette classe, il a besoin de mémoire et de puissance de calcul et peut limiter la précision et la taille de la carte ; il est identique en abstraction et en information à la carte de l'environnement et la décision implique l'attribution de nœuds et la connectivité entre eux ; il n'y a pas de limites marquées par des portes de couloir et de corridor et il sait qu'il n'y a pas d'information géométrique dans les nœuds[17].

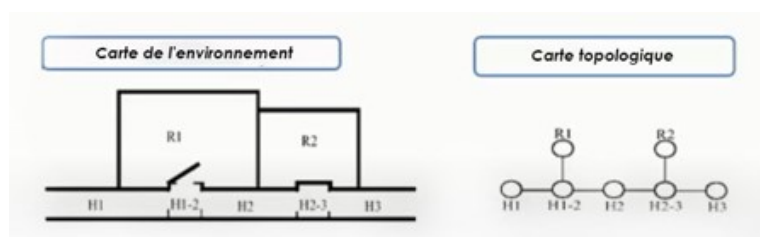


Figure 5.9: Un environnement de bureau géométrique (à gauche) et son analogue topologique (à droite) ; [17]

## 5.9 Les défis de la localisation

Parfois, la connaissance de la localisation absolue n'est pas suffisante, la localisation peut également être nécessaire à une échelle relative à l'homme, la cognition peut nécessiter plus que la localisation ; il peut être nécessaire de construire une carte environnementale pour planifier un itinéraire vers une cible et le processus d'estimation est indirect ; les mesures du bruit ne sont pas toujours disponibles et le cadre de référence est important même s'il est local ou relatif à l'endroit où je me trouve par rapport au cadre global, et s'il est global par rapport à l'absolu où je me trouve par rapport au cadre global, la localisation peut être spécifiée de deux façons : à la fois géométriques, comme les distances et les angles, et topologiques, comme les connexions entre les points de référence ; les défis sont plus nombreux, car les capteurs de perception et les effecteurs de contrôle de mouvement jouent un rôle clé dans la localisation ; comme nous savons que nous avons un capteur de bruit, le bruit d'aliasing de l'effecteur, et que la position automatique est basée sur une estimation[17].

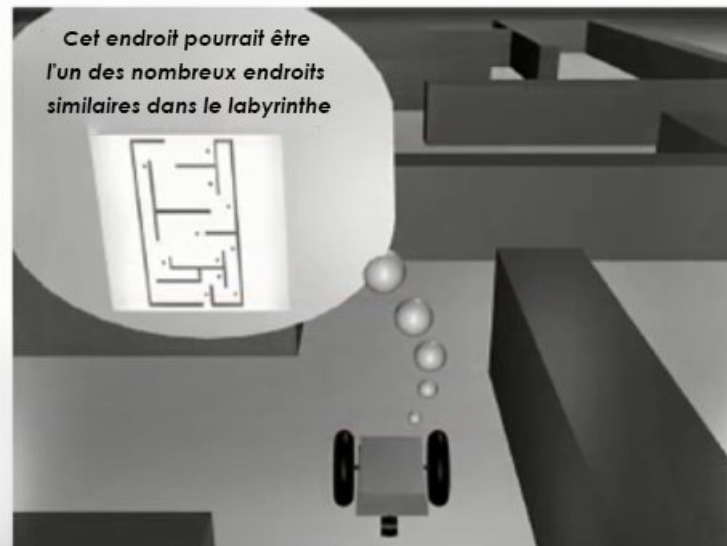


Figure 5.10: les enjeux de la localisation ; [17]

## 5.10 La cartographie

La cartographie et la localisation vont de pair car il est assez difficile de faire une carte précise si vous ne pouvez pas vous localiser et il est assez difficile de savoir où vous êtes dans le monde si vous n'avez pas de carte. La mesure de la qualité est basée sur la précision topologique et la précision métrique ; cela peut se faire par la construction de cartes ou de graphiques routiers qui identifient un ensemble de routes dans l'espace libre, comme par

exemple l'endroit où placer les nœuds, et si la topologie est basée sur des emplacements séparés ou sur une base métrique, les caractéristiques disparaissent ou deviennent visibles ; cela peut également se faire par la décomposition des cellules, où une distinction est faite entre les cellules libres et les cellules occupées, comme par exemple l'endroit où placer les limites des cellules, ou selon la topologie et la métrologie, où les caractéristiques disparaissent ou deviennent visibles à des intervalles discrets[17].

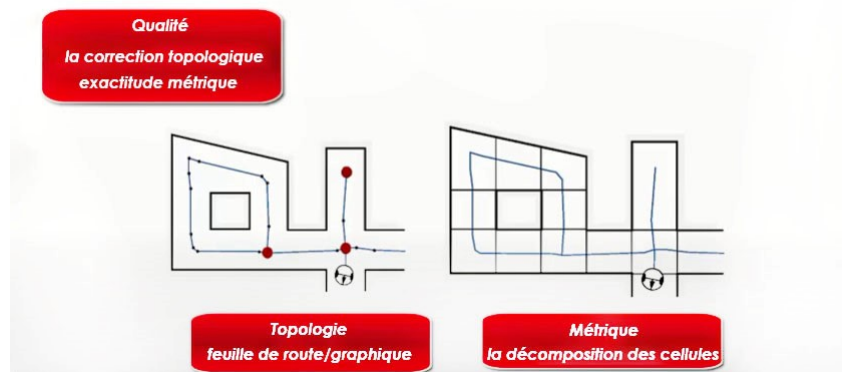


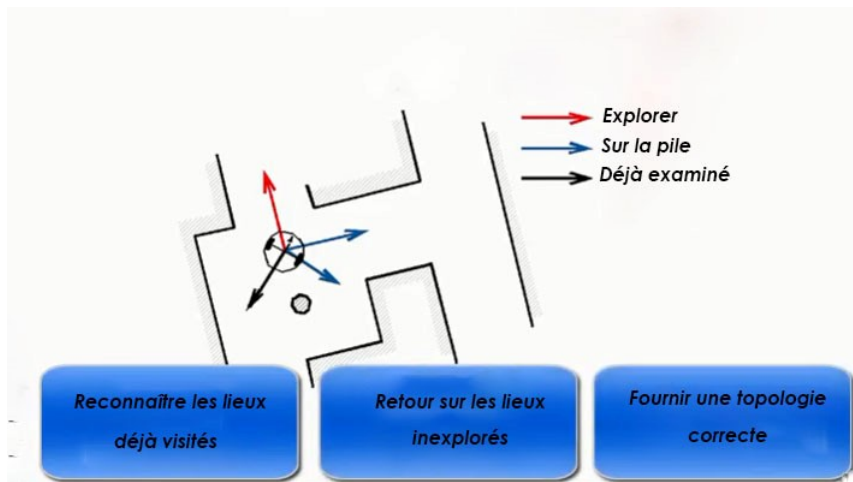
Figure 5.11: schéma sur La cartographie ; [17]

### ■ 5.10.1 Construction du graphique d'exploration

est de reconnaître les lieux déjà visités dans le monde, de rechercher des ouvertures inexplorées dans le monde et, lorsqu'il a fini de fournir une topologie correcte du monde, la construction automatique de la carte implique que le robot apprenne l'environnement sur la base d'un algorithme codé et cela doit être fait efficacement malgré un monde dynamique et imprévisible ou changeant et une apparence différente due à des perceptions ou des perspectives différentes de l'espace, nécessite l'intégration de nouvelles informations provenant du modèle global existant doit contenir des informations permettant d'estimer la position du robot doit fournir des informations permettant d'effectuer des tâches de planification de trajectoire et de navigation, bien que la plupart des environnements soient un mélange de caractéristiques prévisibles et imprévisibles ; Il devrait donc y avoir une sorte d'approche de contrôle hybride[17].

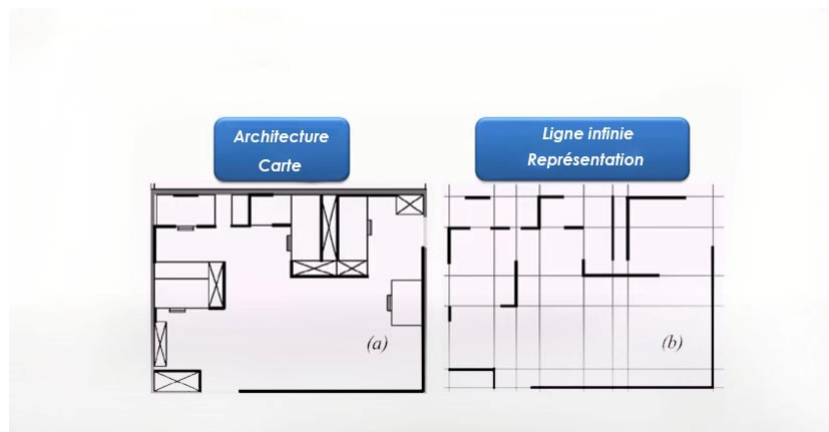
### ■ 5.10.2 Représentation continue

une carte à valeurs continues est une méthode précise de décomposition de l'environnement, les cartes continues sont uniquement en représentation 2d car une dimension supplémentaire



**Figure 5.12:** Construction du graphique d'exploration source ; [17]

peut faire exploser les calculs, la précision de la représentation continue est combinée avec l'hypothèse de la compacité d'un monde fermé, la représentation spécifiera tous les objets de l'environnement sur la carte, une carte à faible mémoire est une représentation 2d où les polygones représentent tous les obstacles, de nombreuses simulations sont effectuées exclusivement dans la mémoire des ordinateurs et les polygones ne sont pas utilisés pour décrire un environnement réel, alors que les environnements réels doivent être capturés, il existe des tendances à la sélectivité et à l'abstraction, les humains ne capturent que les objets qui peuvent être détectés par les capteurs du robot et cela représente un sous-ensemble de toutes les caractéristiques des objets dans le monde, une méthode de simplification consiste à approcher l'environnement réel[17].



**Figure 5.13:** Exemple d'une représentation linéaire continue de l'EPFL. (a) Carte réelle. (b) Représentation avec un ensemble de lignes infinies ; [17]

### ■ 5.10.3 Grille d'occupation

pour créer une grille d'occupation, un compteur est utilisé pour déterminer combien de fois une cellule est touchée par un capteur de distance, lorsque le compteur augmente, la cellule est considérée comme un obstacle, l'obscurité de la cellule est proportionnelle à la valeur du compteur, l'histogramme sur la carte de mouvement est un moyen de créer une grille d'occupation, il s'agit de compter le nombre de fois qu'une limite ou un obstacle est détecté et, lorsque le compte dépasse un certain seuil, la confiance dans la carte est sombre et la probabilité d'être présent augmente[17].

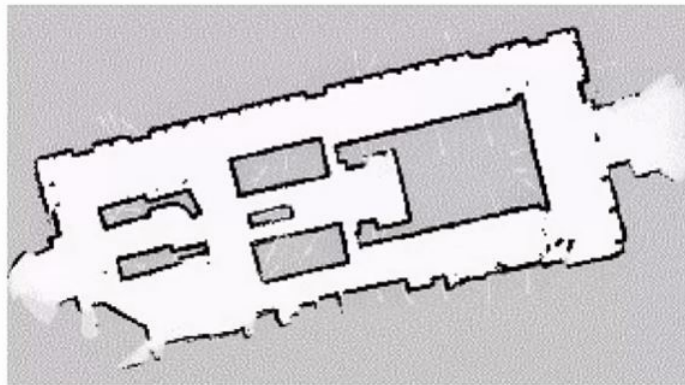
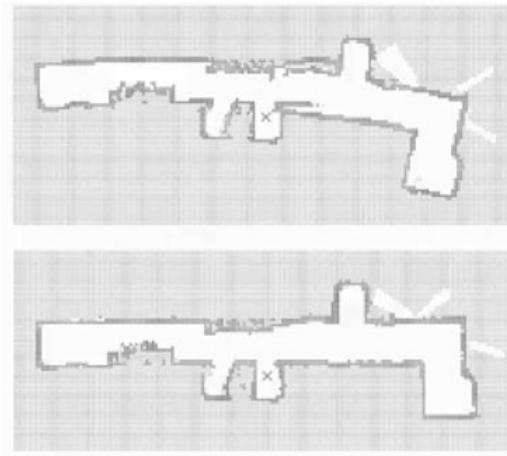


Figure 5.14: Exemple de représentation d'une carte quadrillée d'occupation ; [17]

### ■ 5.10.4 Construction autonome de cartes ou SLAM

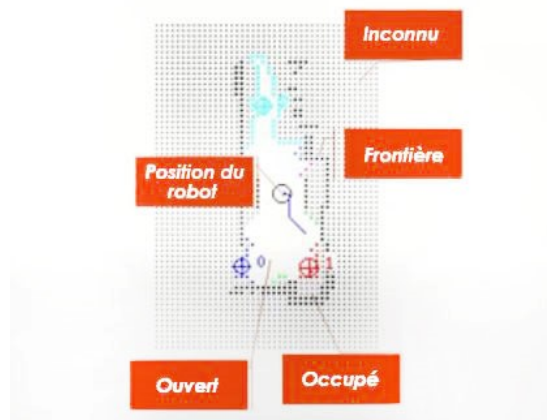
(*Simultaneous Localisation And Mapping*) Un robot qui a réussi à se localiser possède les bons capteurs pour détecter l'environnement et le robot doit construire sa propre carte, à partir d'un point de départ arbitraire. Un robot mobile doit être capable d'explorer l'environnement de manière autonome avec ses capteurs et d'en acquérir la connaissance. L'interprétation de la scène, la construction d'une carte appropriée et la localisation par rapport à cette carte, lorsque le robot n'a pas de carte et ne sait pas où il se trouve et choisit de construire une carte à la volée pour le localiser est appelée localisation et cartographie simultanée, Slam est également appelé localisation et cartographie simultanée ou localisation et cartographie CML simultanée est l'un des problèmes les plus difficiles spécifiques aux systèmes de robots mobiles, Le slam est l'une des tâches les plus difficiles en robotique car il est basé sur l'interaction entre les mises à jour de position qui servent à localiser dans les actions de cartographie, le slam est difficile car il implique que le robot effectue deux processus parallèles et liés en cours, il y a confusion entre différentes positions qui semblent similaires et donc ambiguës ; c'est le problème de l'association de données, qui consiste à associer de façon unique des données sensorielles à la vérité absolue du terrain[17].



**Figure 5.15:** Cartographie d'une salle de 70 pieds sans localisation continue (en haut) et avec (en bas); [20]

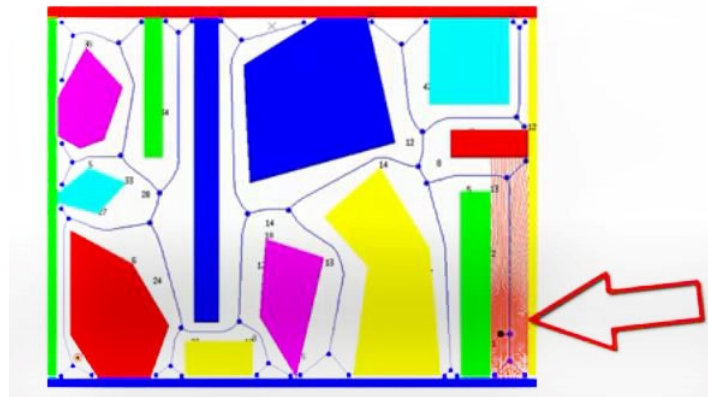
### ■ 5.10.5 Couverture et exploration

L'exploration tente de répondre à la question «Où suis-je allé» : Comment puis-je couvrir efficacement l'environnement inconnu ? Une méthode consiste à effectuer une recherche aléatoire ou à utiliser un champ potentiel et à couvrir la zone avec une grille après avoir scanné la zone inconnue pendant une longue période. Il existe deux méthodes de balayage de base : elles sont basées sur les frontières et le graphique généralisé de Voronoï ; lorsqu'un robot pénètre dans une nouvelle zone, il y a une frontière entre chaque zone qui a été détectée et est ouverte et la zone qui n'a pas été ouverte car les frontières sont des lignes qui forment une limite qui doit être balayée ; ce graphique montre ici un exemple de balayage basé sur les frontières[17].



**Figure 5.16:** Exemple d'un robot explorant une zone en utilisant une méthode basée sur les frontières ; [17]

l'autre méthode est un diagramme de Voronoï généralisé ; en fait, lorsque nous parlons de planification d'itinéraire, le robot essaie de construire un diagramme de Voronoï généralisé réduit lorsqu'il se déplace dans l'espace pour explorer ; le robot essaie de maintenir une trajectoire qui met sa distance égale à celle de tous les objets dans ses directions, et cette trajectoire est appelée diagramme de Voronoï ; Le robot peut alors utiliser n'importe quel comportement pour suivre ce cours pour explorer la carte. Notez que l'ombrage indique une zone du graphique qui n'a peut-être pas encore été entièrement explorée, de sorte que la couleur de fond changera au fur et à mesure que le robot explorera la zone ou créera cette partie de la carte[17].



**Figure 5.17:** Exemple d'un robot explorant une zone intérieure à l'aide d'une méthode GVG (Generalized Voronoi Graph) graphique de voronoï généralisé ; [17]



# Chapitre 6

## Planification et navigation

### 6.1 Introduction

La planification est un aspect évident de la navigation qui répond à la question : quel est le meilleur moyen d’y parvenir ? En effet, pour les applications de robotique mobile, un robot doit être capable d’atteindre la position cible en évitant les obstacles dispersés dans l’environnement et en réduisant la longueur de la trajectoire. La planification de l’itinéraire des robots mobiles doit tenir compte de différents aspects, en raison des divers objectifs et fonctions du robot virtuel lui-même, comme le montre la figure 6.1. La plupart des approches proposées se concentrent sur la recherche du chemin le plus court entre la position initiale et la position finale[21].

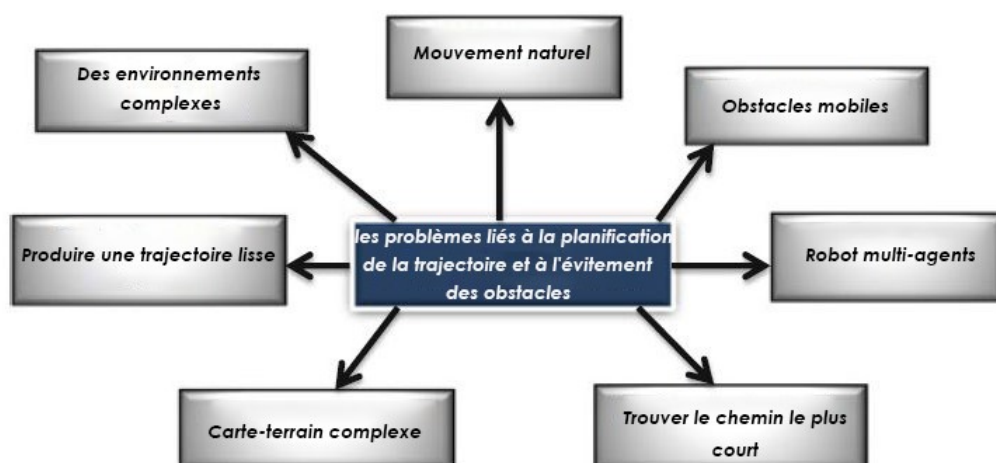


Figure 6.1: Les différents aspects de la planification des parcours; [21]

## 6.2 Les catégories de planification des trajectoires

Il peut être divisé en trois catégories selon la connaissance qu'a le robot de l'environnement, la nature de l'environnement et l'approche utilisée pour résoudre le problème, comme le montre la figure 6.2[21].



Figure 6.2: Les catégories de planification des parcours ; [21]

## 6.3 Représentations spatiales couramment utilisées dans la planification des trajectoires

En général, les modèles de planification d'itinéraires basés sur des cartes se divisent en deux catégories selon la façon dont on regarde le monde[21].

### 6.3.1 Planification qualitative (de l'itinéraire) du parcours

Dans cette catégorie, il n'y a pas de carte a priori représentant le monde, mais elle est spécifiée par des itinéraires allant de la position de départ à la position de destination. Le monde est représenté comme un lien entre les points de repère, et une séquence de points de repère liés représentera l'itinéraire[21].

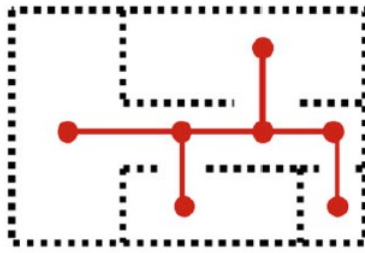


Figure 6.3: Planification qualitative du parcours ; [21]

### 6.3.2 Planification du cheminement métrique (tracé)

La planification d'itinéraire métrique est plus intéressante que la planification d'itinéraire qualitative car vous pouvez représenter l'environnement dans une structure claire que le robot peut utiliser pour planifier et trouver son itinéraire. Il permet également au robot de raisonner dans l'espace. En fait, les cartes métriques décomposent l'environnement en un ensemble de points différents, appelés "way points", qui sont des positions fixes identifiées par leurs coordonnées (x,y). La planification de la trajectoire consistera donc à trouver la séquence de points de passage connectés qui mènent au lieu de destination, en minimisant le coût du voyage[21].

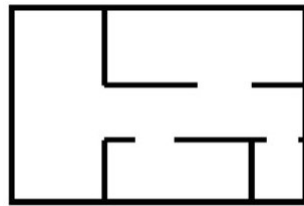


Figure 6.4: Planification de la trajectoire métrique ; [21]

## 6.4 Les approches utilisées pour résoudre la planification des parcours

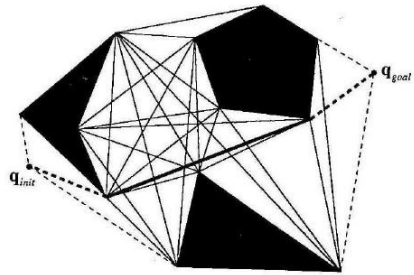
Le but de ces algorithmes est de trouver le chemin le plus court entre deux emplacements A et B dans un environnement spécifique. Il existe plusieurs algorithmes basés sur diverses méthodes pour trouver une solution à ce problème. La complexité de l'algorithme dépend de la technologie de base et d'autres paramètres externes, tels que la précision de la carte et le nombre d'obstacles[21].

### 6.4.1 Les approches classiques

#### Planification du cheminement de la carte routière (Road-Map Path Planning)

##### 1. Graphique de visibilité (Visibility graph) :

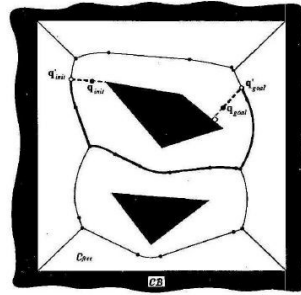
Le graphique de visibilité pour un espace de configuration du polygone  $C$  consiste en des arêtes joignant toutes les paires de sommets visibles (y compris les positions de début et de fin en tant que sommets). Les lignes droites libres (chemins) reliant ces sommets sont évidemment les distances les plus courtes entre eux. Par conséquent, la tâche du planificateur d'itinéraire est de trouver le chemin le plus court entre les positions de départ et d'arrivée le long des trajets définis par le graphique de visibilité (figure 6.5)[22].



**Figure 6.5:** Graphique de visibilité : Les nœuds du graphe sont les points initiaux et finaux et les sommets des obstacles de l'espace de configuration (polygones). Tous les nœuds qui sont visibles les uns des autres sont reliés par des segments de ligne droite, définissant la carte routière. Cela signifie qu'il y a également des bords le long des côtés de chaque polygone ; [22]

##### 2. Diagramme de Voronoï (Voronoi diagram) :

Contrairement à l'approche du graphique de visibilité, le diagramme de Voronoï est une méthode de carte routière complète qui tend à maximiser la distance entre le robot et les obstacles de la carte. Pour chaque point de l'espace libre, calculez sa distance par rapport à l'obstacle le plus proche. Tracez cette distance dans la figure 6.6 comme une hauteur sortant de la page. La hauteur augmente à mesure que vous vous éloignez d'un obstacle. En des points équidistants de deux ou plusieurs obstacles, le tracé de la distance présente des arêtes vives. Lorsque les obstacles de l'espace de configuration sont des polygones, le diagramme de Voronoï se compose de segments droits et paraboliques [22].

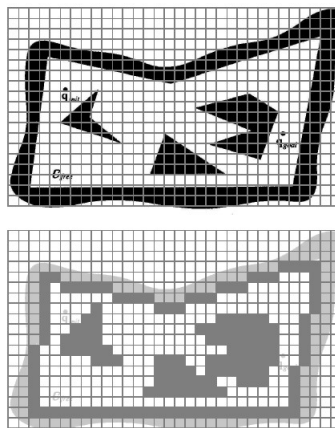


**Figure 6.6:** Le diagramme de Voronoï est constitué des lignes construites à partir de tous les points équidistants de deux ou plusieurs obstacles. Les configurations initiales de  $q_{init}$  et de  $q_{goal}$  de but sont cartographiées dans le diagramme de Voronoï en  $q_{init}$  et  $q_{goal}$ , chacun en traçant la ligne le long de laquelle sa distance à la limite des obstacles augmente le plus rapidement. La direction du mouvement sur le diagramme de Voronoï est également sélectionnée de manière à ce que la distance aux limites augmente le plus rapidement. Les points du diagramme de Voronoï représentent les transitions entre les segments de ligne (distance minimale entre deux lignes) et les segments paraboliques (distance minimale entre une ligne et un point); [22]

## ■ Planification du cheminement de la décomposition cellulaire (Cell Decomposition Path Planning)

### 1. Décomposition cellulaire exacte (Exact Cell Decomposition) :

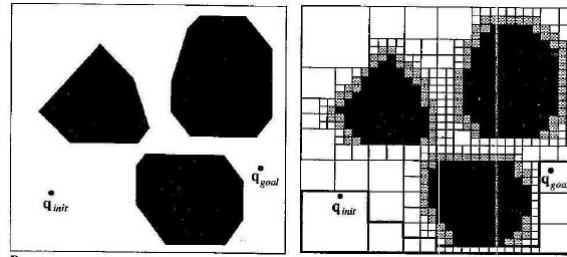
La figure 6.7 illustre la décomposition cellulaire exacte, où la limite de la cellule est basée sur la criticité géométrique. Les cellules résultantes sont soit complètement libres, soit complètement occupées, de sorte que la planification de l'itinéraire à travers le réseau est complète, tout comme les méthodes basées sur la feuille de route ci-dessus. L'abstraction de base derrière une telle décomposition est que la position particulière du robot dans chaque cellule libre n'a pas d'importance; ce qui compte, c'est plutôt la capacité du robot à se déplacer de chaque cellule libre vers les cellules libres adjacentes[22].



**Figure 6.7:** Décomposition fixe du même espace. (le passage étroit disparaît); [22]

## 2. Décomposition cellulaire approximative (Approximate Cell Decomposition) :

La décomposition approximative des cellules est l'une des techniques les plus populaires pour la planification de la trajectoire des robots mobiles. Cela est dû en partie à la popularité des représentations de l'environnement basées sur des grilles. Ces représentations en grille sont elles-mêmes des décompositions à taille fixe et sont donc identiques à une décomposition cellulaire approximative de l'environnement. La forme la plus populaire de cette décomposition, illustrée dans la figure 6.8, est la décomposition cellulaire à taille fixe[22].



**Figure 6.8:** Décomposition cellulaire variable approximative : a) L'espace libre est délimité extérieurement par un rectangle et intérieurement par trois polygones. b) Le rectangle est décomposé en quatre rectangles identiques. Si l'intérieur d'un rectangle se trouve entièrement dans l'espace libre ou dans l'obstacle de l'espace de configuration, il n'est pas décomposé davantage. Sinon, il est décomposé de manière récursive en quatre rectangles jusqu'à ce qu'une résolution prédéfinie soit atteinte. Les cellules blanches se trouvent à l'extérieur des obstacles, le noir à l'intérieur et le gris font partie des deux régions ; [22]

## ■ Planification de la trajectoire potentielle sur le terrain (Potential Field Path Planning)

### 1. Potentiel d'attractivité (Attractive Potential) :

Un potentiel attractif peut par exemple être défini comme une fonction parabolique. Ce potentiel attractif est différentiable, conduisant à la force d'attraction  $F_{att}$  :

$$F_{att}(q) = -\nabla U_{att}(q) = -k_{att} \cdot \rho_{goal} = -k_{att} \cdot (q - q_{goal}) \quad (6.1)$$

Qui converge linéairement vers 0 lorsque le robot atteint le but[22].

Avec :

- $q$  : est le variable d'état .
- $U_{att}(q)$  : Potentiel d'attractivité.
- $k_{att}$  : est un facteur d'échelle positif.
- $\nabla U_{att}(q)$  : désigne le vecteur de gradient de U à la position.
- $\rho_{goal}(q)$  : indique la distance euclidienne  $\|q - q_{goal}\|$

## 2. Potentiel de répulsion (Repulsive Potential) :

L'idée derrière le potentiel répulsif est de générer une force qui s'éloigne de tous les obstacles connus. Ce potentiel répulsif doit être très fort lorsque le robot est proche de l'objet, mais ne doit pas affecter son mouvement lorsque le robot s'éloigne de l'objet. La force répulsive  $F_{\text{rep}}$  [22] :

$$F_{\text{rep}}(q) = -\nabla U_{\text{rep}}(q) \quad (6.2)$$

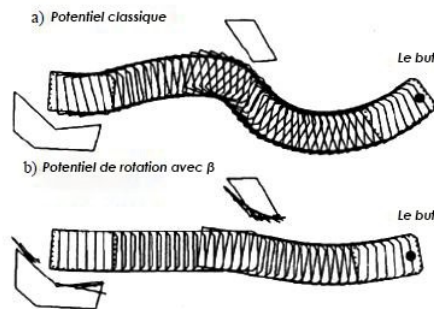
$$= \begin{cases} k_{\text{rep}} \left( \frac{1}{\rho(q)} - \frac{1}{\rho_0} \right) \left( \frac{1}{\rho^2(q)} \right) \left( \frac{q - q_{\text{obstacle}}}{\rho(q)} \right), & \text{Si } \rho(q) \leq \rho_0. \\ 0, & \text{Si } \rho(q) \geq \rho_0. \end{cases} \quad (6.3)$$

Avec :

- $U_{\text{rep}}(q)$  : Potentiel de répulsion .
- $\rho(q)$  : est la distance minimale par rapport à l'objet .
- $\nabla U_{\text{rep}}(q)$  : désigne le vecteur de gradient de U à la position.
- $\rho_0$  : la distance d'influence de l'objet.

## 3. La méthode du champ potentiel étendu (The Extended Potential Field Method) :

Khatib et Chatila [22] ont proposé une méthode de domaine étendu. Comme toutes les méthodes de champ potentiel, cette méthode utilise des forces attractives et répulsives provenant de champs potentiels artificiels. Cependant, deux sont ajoutés au champ potentiel de base : le champ rotatif potentiel et le champ de mission potentiel[22].



**Figure 6.9:** Comparaison entre un champ potentiel classique et un champ potentiel étendu ; [22]

## ■ 6.4.2 Les Approches de recherche de graphiques

### ■ L'algorithme de Dijkstra

L'algorithme de Dijkstra est utilisé dans la planification de la trajectoire du robot. Le chemin le plus court est sélectionné dans le processus de barrière. Les résultats de la simulation prouvent la validité du modèle ; il peut résoudre efficacement la planification du trajet du robot dans le labyrinthe[21].

### ■ L'algorithme (A\*)

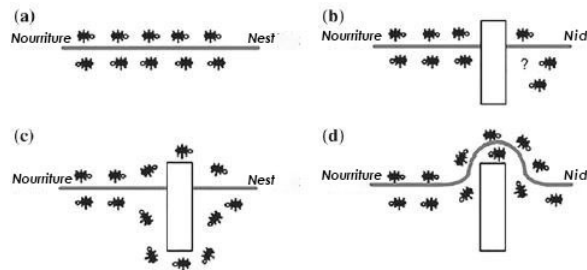
L'algorithme A\* est un algorithme basé sur une fonction heuristique pour une planification de trajectoire correcte. Il calcule la valeur de la fonction heuristique à chaque nœud de la zone de travail et implique la vérification d'un trop grand nombre de nœuds adjacents pour trouver la solution optimale avec une probabilité de collision nulle[23].

## ■ 6.4.3 Les Approches heuristiques

### ■ L'algorithme ACO

Dans la nature, certaines espèces de fourmis sont capables de choisir le chemin le plus court entre leur nid et la source de nourriture. Cela se fait par l'utilisation de dépôts de phéromones. En fait, les fourmis déposent une traînée chimique, appelée phéromone, sur le sol au cours de leur déplacement ; cette traînée attire d'autres fourmis, qui ont tendance à suivre le chemin ayant la plus forte concentration de phéromones. Après un certain temps, la concentration de phéromones augmente le plus rapidement possible et s'évapore par des voies détournées ; ce comportement est appelé stigmergie. Si un obstacle interrompt leur chemin, les fourmis choisissent d'abord leur chemin de manière probabiliste, puis après un certain temps, la concentration de phéromones devient plus élevée sur le chemin le plus court et toutes les fourmis choisissent ce chemin. Ce processus est illustré dans la figure 6.10[21].





**Figure 6.10:** Fourmis dans une piste de phéromones entre le nid et la nourriture ; b) un obstacle interrompt la piste ; c) les fourmis trouvent deux chemins et contournent les obstacles ; d) une nouvelle piste de phéromones se forme le long du chemin le plus court ; [21]

### ■ Algorithmes génétiques

L’algorithme génétique (GA) est un métaheuristique créé par John Holland en 1975. Il simule le processus d’évolution génétique et la sélection naturelle pour résoudre des problèmes d’optimisation et de recherche. GA est un sous-ensemble d’une branche de calcul beaucoup plus importante connue sous le nom de calcul évolutionniste[21].

### ■ Recherche Tabu

S’est révélée être une approche métaheuristique très efficace pour résoudre les problèmes de combinaison. Cependant, peu de recherches basées sur des tabous ont été proposées dans la littérature pour aborder le problème de la planification routière. Par exemple, la recherche a été la première, comme indiqué dans la littérature, à présenter une solution au problème de la planification locale des itinéraires en utilisant l’approche ST, qui s’est avérée efficace. L’idée de l’algorithme est de trouver, dans chaque itération, un ensemble de mouvements tabous pour limiter les positions du robot et guider son mouvement vers la position cible[21].

### ■ Autre approches

#### 1. Explorer rapidement les arbres au hasard RRT (Rapidly Exploring Random Trees) :

Les RRT élaborent généralement un graphique en ligne au cours du processus de recherche et n’ont donc besoin que d’une carte des obstacles a priori, mais pas de la décomposition du graphique. L’algorithme commence par un arbre initial (qui peut être vide) et ajoute ensuite des nœuds, reliés par des frontières[18].

# Chapitre 7

## Évitement des obstacles

### 7.1 Introduction

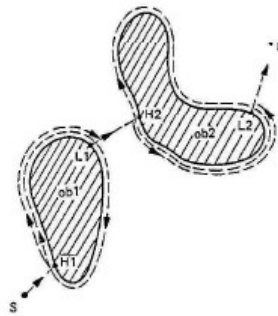
La prévention des obstacles locaux consiste à modifier la trajectoire du robot en fonction des informations fournies par ses capteurs lors de son déplacement. Le mouvement du robot qui en résulte est fonction des lectures actuelles ou récentes des capteurs et de leur position par rapport à la position cible. Les algorithmes de prévention des obstacles présentés ci-dessous dépendent à des degrés divers de l'existence d'une carte du monde et de la connaissance précise qu'a le robot de sa position par rapport à cette carte. Malgré leurs différences, tous les algorithmes suivants peuvent être qualifiés d'algorithmes de prévention des obstacles car les lectures des capteurs locaux du robot jouent un rôle important dans la trajectoire future du robot. Tout d'abord, nous présentons les systèmes les plus simples pour éviter les obstacles qui sont utilisés avec succès dans la robotique mobile. L'algorithme Bug représente une telle technique car seules les dernières valeurs des capteurs du robot sont utilisées et le robot n'a besoin que d'informations approximatives sur la direction de la cible en plus des valeurs actuelles des capteurs. Des algorithmes plus sophistiqués sont présentés ci-dessous, en tenant compte de l'histoire récente des capteurs, de la cinématique des robots et même de la dynamique[18].

## 7.2 Les méthodes d'évitement des obstacles

### 7.2.1 L'algorithme de bug (Bug Algorithm)

#### L'algorithme de bug 1 (Bug 1 Algorithm)

Avec Bug1, le robot fait d'abord un tour complet autour de l'objet, puis part du point le plus proche de la cible (figure 7.1). Cette approche est évidemment très inefficace, mais elle garantit que le robot atteint tout objectif réalisable[18].



**Figure 7.1:** Algorithme de Bug1 avec H1, H2, points d'impact et L1, L2, points de sortie ; [18]

#### L'algorithme de bug 2 (Bug 2 Algorithm)

Avec Bug2, le robot commence à suivre le contour de l'objet, mais part immédiatement lorsqu'il est capable de se déplacer directement vers la cible. En général, cet algorithme amélioré de Bug aura une trajectoire totale du robot beaucoup plus courte, comme le montre la trajectoire (figure 7.2 a). Cependant, il est toujours possible de créer des situations dans lesquelles le Bug2 est arbitrairement inefficace (c'est-à-dire non optimal)[18].

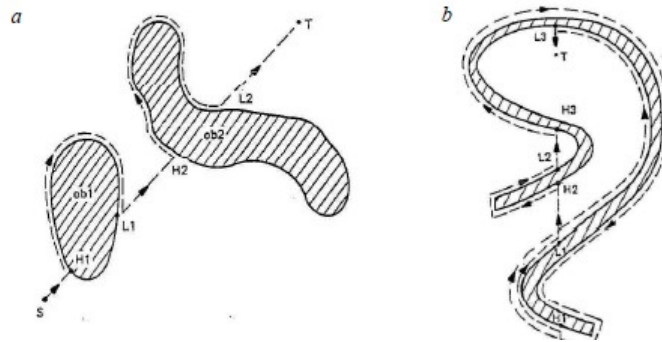


Figure 7.2: Algorithme de bug 2 avec H1, H2, points d'impact et L1, L2, points de sortie ; [18]

### 7.2.2 Histogramme du champ vectoriel VFH (Vector Field Histogram)

L'une des principales critiques des algorithmes de type Bug est que le comportement du robot à un moment donné est généralement fonction des dernières lectures des capteurs. Cela peut conduire à des problèmes évitables dans les cas où les lectures instantanées des capteurs du robot ne fournissent pas suffisamment d'informations pour éviter efficacement les obstacles. Les techniques VFH permettent de surmonter cette limitation en créant une carte de l'environnement local autour du robot. Cette carte locale est une petite grille d'occupation, peuplée uniquement de relevés relativement récents de la portée des capteurs. Pour éviter les obstacles, le VFH génère un histogramme polaire comme le montre la figure 7.3. Dans l'amélioration du VFH+, une des étapes de réduction tient compte d'un modèle simplifié des trajectoires possibles du robot mobile en fonction de ses limites cinématiques (par exemple le rayon de braquage d'un véhicule Ackerman). Le robot est modélisé pour se déplacer en arcs ou en lignes droites [18].

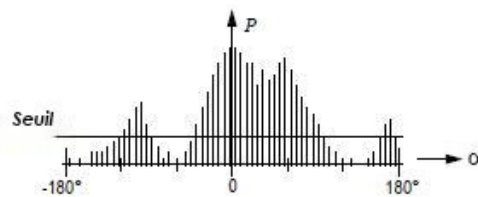
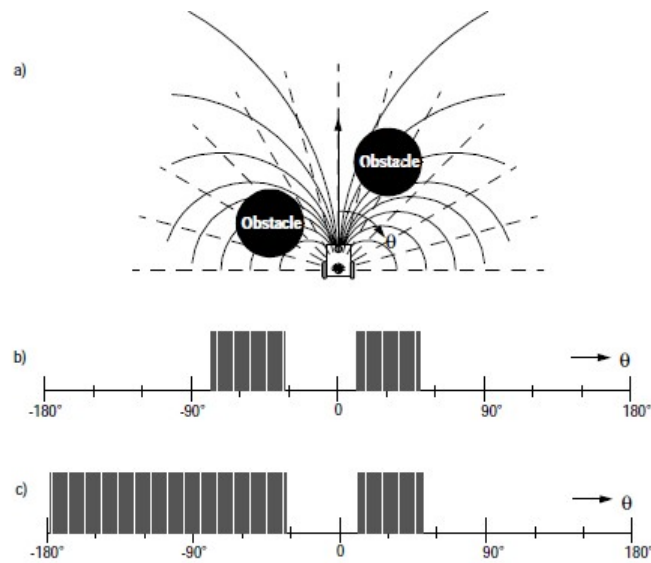


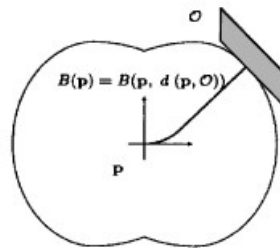
Figure 7.3: Histogramme polaire ; [18]



**Figure 7.4:** Exemple de directions bloquées et d'histogrammes polaires résultants. (a) Robot et obstacles bloquants. (b) Histogramme polaire. (c) Histogramme polaire masqué; [18]

### 7.2.3 La technique du ruban à bulles (The Bubble Band Technique)

Une bulle est définie comme l'espace libre maximum autour d'un robot qui peut être garanti pendant l'exécution de sa trajectoire. La bulle est générée en utilisant un modèle simplifié du robot ainsi que les informations de portée disponibles sur la carte du robot. Même avec un modèle simplifié de la géométrie du robot, il est possible de prendre en compte la forme réelle du robot lors du calcul de la taille de la bulle Figure 7.5[18].

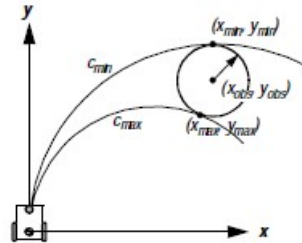


**Figure 7.5:** Forme des bulles autour du véhicule; [18]

### 7.2.4 Techniques de vitesse de courbure (Curvature Velocity Techniques)

La méthode CVM permet de prendre en compte les contraintes cinématiques réelles et même certaines contraintes dynamiques du robot lors de l'évitement d'obstacles, ce qui est une

amélioration par rapport aux technologies plus primitives. CVM ajoute d'abord les contraintes physiques du robot et de l'environnement à l'espace de vitesse. L'obstacle part de l'objet dans la grille cartésienne, puis calcule la distance entre la position du robot et l'obstacle en fonction de la trajectoire du robot à courbure constante, et le convertit en un espace de vitesse, comme le montre la figure 7.6[18].



**Figure 7.6:** Des courbes tangentes pour un obstacle ; [18]

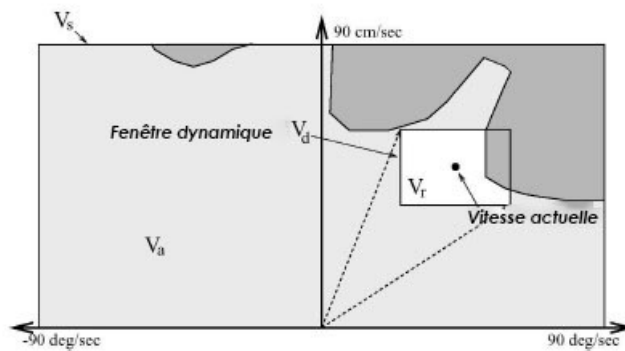
### ■ La méthode de la courbure des voies (The Lane Curvature Method)

LCM calcule un ensemble de couloirs souhaités, en échangeant la longueur et la largeur des couloirs avec l'obstacle le plus proche. Le couloir ayant les meilleures propriétés est choisi à l'aide d'une fonction objective. Le cap local est choisi de telle sorte que le robot passe au meilleur couloir s'il n'est pas déjà dans ce couloir[18].

### ■ 7.2.5 Approches de la fenêtre dynamique (Dynamic Window Approaches)

#### ■ L'approche de la fenêtre dynamique locale (The Local Dynamic Window Approach)

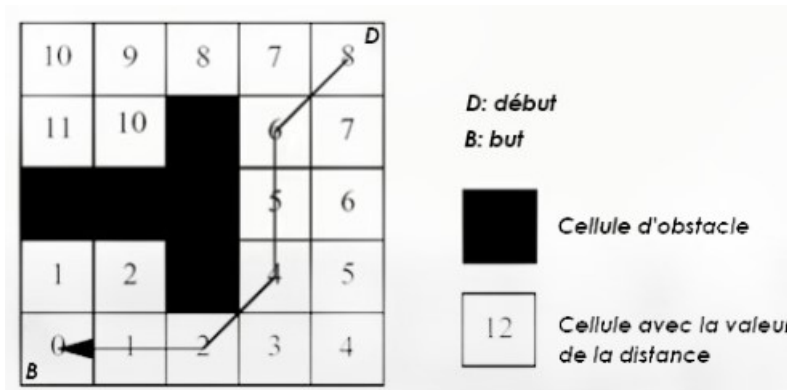
Dans l'approche par fenêtre dynamique locale, la cinématique du robot est prise en compte en recherchant un espace de vitesse bien choisi. L'espace de vitesse est constitué de tous les ensembles possibles de tuples  $(v, \omega)$  où  $v$  est la vitesse et  $\omega$  la vitesse angulaire. L'approche suppose que les robots se déplacent uniquement sur des arcs de cercle représentant chacun de ces tuples[18].



**Figure 7.7:** L'approche de la fenêtre dynamique. La fenêtre rectangulaire montre les vitesses possibles ( $v, \omega$ ) et le chevauchement avec les obstacles dans l'espace de configuration ; [16]

■ **L'approche de la fenêtre dynamique globale (The Global Dynamic Window Approach)**

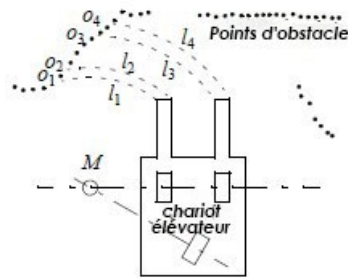
L'approche de la fenêtre dynamique globale ajoute, comme son nom l'indique, une pensée globale à l'algorithme présenté ci-dessus. Cela se fait en ajoutant une fonction sans minimum appelée NF1 à la fonction cible O présentée ci-dessus. NF1 est une fonction calculée avec une technique de propagation des ondes presque identique à celle d'un feu de forêt (voir la figure 7.8 et la section sur la décomposition des cellules)[22].



**Figure 7.8:** Un exemple de la transformation de la distance et du chemin résultant tel qu'il est généré par la fonction NF1. D désigne le début, B le but. Les voisins de chaque cellule  $i$  sont définis comme les quatre cellules adjacentes qui partagent un bord avec  $i$  (4-voisinage) ; [17]

### ■ L'approche Schlegel pour éviter les obstacles

Schlegel présente une approche qui prend en compte à la fois la dynamique et la forme réelle du robot. L'approche est adoptée pour les mesures de données laser brutes et la fusion de capteurs utilisant une grille cartésienne pour représenter les obstacles dans l'environnement. La performance en temps réel est obtenue grâce à l'utilisation de tableaux de recherche pré-calculés[18].



**Figure 7.9:** Les distances  $l_i$  résultant de la courbure  $i_c$  lorsque le robot tourne autour de  $M$ ; [18]

### ■ 7.2.6 Autres approches

Les approches décrites ci-dessus comptent parmi les systèmes de contournement d'obstacles les plus populaires. Il existe cependant de nombreuses autres techniques d'évitement d'obstacles dans le domaine de la robotique mobile. Par exemple, Tzafestas et Tzafestas donnent un aperçu des approches floues et neurofluides de l'évitement des obstacles. Inspirés par la nature, Chen et Quinn présentent une approche biologique dans laquelle ils reproduisent le réseau neural d'un cafard. Ce réseau est ensuite appliqué à un modèle de véhicule à quatre roues. Les fonctions de Liapunov forment une théorie bien connue qui peut être utilisée pour prouver la stabilité des systèmes non linéaires. Dans l'article de Vanualailai, Nakagiri et Ha, les fonctions de Liapunov sont utilisées pour mettre en œuvre une stratégie de contrôle de deux masses ponctuelles se déplaçant dans un environnement connu. Tous les obstacles sont définis comme des anti-cibles ayant une position exacte et une forme circulaire. Les anticipées sont ensuite utilisées lors de l'élaboration des lois de contrôle du système. Toutefois, à notre connaissance, ce modèle mathématique complexe n'a pas été testé sur un robot du monde réel[18].





## Troisième partie III

### Étude Expérimentale

## Chapitre 8

### Cinématique

#### 8.1 Le Modèle de simulation et de cinématique différentielle

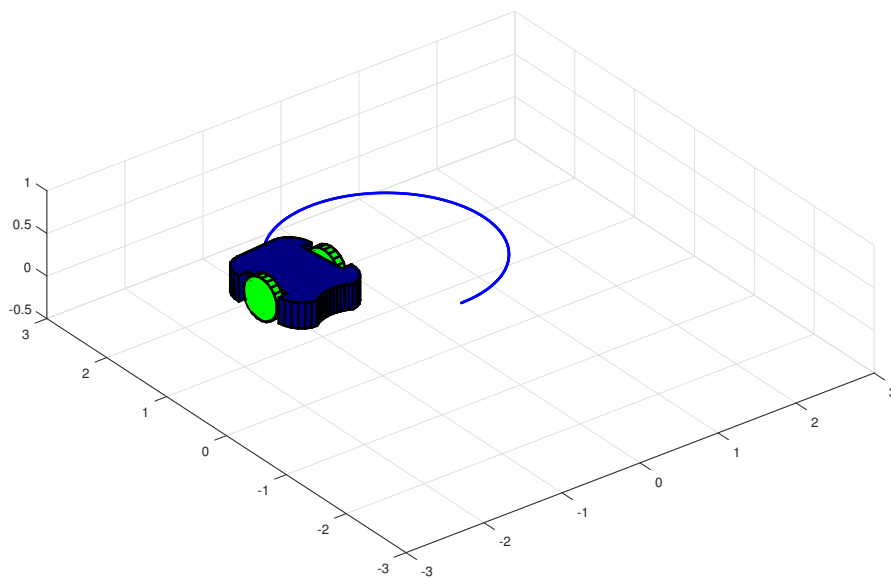
Dans le contexte des Robots mobiles autonomes on va faire un Modèle de simulation et de cinématique différentielle.

```
1 % CURSOS ONLINE (MI PLATAFORMA RECOMENDADO)
2 %
3 % Rob tica con Matlab y Arduino: Modelo y Simulaci n: http://bit.ly/2MHWYPb
4 % Rob tica con Matlab y Arduino: Dise o de controladores: http://bit.ly/2SXaDW3
5
6 clc
7 clear
8 close all
9
10 ts=0.1;
11 t=0:ts:60;
12
13 u=0.1*ones(1,length(t));
14 w=0.08*ones(1,length(t));
15
16
17 xr(1)=0;
18 yr(1)=0;
19 phi(1)=0;
20
21
22 for k=1:length(t)
23
24     xrp(k)=u(k)*cos(phi(k));
25     yrp(k)=u(k)*sin(phi(k));
26
27     xr(k+1)=xr(k)+ts*xrp(k);
28     yr(k+1)=yr(k)+ts*yrp(k);
29     phi(k+1)=phi(k)+ts*w(k);
```

```

30
31 end
32
33 pasos=20; fig=figure;
34 set(fig,'position',[10 60 980 600]);
35 axis square; cameratoolbar
36 axis([-3 3 -3 3 -0.5 1]); grid on
37 MobileRobot;
38 M1=MobilePlot(xr(1),yr(1),phi(1));hold on
39 M2=plot(xr(1),yr(1),'b','LineWidth',2);
40
41 for i=1:pasos:length(t)
42
43     delete (M1)
44     delete (M2)
45     M1=MobilePlot(xr(i),yr(i),phi(i)); hold on
46     M2=plot(xr(1:i),yr(1:i),'b','LineWidth',2);
47
48     pause(ts)
49
50 end

```



**Figure 8.1:** Resultat de simulation

## 8.2 le Modèle de Simulation Monocycle 3D

On va essayer de tester le Modèle de Simulation Monocycle 3D.

```

1  clc % Clear Command Window
2  clear all %Remove items from workspace, freeing up system memory
3  close all % Remove specified figure
4
5  ts=0.1; % sample time
6  t=0:ts:30; % vector time
7
8  a=0.3;
9  % initial center position of robot
10  x(1)=0; % X[m]
11  y(1)=0; % Y[m]
12  phi(1)=0; % [rad]
13
14  % 3) Desired reference
15  hxd = 2*cos(0.2*t);
16  hyd = 2*sin(0.2*t);
17
18  hxdp = -2*0.2*sin(0.2*t);
19  hydp = 2*0.2*cos(0.2*t);
20
21  K=1;
22
23  hx(1)=x(1)+a*cos(phi(1));
24  hy(1)=y(1)+a*sin(phi(1));
25
26  for k=1:length(t)
27
28  % Following trayectory Control
29
30  % Error
31  hxe(k)=hxd(k)-hx(k);
32  hye(k)=hyd(k)-hy(k);
33
34  e=[hxe(k) hye(k)]';
35
36  % Jacobian Matrix
37
38  J=[cos(phi(k)) -a*sin(phi(k));...
39    sin(phi(k)) a*cos(phi(k))];
40
41  % Desired velocities
42  hdp=[hxdp(k) hydp(k)]';
43
44  v=inv(J)*(hdp+(K*e));
45
46  u(k)=v(1);
47  w(k)=v(2);
48
49
50  % Set action control in robot(real) or model
51
52  xp(k)=u(k)*cos(phi(k));
53  yp(k)=u(k)*sin(phi(k));
54  phip(k)=w(k);
55
56  % Position in k+1
57  x(k+1)=x(k)+ts*xp(k);
58  y(k+1)=y(k)+ts*yp(k);
59  phi(k+1)=phi(k)+ts*phip(k);
60
61  hx(k+1)=x(k+1)+a*cos(phi(k+1));
62  hy(k+1)=y(k+1)+a*sin(phi(k+1));
63
64  end
65

```

```

66
67 %% Simulacion
68
69 fig=figure; % new figure
70 set(fig,'position',[10 60 980 600]); % position window
71 axis equal; % Set axis aspect ratios
72 axis([-3 3 -3 3 -1 1]); % Set axis limits
73 grid on; % Display axes grid lines
74
75 MobileRobot; % Parameters of robot
76 M1=MobilePlot(x(1),y(1),phi(1)); % Plot robot in initial position hx,hy and phi orientation
77 hold on; % Retain current plot when adding new plot
78 plot(hxd,hyd,'r'); % plot trayjectory.
79 xlabel('x(m)'); ylabel('y(m)'); zlabel('z(x)'); % Label axis
80 camlight('right');
81
82 step=5;
83 %%
84 for i=1:step:length(t) % Loop emulation
85
86     delete (M1)
87     M1=MobilePlot(x(i),y(i),phi(i)); hold on
88     hold on; % Retain current plot when adding new plot
89     plot(hx(1:i),hyd(1:i),'b'); % plot trayjectory.
90     pause(ts)
91 end
92
93 %% Graficas
94 figure('Name','Contr le d'erreurs')
95 plot(t,hxe); hold on;
96 plot(t,hye); hold on;
97
98
99 figure('Name','Contr le d'action')
100 subplot(211)
101 plot(t,u,'linewidth',2), grid on
102 legend('Vitesse lin aire u')
103 xlabel('Temps'), ylabel('Vitesse [m/s]')
104 subplot(212)
105 plot(t,w,'g','linewidth',2), grid on
106 legend('Vitesse angulaire w')
107 xlabel('Temps'), ylabel('Vitesse [rad/s]')

```

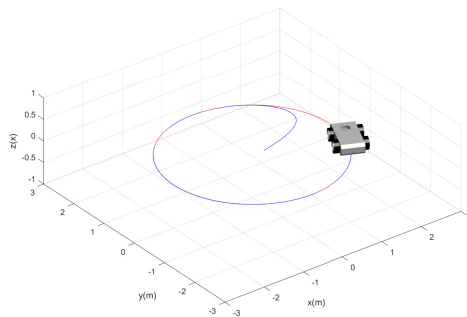


Figure 8.2: Resultat de simulation

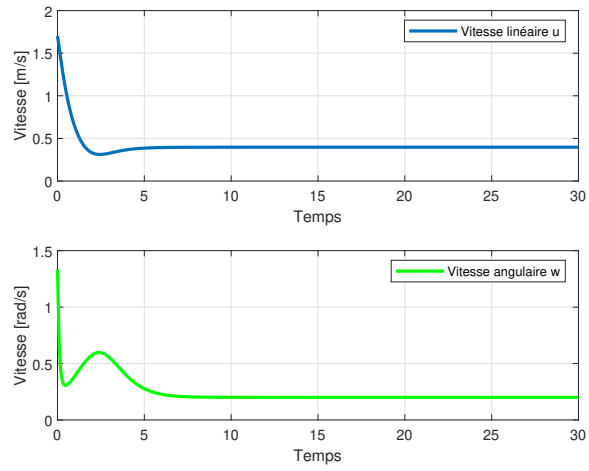


Figure 8.3: Contrôle des actions

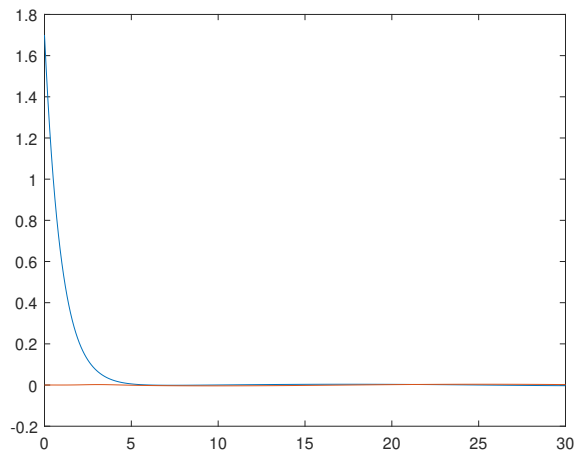


Figure 8.4: Contrôle des erreurs

## Chapitre 9

### Capteur et Perception

#### 9.1 Le Modèle de Simulation de Fusion des capteurs

Dans cette section on va faire un modèle de simulation de fusion des capteurs basé sur le filtre de Kalman.

```
1 function fusion
2 % Kalman Filter sensor fusion example based on
3 %
4 % http://www.slideshare.net/antoniomorancardenas/data-fusion-with-kalman-filtering
5 %
6 % See http://home.wlu.edu/~levys/kalman\_tutorial for background
7 %
8 % Copyright (C) 2014 Simon D. Levy
9 %
10 % This code is free software: you can redistribute it and/or modify
11 % it under the terms of the GNU Lesser General Public License as
12 % published by the Free Software Foundation, either version 3 of the
13 % License, or (at your option) any later version.
14 %
15 % This code is distributed in the hope that it will be useful,
16 % but WITHOUT ANY WARRANTY without even the implied warranty of
17 % MERCHANTABILITY or FITNESS FOR A PARTICULAR PURPOSE. See the
18 % GNU General Public License for more details.
19 %
20 % You should have received a copy of the GNU Lesser General Public License
21 % along with this code. If not, see <http://www.gnu.org/licenses/>.
22
23 % Parameters =====
24
25 % Biases
26 BIAS1 = +1;
27 BIAS2 = -1;
28
29 % Measurement noise covariances
```



```

30 R1 = 0.64;
31 R2 = 0.64;
32
33 % Process noise covariance
34 Q = .005;
35
36 % State transition model
37 A = 1;
38
39 % Observation model
40 C1 = 1;
41 C2 = 1;
42
43 % Duration
44 N = 1000;
45
46 % Run =====
47
48 % Generate the signal x as a sine wave
49 x = 20 + sin(5*linspace(0,1,N)*pi);
50
51 % Add some process noise with covariance Q
52 w = sqrt(Q) * randn(size(x));
53 x = x + w;
54
55 % Compute noisy sensor values
56 z1 = BIAS1 + x + sqrt(R1) * randn(size(x));
57 z2 = BIAS2 + x + sqrt(R2) * randn(size(x));
58
59 % Run a single-sensor example and plot it
60 xhat = kalman(z1, A, C1, R1, Q);
61
62 % Plot sensed and estimated values
63 clf
64 plotsigs(1, z1, xhat, 'Capteur 1')
65 title('Un capteur : le nettoyage des signaux')
66
67 % Plot estimate and actual values
68 plotsigsrms('Un capteur', 2, x, xhat)
69
70 % Run the Kalman filter on fused sensors
71 xhat = kalman([z1; z2], A, [C1; C2], [R1 0; 0 R2], Q);
72
73 % Plot fusion example
74 plotsigsrms('Deux capteurs', 3, x, xhat)
75
76
77 % Helper functions =====
78
79 function plotsigs(pos, sig1, sig2, siglabel)
80 subplot(3,1,pos)
81 hold on
82 plot(sig1, 'k')
83 plot(sig2, 'r')
84 legend({siglabel, 'Estimation'})
85 ylim([15 25])
86 hold off
87
88 function plotsigsrms(label, pos, x, xhat)
89 plotsigs(pos, x, xhat, 'R e l')
90 title(sprintf('%s: Erreur RMS = %f', label, sqrt(sum((x-xhat).^2)/length(x))))

```

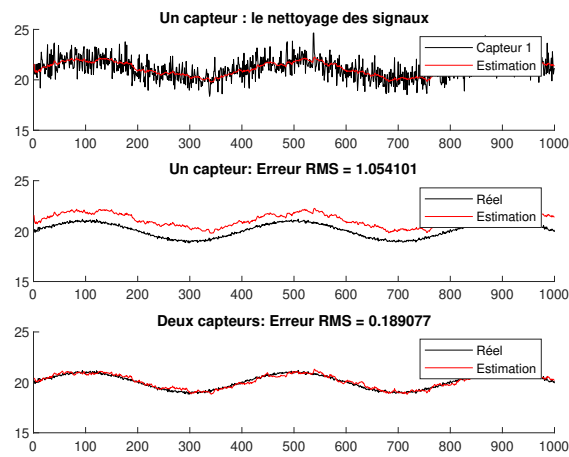


Figure 9.1: Résultat de simulation

# Chapitre 10

## Contrôle de Robot Mobile

### 10.1 Contrôle de position avec orientation différentielle du robot

Maintenant on va faire un modèle de Contrôle de position avec orientation différentielle du robot.

```
1 % CURSOS ONLINE (MI PLATAFORMA RECOMENDADO)
2 %
3 % Robotica con Matlab y Arduino: Modelo y Simulacion: http://bit.ly/2MHWYPb
4 % Robotica con Matlab y Arduino: Dise o de controladores: http://bit.ly/2SXaDW3
5
6 clc
7 clear
8 close all
9
10 % 1) Tiempo
11 ts=0.1;
12 t=0:ts:30;
13
14 % 2) Condiciones iniciales
15 xr(1)=-4; %Posicion del centro de eje de las ruedas en X[m]
16 yr(1)=4; %Posicion del centro de eje de las ruedas en Y[m]
17 phi(1)=0; %orientacion inicial con respecto al eje x [rad]
18
19 xc(1)=xr(1);
20 yc(1)=yr(1);
21 % 3) Referencias deseadas
22 xrd = 4;
23 yrd = -4;
24 phid=pi/2;
25
26 K1=0.5;
27 K2=0.5;
```

```

28     q2=0.5;
29
30     for k=1:length(t)
31
32         % 4) Control
33
34         %a) Errores de control
35         l(k)=sqrt((xrd-xr(k))^2+(yrd-yr(k))^2);
36         zeta(k)=atan2((yrd-yr(k)),(xrd-xr(k)))-phi(k);
37         psi(k)=atan2((yrd-yr(k)),(xrd-xr(k)))-phiid;
38
39
40         %d) Ley de control
41         u(k)=K1*cos(zeta(k))*l(k);      % Velocidad lineal de entrada
42         w(k)=K2*zeta(k)+(K1/zeta(k))*cos(zeta(k))*sin(zeta(k))*(zeta(k)+q2*psi(k)); % Velocidad
           angular de entrada;
43
44
45         % 5) Aplicar acciones de control al robot
46
47         xrp(k)=u(k)*cos(phi(k));
48         yrp(k)=u(k)*sin(phi(k));
49
50         % Hallar posiciones
51         xr(k+1)=xr(k)+ts*xrp(k);
52         yr(k+1)=yr(k)+ts*yrp(k);
53         phi(k+1)=phi(k)+ts*w(k);
54
55         xc(k+1)=xr(k+1);
56         yc(k+1)=yr(k+1);
57
58     end
59
60
61     %% Simulacion
62
63     pasos=10;  fig=figure('Name','Simulacion');
64
65     set(fig,'position',[60 60 980 600]);
66     axis square; cameratoolbar
67     axis([-6 6 -6 6 0 1]);
68     grid on
69     MobileRobot;
70     M1=MobilePlot(xr(1),yr(1),phi(1));hold on
71     M2=MobilePlot(xr(end),yr(end),phi(end));
72     M3=plot(xr(1),yr(1),'b','LineWidth',2);
73
74
75     for i=1:pasos:length(t)
76
77         delete (M2)
78         delete (M3)
79         M2=MobilePlot(xr(i),yr(i),phi(i)); hold on
80         M3=plot(xr(1:i),yr(1:i),'b','LineWidth',2);
81
82         pause(ts)
83
84     end
85
86
87     % %% Graficas
88     figure('Name','Erreurs')
89     subplot(311)
90     plot(t,l,'linewidth',2), grid on
91     legend('Erreur en l')
92     xlabel('Temps'), ylabel('Erreur [m]')

```

```

93 subplot(312)
94 plot(t,zeta,'g','linewidth',2), grid on
95 legend('Erreur en zeta')
96 xlabel('Temps'), ylabel('Erreur [rad]')
97 subplot(313)
98 plot(t,psi,'g','linewidth',2), grid on
99 legend('Erreur en psi')
100 xlabel('Temps'), ylabel('Erreur [rad]')
101
102 figure('Name','Actions de contrôle')
103 subplot(211)
104 plot(t,u,'linewidth',2), grid on
105 legend('Vitesse linéaire u')
106 xlabel('Temps'), ylabel('Vitesse [m/s]')
107 subplot(212)
108 plot(t,w,'g','linewidth',2), grid on
109 legend('Vitesse angulaire w')
110 xlabel('Temps'), ylabel('Vitesse [rad/s]')

```

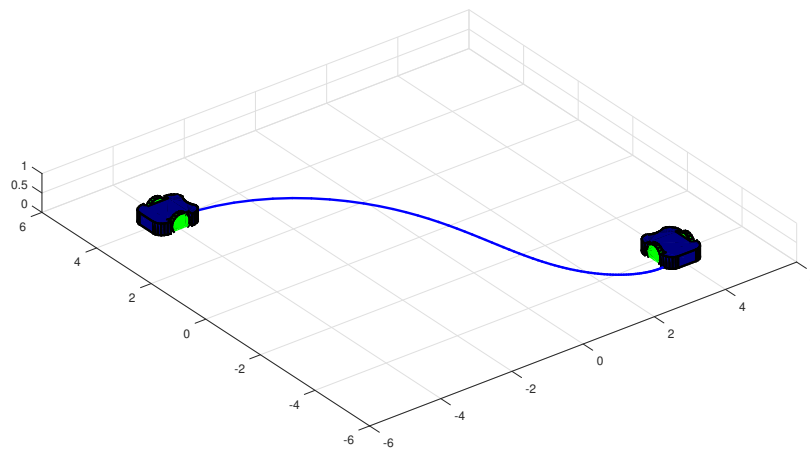


Figure 10.1: Résultat de simulation

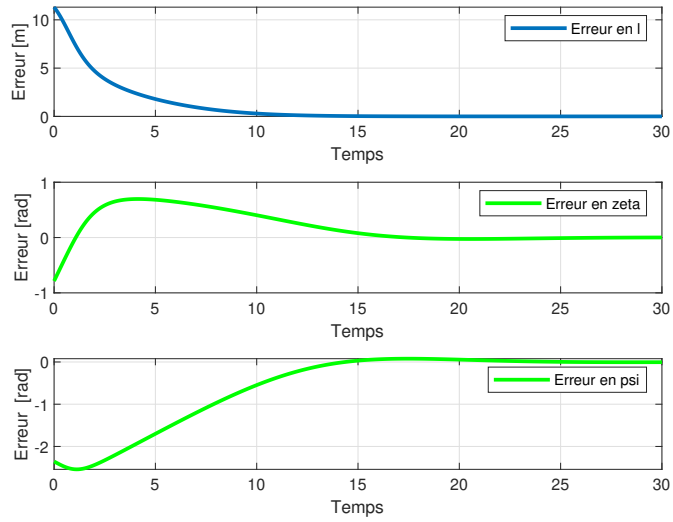


Figure 10.2: les erreurs

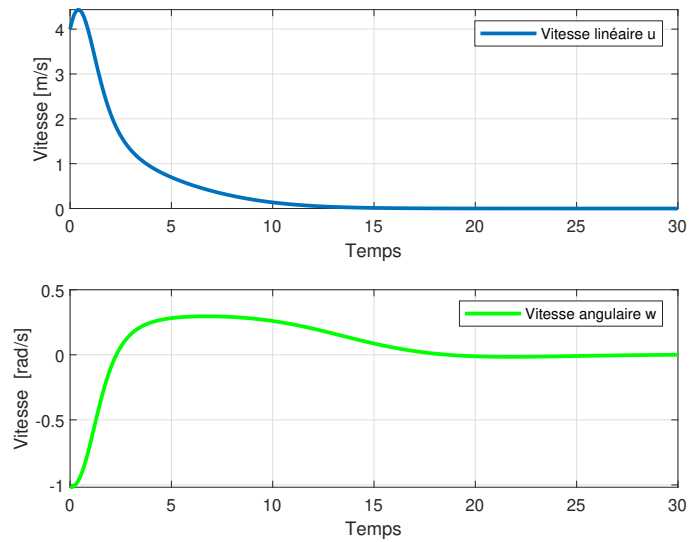


Figure 10.3: Les actions de contrôle

## 10.2 Commande différentielle de suivi des robots mobiles

Dans le cadre de contrôle de robot mobile on va faire la modélisation et la Commande différentielle de suivi des robots mobiles.

```

1  clc
2  clear
3  close all
4
5  % 1) Tiempo
6  ts=0.1;
7  t=0:ts:60;
8
9  % 2) Condiciones iniciales
10 xc(1)=0; %Posicion del centro de eje de las ruedas en X[m]
11 yc(1)=0; %Posicion del centro de eje de las ruedas en Y[m]
12 phi(1)=pi; %orientacion inicial con respecto al eje x [rad]
13
14 % 3) Referencias deseadas
15 % Trayectoria de un circulo
16 % xrd = 4*cos(0.2*t);
17 % yrd= 4*sin(0.2*t)+1;
18 %
19 % xrdp= -4*0.2*sin(0.2*t); %Posicion x1
20 % yrdp= 4*0.2*cos(0.2*t); %Posicion y1
21
22 % Trayectoria de una senoidal
23 % xrd = 0.1*t;
24 % yrd= 2*sin(0.1*t);
25 %
26 % % Trayectoria de un 8
27 % xrd = 4*sin(0.4*t); %Posicion x
28 % yrd = 4*sin(0.2*t); %Posicion y
29
30 % Trayectoria de un corazon
31 xrd = (8*sin(0.1*t)-9*sin(3*0.1*t))/3;
32 yrd= (15*cos(0.1*t)-5*cos(2*0.1*t)-2*cos(3*0.1*t)-cos(4*0.1*t))/4;
33
34 % % Trayectoria de 5 puntas
35 div=10;
36
37 % a=1/div; b=1/div; c=1/div; d=1/div; j=3; k=2.5;
38 % % xrd = cos(a*t)-cos(b*t).^j;
39 % % yrd= sin(c*t)-sin(d*t).^k;
40
41
42
43 xrdp= diff([0 xrd]); %Posicion x1
44 yrdp= diff([0 yrd]); %Posicion y1
45
46 a=0.2;
47
48 xr(1)=xc(1)+a*cos(phi(1));
49 yr(1)=yc(1)+a*sin(phi(1));
50
51 for k=1:length(t)
52
53 % 4) Control
54
55 %a) Errores de control
56 xre(k) = xrd(k) - xr(k);

```

```

57     yre(k) = yrd(k) - yr(k);
58     e = [xre(k);yre(k)];
59
60     %b) Matriz Jacobiana
61     J=[cos(phi(k)) -a*sin(phi(k));...
62       sin(phi(k))  a*cos(phi(k))];
63
64     %c) Matriz de ganancia
65     K = [1 0;...
66         0 1];
67
68     %d) Ley de control
69     hdp=[xrdp(k);yrdp(k)];
70
71     v = inv(J)*(hdp+K*tanh(e));
72
73
74     u(k)=v(1);    %Velocidad lineal de entrada al robot
75     w(k)=v(2);    % Velocidad angular de entrada al robot
76
77     % 5) Aplicar acciones de control al robot
78
79     xrp(k)=u(k)*cos(phi(k))-a*w(k)*sin(phi(k));
80     yrp(k)=u(k)*sin(phi(k))+a*w(k)*cos(phi(k));
81
82     % Hallar posiciones
83     xr(k+1)=xr(k)+ts*xrp(k);
84     yr(k+1)=yr(k)+ts*yrp(k);
85     phi(k+1)=phi(k)+ts*w(k);
86
87     xc(k+1)=xr(k+1)-a*cos(phi(k+1));
88     yc(k+1)=yr(k+1)-a*sin(phi(k+1));
89
90 end
91
92 %% Simulacion
93
94 pasos=10;  fig=figure('Name','Simulacion');
95
96
97
98 set(fig,'position',[60 60 980 600]);
99 axis square; cameratoolbar
100 axis([-6 6 -6 6 0 1]);
101 grid on
102 MobileRobot;
103 M1=MobilePlot(xr(1),yr(1),phi(1));hold on
104 M2=plot(xr(1),yr(1),'b','LineWidth',2);
105 plot(xrd,yrd,'r','LineWidth',2);
106
107 for i=1:pasos:length(t)
108
109     delete (M1)
110     delete (M2)
111     M1=MobilePlot(xc(i),yc(i),phi(i)); hold on
112     M2=plot(xr(1:i),yr(1:i),'b','LineWidth',2);
113
114     pause(ts)
115
116 end
117
118
119 %% Graficas
120 figure('Name','Erreurs')
121 subplot(211)
122 plot(t,xre,'linewidth',2), grid on

```



```

123 legend('Erreur en x')
124 xlabel('Temps'), ylabel('Erreur [m]')
125 subplot(212)
126 plot(t,yre,'g','linewidth',2), grid on
127 legend('Erreur en y')
128 xlabel('Temps'), ylabel('Erreur [m]')
129
130 figure('Name','Actions de contrôle')
131 subplot(211)
132 plot(t,u,'linewidth',2), grid on
133 legend('Vitesse linéaire u')
134 xlabel('Temps'), ylabel('Vitesse [m/s]')
135 subplot(212)
136 plot(t,w,'g','linewidth',2), grid on
137 legend('Vitesse angulaire w')
138 xlabel('Temps'), ylabel('Vitesse [rad/s]')

```

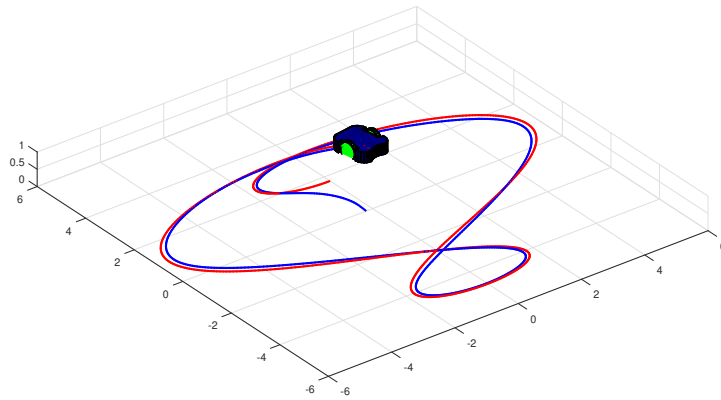


Figure 10.4: Résultat de simulation

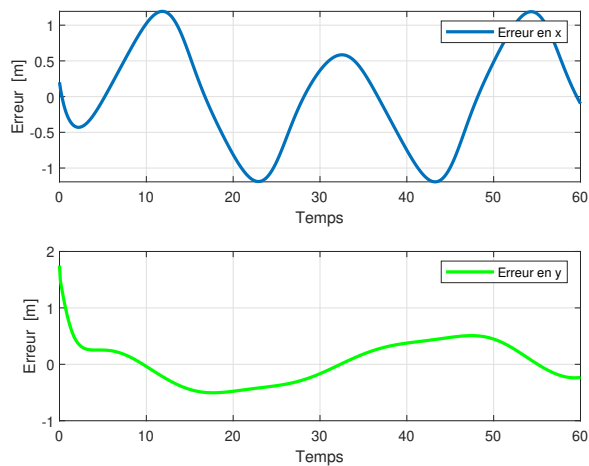


Figure 10.5: Les erreurs

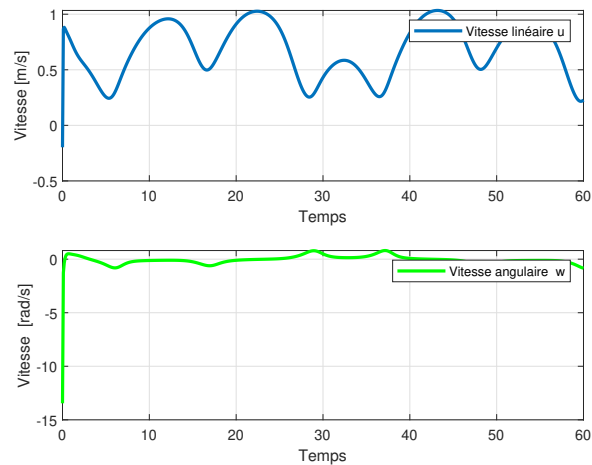


Figure 10.6: Les actions de contrôle

## 10.3 Robot mobile à roues

Dans cette section On va simuler un robot mobile a roues .

```

1  % Copyright 2016, Ehab Al Khatib, All rights reserved.
2
3
4  clear all
5  clc
6  close all
7  %%
8  global b
9
10 b = 0.18;
11 his.dt=[];
12
13 % I0_SFL
14 dt=0.1;
15 T=360;
16 k=2;
17 bref=0.08;
18 x=0.2;
19
20 %%
21 y=0.2;
22 theta=0/2;
23 X=[x;y;theta];
24
25 Vref=0.0;      % max 0.5 m/s
26 Omegaref=0.0; % max 3 rps
27
28 % Reference Trajectory
29 tperiod = 2*[0 5 10 15 20 ];
30
31 points=[0 0 ;1 0 ; 1 1 ; 0 1; 0 0];
32 x = points(:,1);
33 y = points(:,2);

```

```

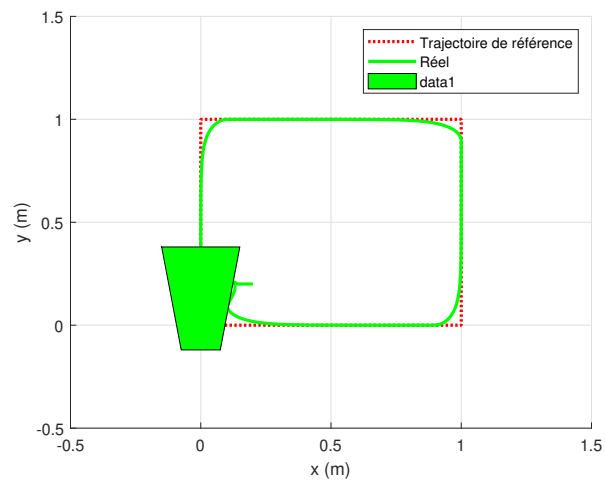
34
35
36 t = 0:dt:tperiod(end);
37 x_des = interp1(tperiod,x,t);
38 y_des = interp1(tperiod,y,t);
39 % plot(x_des,y_des,'.',x_des(1),y_des(1),'ro',x_des(end),y_des(end),'go')
40
41
42 his.X=[];
43 his.ex=[];
44 his.ey=[];
45
46 %% Graphics
47 f3=figure;
48 ax3=axes('parent',f3);
49 PLOT.RefTrajectory=line('parent',ax3,'XData',[],'YData',[],'LineStyle',':','color','r','LineWidth',2);
50 PLOT.Robot=line('parent',ax3,'XData',[],'YData',[],'LineStyle','-', 'color','g','LineWidth',2);
51 xlabel('x (m)')
52 ylabel('y (m)')
53 legend('Reference Trajectory','Acual ')
54 grid on
55
56 % robot dimensions
57 A.R_w = 0.3/2; % robot width/2
58 A.R_l=0.5/2; % robot length/2
59 A.a1 = [-A.R_l -A.R_w]';
60 A.b1 = [A.R_l -A.R_w/2]';
61 A.b2 = [A.R_l A.R_w/2]';
62 A.c = [-A.R_l A.R_w]';
63 A.P = [A.a1 A.b1 A.b2 A.c];
64 pl=[];
65
66 A.Rot = [ cos(X(3)) -sin(X(3)); sin(X(3)) cos(X(3))]*A.P; %rotated car
67 A.Prot_trasl = A.Rot + [ ones(1,4)*X(1); ones(1,4)*X(2)]; % add offset of car's center
68
69 A.P_robot=patch(A.P(1,:),A.P(2,:), 'g');
70 A.P_robot.XData=A.Prot_trasl(1,:);
71 A.P_robot.YData=A.Prot_trasl(2,:);
72 axis([-0.5 1.5 -0.5 1.5])
73
74
75
76 %% Main loop
77
78
79 for i=1:length(x_des)
80
81 % Simulate WMR
82 X=Move_Robot(X,[Vref,Omegaref],dt);
83
84 % IOSFL Controller
85 xb=X(1)+bref*cos(X(3));
86 yb=X(2)+bref*sin(X(3));
87
88 ex= x_des(i)-xb;
89 ey= y_des(i)-yb;
90
91
92 Vd_x=k*ex;
93 Vd_y=k*ey;
94
95 Vref = cos(X(3))*Vd_x + sin(X(3))*Vd_y ;
96 Omegaref = (1/bref)*(cos(X(3))*Vd_y-sin(X(3))*Vd_x);
97
98
99 % Store the data

```

```

100
101 his.X=[his.X X];
102 his.ex=[his.ex ex];
103 his.ey=[his.ey ey];
104
105 % update the figures
106
107 set(PLOT.RefTrajectory, 'XData',x_des(1:i), 'YData',y_des(1:i));
108 set(PLOT.Robot, 'XData',his.X(1,:), 'YData',his.X(2,:));
109
110 A.Rot = [ cos(X(3)) -sin(X(3)); sin(X(3)) cos(X(3))] * A.P; %rotated car
111 A.Prot_trasl = A.Rot + [ ones(1,4)*X(1); ones(1,4)*X(2)]; % add offset of car's center
112 A.P_robot.XData=A.Prot_trasl(1,:);
113 A.P_robot.YData=A.Prot_trasl(2,:);
114 drawnow
115
116
117 end

```



**Figure 10.7:** Résultat de simulation

# Chapitre 11

## Localisation et Cartographie

Concernant la localisation et cartographie on va simuler le filtre de Kalman étendu.

### 11.1 Filtre Kalman étendu

```
1 close all
2 clear
3
4 rad = pi/180.0;
5 global v w X_predicted goal_reached current_pose goalx goaly;
6 syms x_p y_p phi_p v w
7
8 a1=0.19;
9 a2=0.19;
10 a3=0.16;
11 a4=0.16;
12
13 covariance=zeros(3,3);
14
15 map_obs();
16
17 goalx = [ -20 -5 ];
18 goaly = [ -7 20];
19
20 % ObstacleX = [-20 -20 -5 30 30 8];
21 % ObstacleY = [-25 0 25 -25 0 25];
22
23 x_p = 2.5;
24 y_p = -20;
25 phi_p = pi/2;
26
27 previous_pose=[x_p;y_p;phi_p];
28 X=previous_pose;
29 X_predicted=X;
```

```

30 previous_pose_predicted=X_predicted;
31 delt=1;
32
33 %cov_p=[0 0 0;0 0 0; 0 0 0];
34
35
36 circle_draw([X(1) X(2)] ,1);
37 x=[X(1) X(1)+3*cos(X(3))];
38 y=[X(2) X(2)+3*sin(X(3))];
39 line(x,y,'color','g');
40
41 circle_draw([X_predicted(1) X_predicted(2)] ,1);
42 x=[X_predicted(1) X_predicted(1)+3*cos(X_predicted(3))];
43 y=[X_predicted(2) X_predicted(2)+3*sin(X_predicted(3))];
44 line(x,y,'color','r');
45
46 %f=[x_p+v*cos(phi_p+w);y_p+v*sin(phi_p+w);phi_p+w];
47 hold off;
48 goal_reached=[0 0];
49
50 count=0;
51
52
53 for j=1:2
54
55 current_pose=X_predicted;
56 movebase(j);
57 while goal_reached(j)~=1
58
59 count=count+1;
60 map_obs();
61
62 %axis ([-50 50 -50 50]);
63
64 v=0.65;
65 if(count<=12)
66 w=0.08;
67 else
68 w=0;
69 end;
70 %pause;
71
72 %v=input('enter velocity');
73 % w=input('enter angle');
74 % w=w*rad*(-1.0);
75 % r=[1 0;0 1];
76 r=[(a1*abs(v)+a2*abs(w))^2 0;
77 0 (a3*abs(v)+a4*abs(w))^2];
78 ran=mvnrnd([v w],r);
79 v_actual=ran(1);
80 w_actual=ran(2);
81 % ran=ran_gauss([0 0],r);
82
83 change_pose_p=[v*delt*cos(X_predicted(3)+w*delt);v*delt*sin(X_predicted(3)+w*delt);w*delt];
84 X_predicted=previous_pose_predicted+change_pose_p;
85 f_jac=[ 1 0 -v*delt*sin(previous_pose_predicted(3)+delt*w);
86 0 1 delt*v*cos(previous_pose_predicted(3)+delt*w);
87 0 0 1];
88 g=[ delt*cos(previous_pose_predicted(3) + delt*w) -delt^2*v*sin(previous_pose_predicted(3) + delt*w);
89 delt*sin(previous_pose_predicted(3) + delt*w) delt^2*v*cos(previous_pose_predicted(3) + delt*w);
90 0 delt];
91 covariance =f_jac*covariance*f_jac'+g*r*g';
92
93
94
95 % disp(v);

```

```

96 % disp(w);
97 % disp(r);
98 % disp(p_pose(3));
99
100 change_pose=[v_actual*delt*cos(X(3))+w_actual*delt];v_actual*delt*sin(X(3)+w_actual*delt];w_actual*delt];
101 X=previous_pose+change_pose;
102
103 %
104
105
106
107 % disp(f(1));
108 % disp(f(2));
109 % disp(f(3));
110 % phi_p=phi_p+w*delt;
111 % disp(phi_p);
112
113 ObstacleX=[-20 -20 -5 30 30 8];
114 ObstacleY=[-25 0 25 -25 0 25];
115
116 %disp(f);
117 %disp(f_p);
118 temp=X;
119
120 %
121
122 X
123 X_predicted
124 sum_1=zeros(3,1);
125 sum_2=zeros(3,3);
126 detected=0;
127 for i=1:6
128
129     q=(ObstacleX(i)-X(1))^2+(ObstacleY(i)-X(2))^2;
130     if sqrt(q)<12.0
131
132         detected=2;
133         % disp('inside');
134         disp(i);
135         Q=[0.02 0 0;
136            0 0.05 0;
137            0 0 0.09];
138         % disp('inside if');
139         % disp(sqrt(q));
140         q_predicted=(ObstacleX(i)-X_predicted(1))^2+(ObstacleY(i)-X_predicted(2))^2;
141         z_predicted=sqrt(q_predicted);
142         atan2(ObstacleY(i)-X_predicted(2),ObstacleX(i)-X_predicted(1))-X_predicted(3);
143         0];
144         z_actual=[sqrt(q);atan2(ObstacleY(i)-X(2),ObstacleX(i)-X(1))-X(3);0];
145         %disp(z_pre);
146
147
148         H=[-(ObstacleX(i)-X_predicted(1))/sqrt(q_predicted) -(ObstacleY(i)-X_predicted(2))/sqrt(
149             q_predicted) 0;
150             (ObstacleY(i)-X_predicted(2))/q_predicted -(ObstacleX(i)-X_predicted(1))/q_predicted -1/
151             q_predicted;
152             0 0 0];
153         S=H*covariance*H'+Q;
154         K=(covariance*H')/(S);
155         %K=(covariance)*pinv(S);
156         sum_1=sum_1+K*(z_actual-z_predicted);
157         sum_2=sum_2+K*H;
158         %X_predicted=X_predicted+K*(z_actual-z_predicted);
159
160         % covariance=(eye(3)-K*H)*covariance;
161         %X_predicted;

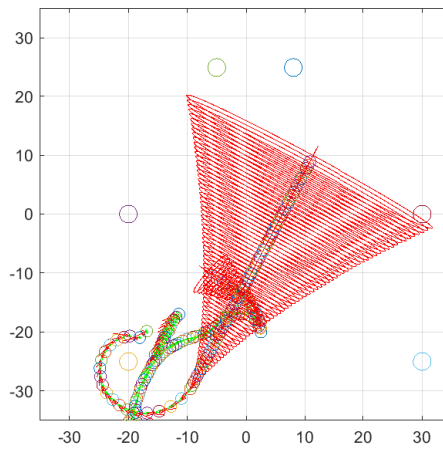
```

```

160     end;
161
162     end;
163     t_covv=covariance(1:2,1:2);
164     [b,d]=eig(t_covv);
165     dir=[cos(0:0.1:2*pi);sin(0:0.1:2*pi)];
166     el=b*sqrtm(d)*dir;
167     x=[X_predicted(1);X_predicted(2)];
168     el=[el el(:,1)]+ repmat(x,1,size(el,2)+1);
169     plot(el(1,:),el(2,:),'color','r');
170
171     if detected==2
172
173         X_predicted=X_predicted+sum_1;
174         covariance=(eye(3)-sum_2)*covariance;
175     end;
176
177     circle_draw([temp(1) temp(2)] ,1);
178     x=[temp(1) temp(1)+3*cos(temp(3))];
179     y=[temp(2) temp(2)+3*sin(temp(3))];
180     line(x,y,'color','g');
181
182     circle_draw([X_predicted(1) X_predicted(2)] ,1);
183     x=[X_predicted(1) X_predicted(1)+3*cos(X_predicted(3))];
184     y=[X_predicted(2) X_predicted(2)+3*sin(X_predicted(3))];
185     line(x,y,'color','r');
186     if(detected==2)
187         detected=0;
188         t_covv=covariance(1:2,1:2);
189         [b,d]=eig(t_covv);
190         dir=[cos(0:0.1:2*pi);sin(0:0.1:2*pi)];
191         el=b*sqrtm(d)*dir;
192         x=[X_predicted(1);X_predicted(2)];
193         el=[el el(:,1)]+ repmat(x,1,size(el,2)+1);
194         plot(el(1,:),el(2,:),'color','g');
195
196     end;
197     mov(count)=getframe();
198     % movie2avi(mov,'ekf.avi','fps',2);
199     pause(0.1);
200     % close all;
201
202
203
204
205     %disp(covv);
206
207     %disp(d);
208     %disp(v);
209     %
210     %
211     % %     change_pose(1)=v*cos(p_pose(3)+w*rad);
212     % %     change_pose(2)=v*sin(p_pose(3)+w*rad);
213     % %     change_pose(3)=w*rad;
214     % %
215     % %     present_pose=p_pose+change_pose;
216     %
217     %
218     %
219     previous_pose_predicted=X_predicted;
220     previous_pose=X;
221     movebase(j);
222 end
223 end

```





**Figure 11.1:** Résultat de simulation

# Chapitre 12

## l'évitement des obstacles

Maintenant on s'intéresse au algorithme de bug pour l'évitement des obstacles et on va faire une simple simulation .

### 12.1 L'algorithme de Bug

```
1 % Bug 1 test script
2 % algorithm should circle each obstacle, remember the closest location to goal
3 % return to that location and move towards goal from there
4
5 clear
6 start = [0 0]; goal = [5 3];
7 ss = .1;
8 obs = {[1 2], [1 0], [3 0]; [2 3] [4 1] [5 2]};
9
10
11 [path, dist_T] = computeBug1(start, goal, obs, ss)
12
13 figure
14 plot(path(:,1),path(:,2))
15
16 figure
17 plot(dist_T)
```

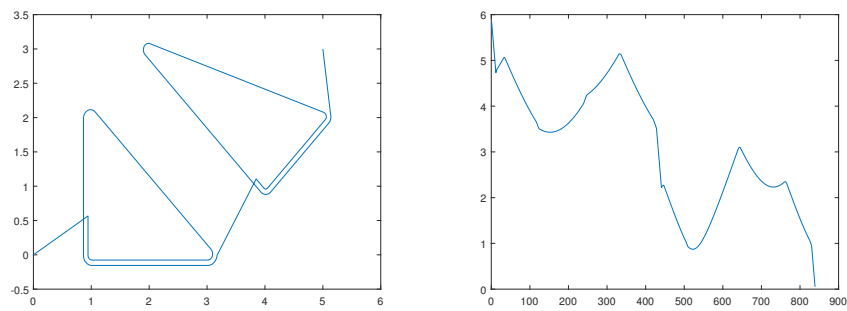


Figure 12.1: Résultat de simulation

# Chapitre 13

## planification du parcours

Dans ce chapitre on va simuler la planification du parcours on utilisant differents methodes.

### 13.1 la décomposition des cellules

Maintenant, nous sommes en train de simuler la planification du parcours on utilisant la methode de la decomposition cellulaire sous un planificateur GUI.

```
1 %% Version 1.0
2 %% NOTE
3 % uncomplete version
4 %%%%%%%%%%%%%%%%%%%%%%%%%%%%%%%%%%%%%%%%%%
5 % Reload obstacles maps
6 % when compute adjecent cells
7 %% Created by Ahmad Abbadi
8 % VUT Brno
9 % UAI, FME
10 %% FOR AUTHOR USE:
11 %version 1.x5 of this software used for scientific papers :
12 %1- ABBADI, A.; MATOU EK, R.; O MERA, P.; KNISPEL, L. SPATIAL GUIDANCE TO RRT PLANNER USING CELL-
    DECOMPOSITION ALGORITHM.%In 20th International Conference on Soft Computing, MENDEL 2014.%Mendel
    Journal series. 2014. Brno: VUT, 2014. s. 273–278. ISBN: 978–80–214–4984– 8. ISSN: 1803– 3814.
13 %2- A. Abbadi and R. Matousek, PATH PLANNING IMPLEMENTATION USING MATLAB, presented at the
    International Conference of Technical Computing Bratislava 2014, Bratislava, 2014, pp. 1 5 .DOI
    :10.13140/2.1.3324.5767,%ISBN:978–80–7080–898–6
14
15 %%
16 % folderpath=pwd;
17 % addpath(strcat(folderpath,'/_code'));
18 % addpath(strcat(folderpath,'/_gui'));
```

```

19 % addpath(strcat(folderpath, '/_code/_polygon'));
20 % addpath(strcat(folderpath, '/_code/_polygon/_xternal'));
21 addpath(genpath(pwd));
22 planner_GUI;
23 clear folderpath;
24 clc

```

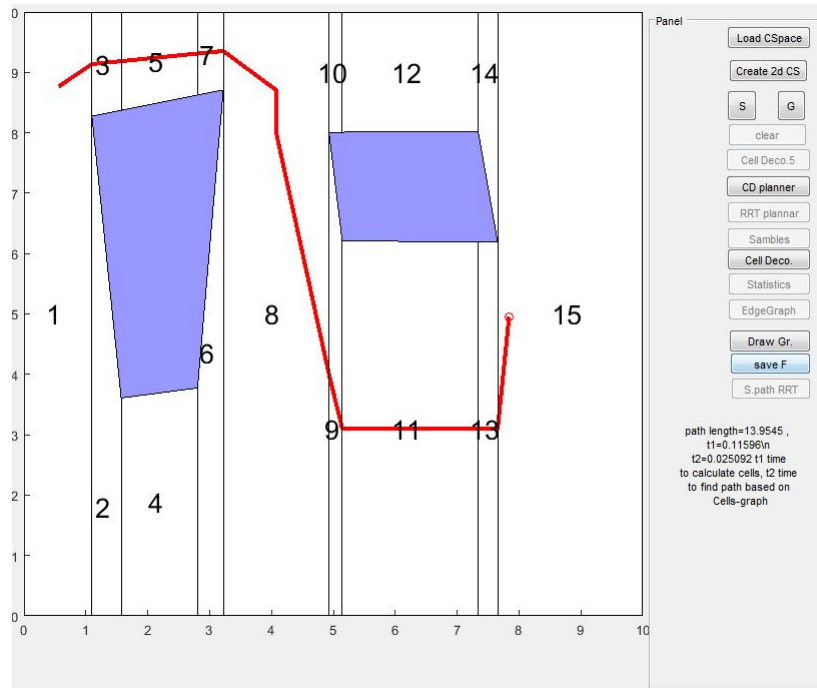


Figure 13.1: Le Planificateur GUI

## 13.2 le champ potentiel

Puis nous sommes allés à la simulation de la planification du parcours on utilisant la methode du champ potentiel.

```

1 %
2 % PotentialFieldScript.m
3 %
4
5 %% Generate some points
6
7 nrows = 400;
8 ncols = 600;
9
10 obstacle = false(nrows, ncols);
11
12 [x, y] = meshgrid(1:ncols, 1:nrows); % note that x refers to the horizontal axis (1:ncols), y to
    vertical (1:nrows)
13 % [X,Y] = meshgrid(xgv,ygv) replicates the grid vectors xgv and ygv to
14 % produce the coordinates of a rectangular grid (X, Y). The grid vector

```

```

15 %   xgv is replicated numel(ygv) times to form the rows of X. The grid
16 %   vector ygv is replicated numel(xgv) times to form the columns of Y.
17 %% Generate some obstacle
18
19 obstacle (300:end, 100:250) = true;           % rectangular
20 obstacle (150:200, 400:500) = true;         % rectangular
21
22 t = ((x - 200).^2 + (y - 50).^2) < 50^2;     % a circle centered at (200, 50), radius = 50
23 obstacle(t) = true;
24
25 t = ((x - 400).^2 + (y - 300).^2) < 100^2;   % a circle, (400, 300), r=100
26 obstacle(t) = true;
27
28 %% Compute distance transform
29
30 d = bwdist(obstacle);
31 % D = bwdist(BW) computes the Euclidean distance transform of the
32 % binary image BW. For each pixel in BW, the distance transform assigns
33 % a number that is the distance between that pixel and the nearest
34 % nonzero pixel of BW. bwdist uses the Euclidean distance metric by
35 % default. BW can have any dimension. D is the same size as BW.
36
37 % Rescale and transform distances
38 d2 = (d/100) + 1;
39
40 d0 = 2;
41 nu = 800;
42
43 repulsive = nu*((1./d2 - 1/d0).^2); % every point (x, y) on 2D space has a repulsive value. repulsive is a
44     matrix.
45
46 repulsive (d2 > d0) = 0;           % d0 is like a threshold and repulsive force is 0 when distance from
47     obstacle < d0
48
49 %% Display repulsive potential
50 figure;
51
52 % mesh(Z) and mesh(Z,C) use x = 1:n and y = 1:m. In this case, the height,
53 % Z, is a single-valued function, defined over a geometrically rectangular
54 % grid.
55 m = mesh (repulsive);
56 m.FaceLighting = 'phong';
57 axis equal;
58
59 title ('Potential de r pulsion');
60
61 %% Compute attractive force
62
63 goal = [400, 50];
64
65 xi = 1/700;
66
67 attractive = xi * ( (x - goal(1)).^2 + (y - goal(2)).^2 ); % every point on 2D space has an attractive
68     force value
69
70 figure;
71 m = mesh (attractive);
72 m.FaceLighting = 'phong';
73 axis equal;
74
75 title ('Potential d ''attractivit');
76
77 %% Display 2D configuration space

```

```

78 figure;
79 imshow(~obstacle);
80 % imshow(BW) displays the binary image BW. imshow displays pixels with the
81 % value 0 (zero) as black and pixels with the value 1 as white.
82 hold on;
83 plot(goal(1), goal(2), 'r.', 'MarkerSize', 25);
84 hold off;
85
86 axis([0 ncols 0 nrows]);
87 axis xy;
88 axis on;
89
90 xlabel('x');
91 ylabel('y');
92
93 title('Espace de configuration');
94
95 %% Combine terms
96
97 f = attractive + repulsive;
98
99 figure;
100 m = mesh(f);
101 m.FaceLighting = 'phong';
102 axis equal;
103
104 title('Potentiel total');
105
106 %% Plan route
107 start = [50, 350];
108
109 route = GradientBasedPlanner(f, start, goal, 1000);
110
111 %% Plot the energy surface
112
113 figure;
114 m = mesh(f);
115 axis equal;
116
117 %% Plot ball sliding down hill
118
119 [sx, sy, sz] = sphere(20);
120
121 scale = 20;
122 sx = scale*sx;
123 sy = scale*sy;
124 sz = scale*(sz+1);
125
126 hold on;
127 p = mesh(sx, sy, sz);
128 p.FaceColor = 'red';
129 p.EdgeColor = 'none';
130 p.FaceLighting = 'phong';
131 hold off;
132
133 for i = 1:size(route,1)
134     P = round(route(i,:));
135     z = f(P(2), P(1));
136
137     p.XData = sx + P(1);
138     p.YData = sy + P(2);
139     p.ZData = sz + f(P(2), P(1));
140
141     drawnow;
142
143     drawnow;

```

```

144
145 end
146
147 %% quiver plot
148 [gx, gy] = gradient(-f);
149 skip = 20;
150
151 figure;
152
153 xidx = 1:skip:ncols;
154 yidx = 1:skip:nrows;
155
156 quiver(x(yidx,xidx), y(yidx,xidx), gx(yidx,xidx), gy(yidx,xidx), 0.4);
157
158 axis([1 ncols 1 nrows]);
159
160 hold on;
161
162 ps = plot(start(1), start(2), 'r.', 'MarkerSize', 30);
163 pg = plot(goal(1), goal(2), 'g.', 'MarkerSize', 30);
164 p3 = plot(route(:,1), route(:,2), 'r', 'LineWidth', 2);

```

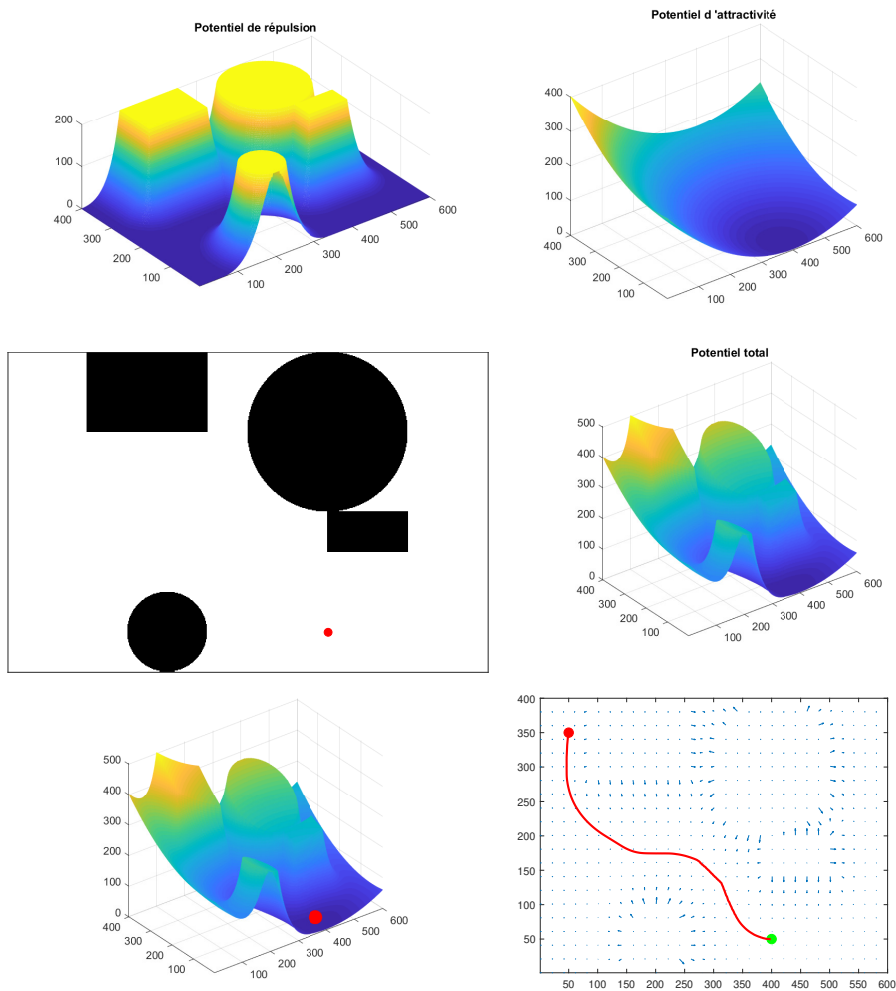


Figure 13.2: Résultat de simulation



## 13.3 la planification du parcours en utilisant la logique floue

Nous l'avons fait aussi la simulation de la planification du parcours on utilisant la logique floue.

```

1  % Rahul Kala, IIIT Allahabad, Creative Commons Attribution-ShareAlike 4.0 International License.
2  % The use of this code, its parts and all the materials in the text; creation of derivatives and their
   publication; and sharing the code publically is permitted without permission.
3  % Please cite the work in all materials as: R. Kala (2014) Code for Robot Path Planning using Fuzzy Logic,
   Indian Institute of Information Technology Allahabad, Available at: http://rkala.in/codes.html
4
5  map=int16(im2bw(imread('map1.bmp'))); % input map read from a bmp file. for new maps write the file name
   here
6  source=[20 20]; % source position in Y, X format
7  goal=[480 480]; % goal position in Y, X format
8  robotDirection=pi/4; % initial heading direction
9  robotSize=[10 10]; %length and breadth
10 robotSpeed=10; % arbitrary units
11 maxRobotSpeed=10; % arbitrary units
12 S=10; % safety distance
13 distanceThreshold=30; % a threshold distace. points within this threshold can be taken as same.
14 maxAcceleration=10; % maximum speed change per unit time
15 directionScaling=60*pi/180; % fuzzy outputs to turn are restricct to -1 and 1. these are magnified here.
   maximum turn can be 60 degrees
16
17 %%%% parameters end here %%%%
18
19 fuz=readfis('fuzzyBase.fis'); % fuzzy inference system used. to read/edit use fuzzy(readfis('fuzzyBase.fis
   ')) at the command line
20 distanceScaling=(size(map,1)^2+size(map,2)^2)^0.5; % all inputs are scaled by this number so that all
   distance inputs are between 0 and 1. maximum distance can be distanceScaling
21 currentPosition=source; % position of the centre of the robot
22 currentDirection=robotDirection; % direction of orientation of the robot
23 robotHalfDiagonalDistance=((robotSize(1)/2)^2+(robotSize(2)/2)^2)^0.5; % used for distance calculations
24 pathFound=false; % has goal been reached
25 prevTurn=0; % preffered turn at the previous time step, used for turning heuristic, see variable turn being
   set below.
26 prevDistanceLeftDiagonal=distanceScaling; % diagonal distance at the previous time step, used for tracking
   obstacles, used for turning heuristic, see variable turn being set below.
27 prevDistanceRightDiagonal=distanceScaling; % diagonal distance at the previous time step, used for tracking
   obstacles, used for turning heuristic, see variable turn being set below.
28 pathCost=0;
29 t=1;
30 imshow(map==1);
31 rectangle('position',[1 1 size(map)-1],'edgecolor','k');
32 pathLength=0;
33 if ~plotRobot(currentPosition,currentDirection,map,robotHalfDiagonalDistance)
34     error('source lies on an obstacle or outside map');
35 end
36 M(t)=getframe;
37 t=t+1;
38
39 if ~feasiblePoint(goal,map), error('goal lies on an obstacle or outside map'); end
40
41 tic;
42 while ~pathFound
43
44     % calculate distance from obstacle at front
45     for i=robotSize(1)/2+1:distanceScaling
46         x=int16(currentPosition+i*[sin(currentDirection) cos(currentDirection)]);
47         if ~feasiblePoint(x,map), break; end

```

```

48     end
49     distanceFront=(i-robotSize(1)/2)/distanceScaling; % robotSize(1)/2 distance included in i was inside
        the robot body
50
51     % calculate distance from obstacle at front-left diagonal
52     for i=robotHalfDiagonalDistance+1:distanceScaling
53         x=int16(currentPosition+i*[sin(currentDirection-pi/4) cos(currentDirection-pi/4)]);
54         if ~feasiblePoint(x,map), break; end
55     end
56     distanceFrontLeftDiagonal=(i-robotHalfDiagonalDistance)/distanceScaling;
57
58     % calculate distance from obstacle at front-right diagonal
59     for i=robotHalfDiagonalDistance+1:distanceScaling
60         x=int16(currentPosition+i*[sin(currentDirection+pi/4) cos(currentDirection+pi/4)]);
61         if ~feasiblePoint(x,map), break; end
62     end
63     distanceFrontRightDiagonal=(i-robotHalfDiagonalDistance)/distanceScaling;
64
65     % calculate angle deviation to goal
66     slopeGoal=atan2(goal(1)-currentPosition(1),goal(2)-currentPosition(2));
67     angleGoal=slopeGoal-currentDirection;
68     while angleGoal>pi, angleGoal=angleGoal-2*pi; end % check to get the angle between -pi and pi
69     while angleGoal<-pi, angleGoal=angleGoal+2*pi; end % check to get the angle between -pi and pi
70     angleGoal=angleGoal/pi; % re-scaling the angle as per fuzzy modelling
71
72     % calculate distance from goal
73     distanceGoal=( sqrt(sum((currentPosition-goal).^2)) )/distanceScaling;
74     if distanceGoal*distanceScaling<distanceThreshold, pathFound=true; end
75
76     % calculate preferred turn.
77     % this indicates, if the front obstacle is far away, turn so as to more face the goal
78     % if the front obstacle is close and a new front obstacle is encountered, turn using the side of the
        goal is preferred
79     % if the front obstacle is close and the same obstacle as encountered in the previous step is found,
        same turn is made
80     if (prevTurn==0 || prevTurn==1) && distanceFront<0.1 && (distanceFrontLeftDiagonal-
        prevDistanceLeftDiagonal)*distanceScaling<maxRobotSpeed, turn=1;
81     elseif prevTurn==1 && distanceFront<0.1 && (distanceFrontRightDiagonal-prevDistanceRightDiagonal)*
        distanceScaling<maxRobotSpeed, turn=-1;
82     else turn=(angleGoal>=0)*1+(angleGoal<0)*(-1);prevTurn=turn;
83     end
84     prevDistanceLeftDiagonal=distanceFrontRightDiagonal;
85     prevDistanceRightDiagonal=distanceFrontLeftDiagonal;
86
87     % pass all computed inputs to a fuzzy inference system
88     computedSteer=evalfis([distanceFront distanceFrontLeftDiagonal distanceFrontRightDiagonal angleGoal
        turn distanceGoal],fuz);
89     currentDirection=currentDirection+computedSteer*directionScaling;
90
91     % speed is set based on the front and diagonal distance so as not to make the robot collide, but make
        it slow and even stop before possible collision
92     % distances here include additional safety distance of S
93     distanceFrontSafety=max([distanceFront*distanceScaling-S 0]);
94     distanceFrontLeftDiagonalSafety=max([distanceFrontLeftDiagonal*distanceScaling-S 0]);
95     distanceFrontRightDiagonalSafety=max([distanceFrontRightDiagonal*distanceScaling-S 0]);
96
97     % maximum speeds admissible as per the above safety distance
98     maxSpeed1=min([sqrt(2*maxAcceleration*distanceFrontSafety) maxRobotSpeed]);
99     maxSpeed2=min([sqrt(maxAcceleration*distanceFrontLeftDiagonalSafety) maxRobotSpeed]);
100    maxSpeed3=min([sqrt(maxAcceleration*distanceFrontRightDiagonalSafety) maxRobotSpeed]);
101    maxSpeed=min([maxSpeed1 maxSpeed2 maxSpeed3]);
102
103    % setting the speed based on vehicle acceleration and speed limits. the vehicle cannot move backwards.
104    preferredSpeed=min([robotSpeed+maxAcceleration maxSpeed]);
105    robotSpeed=max([robotSpeed-maxAcceleration preferredSpeed]);
106    robotSpeed=min([robotSpeed maxRobotSpeed]);

```

```

107     robotSpeed=max([robotSpeed 0]);
108
109     if robotSpeed==0, error('robot had to stop to avoid collision'); end
110
111     % calculating new position based on steer and speed
112     newPosition=currentPosition+robotSpeed*[sin(currentDirection) cos(currentDirection)];
113     pathCost=pathCost+distanceCost(newPosition,currentPosition);
114     currentPosition=newPosition;
115     if ~feasiblePoint(int16(currentPosition),map), error('collision recorded'); end
116
117     % plotting robot
118     if ~plotRobot(currentPosition,currentDirection,map,robotHalfDiagonalDistance)
119         error('collision recorded');
120     end
121     M(t)=getframe;t=t+1;
122 end
123 fprintf('processing time=%d \nPath Length=%d \n\n', toc,pathCost);

```

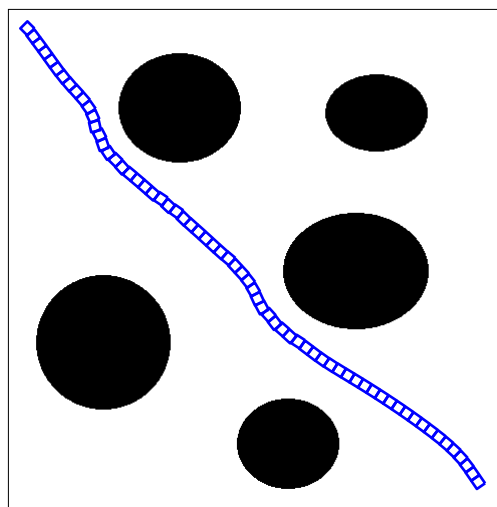


Figure 13.3: Résultat de simulation

## 13.4 la planification du parcours en utilisant l'algorithme de Dijkstra

Dans le même contenu, nous avons également faire la simulation de la planification du parcours on utilisant la methode de Dijkstra .

```

1 %% File Information
2 %! @author Yash Bansod
3 %! @file dijkstra.m
4 %! @date 15th September 2017
5 %! @breif This demonstrates the dijkstra path planning algorithm
6
7 %% Initialize the maps, color maps, start points and destination points
8 input_map = false(10); % Create an Input Map
9 input_map(3:9, 5:7) = 1; % Add an obstacle

```

```

10 start_coords = [6, 1];           % Save the location of start coordinate
11 dest_coords = [8, 9];          % Save location of destination coordinate
12 cmap = [1 1 1;                 % Create a color map
13         0 0 0;
14         1 0 0;
15         0 0 1;
16         0 1 0;
17         1 1 0;
18         0.5 0.5 0.5];
19 colormap(cmap);                % Sets the colormap for the current figure
20 [nrows, ncols] = size(input_map); % Save the size of the input_map
21
22 map = zeros(nrows,ncols);       % Create map to save the states of each grid cell
23 map(~input_map) = 1;            % Mark free cells on map
24 map(input_map) = 2;             % Mark obstacle cells on map
25 start_node = sub2ind(size(map), start_coords(1), start_coords(2)); % Generate linear indices of start
    node
26 dest_node = sub2ind(size(map), dest_coords(1), dest_coords(2)); % Generate linear indices of dest
    node
27 map(start_node) = 5;           % Mark start node on map
28 map(dest_node) = 6;           % Mark destination node on map
29
30 % Initialize distance from start array to infinity
31 distanceFromStart = Inf(nrows,ncols);
32
33 % Create a map that holds the index of its parent for each grid cell
34 parent = zeros(nrows, ncols);
35
36 distanceFromStart(start_node) = 0; % distance of start node is zero
37
38 image(1.5, 1.5, map);
39 grid on;                        % Display grid lines
40 axis image;                      % Set axis limits
41 drawnow;                          % Update figure
42
43 drawMapEveryTime = true;         % To see how nodes expand on the grid
44
45 %% Process the map to update the parent information and distance from start
46 while true                       % Create an infinite loop
47     map(start_node) = 5;          % Mark start node on map
48     map(dest_node) = 6;          % Mark destination node on map
49
50     if (drawMapEveryTime)
51         image(1.5, 1.5, map);
52         grid on;                  % Display grid lines
53         axis image;                % Set axis limits
54         drawnow;                    % Update figure
55     end
56
57     % Find the node with the minimum distance
58     [min_dist, current] = min(distanceFromStart(:));
59     % Compute row, column coordinates of current node from linear index
60     [i, j] = ind2sub(size(distanceFromStart), current);
61
62     % Create an exit condition for the infinite loop to end
63     if ((current == dest_node) || isinf(min_dist)) break
64     end
65
66     % Update distance value of element right of current element
67     if (i+1 <= nrows && distanceFromStart(i+1, j) > min_dist + 1)
68         if (parent(i+1, j) == 0 && input_map(i+1,j)~=1 && parent(current)~= sub2ind(size(map), i+1, j))
69             distanceFromStart(i+1, j) = min_dist + 1;
70             map(sub2ind(size(map), i+1, j)) = 4; % Mark the neighbour of current as processing
71             parent(i+1, j)= current;
72         end
73     end

```

```

74
75 % Update distance value of element left of current element
76 if (i-1 >= 1 && distanceFromStart(i-1, j) > min_dist + 1)
77     if (parent(i-1, j) == 0 && input_map(i-1,j)~=1 && parent(current)~= sub2ind(size(map), i-1, j))
78         distanceFromStart(i-1, j) = min_dist + 1;
79         map(sub2ind(size(map), i-1, j)) = 4; % Mark the neighbour of current as processing
80         parent(i-1, j)= current;
81     end
82 end
83
84 % Update distance value of element top of current element
85 if (j-1 >= 1 && distanceFromStart(i, j-1) > min_dist + 1)
86     if (parent(i, j-1) == 0 && input_map(i,j-1)~=1 && parent(current)~= sub2ind(size(map), i, j-1))
87         distanceFromStart(i, j-1) = min_dist + 1;
88         map(sub2ind(size(map), i, j-1)) = 4; % Mark the neighbour of current as processing
89         parent(i, j-1)= current;
90     end
91 end
92
93 % Update distance value of element bottom of current element
94 if (j+1 <= ncols && distanceFromStart(i, j+1) > min_dist + 1)
95     if (parent(i, j+1) == 0 && input_map(i,j+1)~=1 && parent(current)~= sub2ind(size(map), i, j+1))
96         distanceFromStart(i, j+1) = min_dist + 1;
97         map(sub2ind(size(map), i, j+1)) = 4; % Mark the neighbour of current as processing
98         parent(i, j+1)= current;
99     end
100 end
101
102 distanceFromStart(current) = -log(0); % change the distance of current from start as infinity
103 map(current) = 3; % mark the current point as processed
104 end
105
106 %% Construct route from start to dest by following the parent links
107 if (isinf(distanceFromStart(dest_node))) route = []; % if distance to destination node is infinity
108 else route = [dest_node]; % else backtrace the route from destination node
109 while (parent(route(1)) ~= 0) % check front of route for start node
110     route = [parent(route(1)), route]; % add parent of current node to front of route
111 end
112
113 for k = 2:length(route) - 1 % To visualize the map and the path
114     map(route(k)) = 7;
115     pause(0.001); % Pause the code for a while
116     image(1.5, 1.5, map);
117     grid on; % Display grid lines
118     axis image; % Set axis lengths
119 end
120 end
121
122 % Add legends to the colormapped image
123 hold on;
124 for K = 1:7
125     hidden_h(K) = surf(zeros(2, 2), 'edgecolor', 'none', ...
126         'facecolor', cmap(K, :));
127 end
128 hold off
129
130 uistack(hidden_h, 'bottom');
131 legend(hidden_h, {'Espace libre', 'obstacles', 'n uds ferm s', ...
132     'n uds ouverts', 'n ud de d part', 'n ud de but', 'le plus court chemin'} )

```

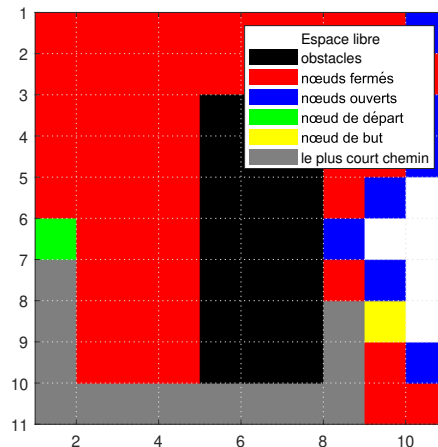


Figure 13.4: Résultat de simulation

## 13.5 la planification du parcours en utilisant l'algorithme de A\*

Nous avons également abordé a la simulation de la planification du parcours on utilisant la methode de A\*.

```

1 %%
2 %   Author: Yash Bansod
3 %
4 %   GitHub: <https://github.com/YashBansod>
5
6 %% Clear the environment and the command line
7 clear;
8 close all;
9 clc;
10
11 %% Initialize the maps, color maps, start points and destination points
12 map_size = [20, 20];
13 input_map = false(map_size);           % Create an Input Map
14
15 input_map (6:7, 8:9) = 1;               % Add an obstacle
16 input_map (6:9, 12) = 1;               % Add another obstacle
17 input_map (12, 5:10) = 1;               % Add another obstacle
18 input_map (13:14, 13:16) = 1;          % Add another obstacle
19 input_map (16:18, 6:8) = 1;            % Add another obstacle
20 input_map (4:6, 17:18) = 1;            % Add another obstacle
21
22 start_coords = [3, 6];                  % Save the location of start coordinate
23 dest_coords = [18, 15];                 % Save location of destination coordinate
24
25 drawMapEveryTime = true;                % To see how nodes expand on the grid
26
27 cmap = [1   1   1;                     % Create a color map
28         0   0   0;
29         1   0   0;
30         0   0   1;

```

```

31     0  1  0;
32     1  1  0;
33     0.5 0.5 0.5];
34
35 colormap(cmap);           % Sets the colormap for the current figure
36 [nrows, ncols] = size(input_map); % Save the size of the input_map
37
38 map = zeros(nrows,ncols); % Create map to save the states of each grid cell
39 map(~input_map) = 1;      % Mark free cells on map
40 map(input_map) = 2;      % Mark obstacle cells on map
41
42 start_node = sub2ind(size(map), start_coords(1), start_coords(2)); % Generate linear indices of start
   node
43 dest_node = sub2ind(size(map), dest_coords(1), dest_coords(2)); % Generate linear indices of dest
   node
44
45 map(start_node) = 5;      % Mark start node on map
46 map(dest_node) = 6;      % Mark destination node on map
47
48 distanceFromStart = Inf(nrows,ncols); % Initialize distance from start array to infinity
49 distanceFromEnd = Inf(nrows,ncols); % Initialize distance from end array to infinity
50
51 parent = zeros(nrows, ncols); % Create a map for holding parent's index for each grid cell
52
53 distanceFromStart(start_node) = 0; % distance of start node from start is zero
54 distanceFromEnd(dest_node) = 0; % distance of end node from end is zero
55
56 % Update the values of all grid pixels for distance from end
57 [X, Y] = meshgrid(1:ncols, 1:nrows);
58 xd = dest_coords(1);
59 yd = dest_coords(2);
60 distanceFromEnd = abs(X - yd) + abs(Y - xd); % Manhattan Distance
61
62 image([0.5, map_size(1)-0.5], [0.5, map_size(2)-0.5], map);
63 ax = gca;
64 ax.YTick = 0:1:map_size(1);
65 ax.XTick = 0:1:map_size(2);
66 grid on; % Display grid lines
67 % drawnow limitrate nocallbacks; % Update figure
68 drawnow;
69
70 %% Process the map to update the parent information and distance from start
71 while true % Create an infinite loop
72     map(start_node) = 5; % Mark start node on map
73     map(dest_node) = 6; % Mark destination node on map
74
75     if (drawMapEveryTime)
76         image([0.5, map_size(1)-0.5], [0.5, map_size(2)-0.5], map);
77         ax = gca;
78         ax.YTick = 0:1:map_size(1);
79         ax.XTick = 0:1:map_size(2);
80         grid on; % Display grid lines
81         % drawnow limitrate nocallbacks; % Update figure
82         drawnow;
83     end
84
85     % Find the node with the minimum heuristic distance
86     heuristicDist = distanceFromStart + distanceFromEnd;
87     [min_dist, current] = min(heuristicDist(:));
88
89     % Compute row, column coordinates of current node from linear index
90     [i, j] = ind2sub(size(heuristicDist), current);
91
92     % Create an exit condition for the infinite loop to end
93     if ((current == dest_node) || isinf(min_dist))
94         break

```

```

95     end
96
97     % Update distance value of element right of current element
98     if (i+1 <= nrows && distanceFromStart(i+1, j) > distanceFromStart(i,j) + 1)
99         if (parent(i+1, j) == 0 && input_map(i+1,j)~=1 && parent(current)~= sub2ind(size(map), i+1, j))
100             distanceFromStart(i+1, j) = distanceFromStart(i,j) + 1;
101             map(sub2ind(size(map), i+1, j)) = 4;    % Mark the neighbour of current as processing
102             parent(i+1, j)= current;
103         end
104     end
105
106     % Update distance value of element left of current element
107     if (i-1 >= 1 && distanceFromStart(i-1, j) > distanceFromStart(i,j) + 1)
108         if (parent(i-1, j) == 0 && input_map(i-1,j)~=1 && parent(current)~= sub2ind(size(map), i-1, j))
109             distanceFromStart(i-1, j) = distanceFromStart(i,j) + 1;
110             map(sub2ind(size(map), i-1, j)) = 4;    % Mark the neighbour of current as processing
111             parent(i-1, j)= current;
112         end
113     end
114
115     % Update distance value of element top of current element
116     if (j-1 >= 1 && distanceFromStart(i, j-1) > distanceFromStart(i,j) + 1)
117         if (parent(i, j-1) == 0 && input_map(i,j-1)~=1 && parent(current)~= sub2ind(size(map), i, j-1))
118             distanceFromStart(i, j-1) = distanceFromStart(i,j) + 1;
119             map(sub2ind(size(map), i, j-1)) = 4;    % Mark the neighbour of current as processing
120             parent(i, j-1)= current;
121         end
122     end
123
124     % Update distance value of element bottom of current element
125     if (j+1 <= ncols && distanceFromStart(i, j+1) > distanceFromStart(i,j) + 1)
126         if (parent(i, j+1) == 0 && input_map(i,j+1)~=1 && parent(current)~= sub2ind(size(map), i, j+1))
127             distanceFromStart(i, j+1) = distanceFromStart(i,j) + 1;
128             map(sub2ind(size(map), i, j+1)) = 4;    % Mark the neighbour of current as processing
129             parent(i, j+1)= current;
130         end
131     end
132
133     distanceFromStart(current) = -log(0);    % change the distance of current from start as infinity
134     map(current) = 3;                        % mark the current point as processed
135 end
136
137 %% Construct route from start to dest by following the parent links
138 if (isinf(distanceFromStart(dest_node)))
139     route = [];    % if distance to destination node is infinity
140 else
141     route = [dest_node];    % else backtrace the route from destination node
142     while (parent(route(1)) ~= 0)    % check front of route for start node
143         route = [parent(route(1)), route];    % add parent of current node to front of route
144     end
145
146     for k = 2:length(route) - 1    % To visualize the map and the path
147         map(route(k)) = 7;
148         pause(0.001);    % Pause the code for a while
149         image([0.5, map_size(1)-0.5], [0.5, map_size(2)-0.5], map);
150         ax = gca;
151         ax.YTick = 0:1:map_size(1);
152         ax.XTick = 0:1:map_size(2);
153         grid on;    % Display grid lines
154         % drawnow limitrate nocallbacks; % Update figure
155         drawnow;
156     end
157 end
158
159 % Add legends to the colormapped image
160 hold on;

```



```

161 for K = 1:7
162     hidden_h(K) = surf(zeros(2, 2), 'edgecolor', 'none', ...
163         'facecolor', cmap(K, :));
164 end
165 hold off
166
167 uistack(hidden_h, 'bottom');
168 legend(hidden_h, {'Espace libre', 'obstacles', 'nuds ferm s', ...
169     'nuds ouverts', 'n ud de d part', 'n ud de but', 'le plus court chemin'} )

```

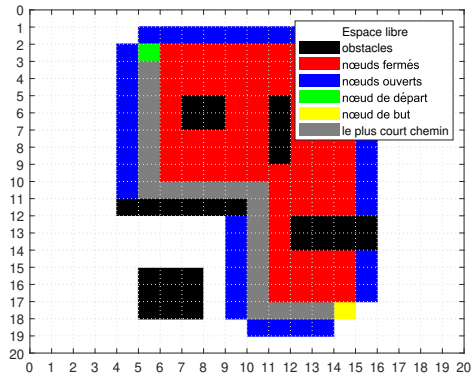


Figure 13.5: Résultat de simulation



## Quatrième partie **IV**

### Étude Pratique

# Chapitre 14

## La Réalisation

### 14.1 Le Matériel



Figure 14.1: Le Matériel utilisé

## 14.2 Branchements des différentes pièces du robot

On va maintenant présenter le branchement des différentes pièces du robot (l'ensemble du matériel exposé dans la section 14.1).

```

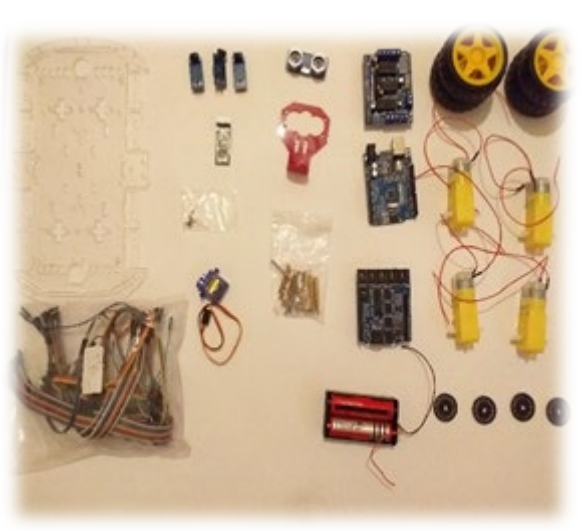
1  Capteur ultrason
2  * Vcc = 5V sur l Arduino
3  * Trig = pin 12 du Arduino
4  * Echo = pin 13 du Arduino
5  * Gnd = Gnd sur l Arduino
6
7  Bluetooth
8  * Vcc = 5V sur l Arduino
9  * RX = pin 1 (TX) de l Arduino
10 * TX = pin 0 (RX) de l Arduino
11 * Gnd = Gnd de l Arduino
12
13 Capteur de couleur gauche
14 * Vcc = 5V sur l Arduino
15 * Out = pin 7 de l Arduino
16 * Gnd = Gnd sur l Arduino
17
18 Capteur de couleur du milieu
19 * Vcc = 5V sur l Arduino
20 * Out = pin 4 de l Arduino
21 * Gnd = Gnd sur l Arduino
22
23 Capteur de couleur droit
24 * Vcc = 5V sur l Arduino
25 * Out = pin 3 de l Arduino
26 * Gnd = Gnd sur l Arduino
27
28 Drive de moteur L298N
29 * ENA = 5V sur l Arduino
30 * ENB = 5V sur l Arduino
31 * IN1 = pin 5 de l Arduino
32 * IN2 = pin 6 de l Arduino
33 * IN3 = pin 10 de l Arduino
34 * IN4 = pin 11 de l Arduino
35
36 * Connecteur a vis MOTORA = Placez la carte de fa on a lire le nom des connecteurs a l endroit et
   * branchez les deux fils rouge des moteurs gauche du cote droit du connecteur et les deux fils noirs
   * du cote gauche.
37 * Connecteur a vis MOTORB = Placez la carte de fa on a lire le nom des connecteurs a l endroit et
   * branchez les deux fils rouge des moteurs droit du cote droit du connecteur et les deux fils noirs du
   * cote gauche.
38 * Connecteur a vis VMS = fil denude rouge du socle pour batteries
39 * Connecteur a vis Gnd = fil denude noir du socle pour batteries
40 * On ne connecte rien sur les pins 5V de la drive de moteur
41
42 Socle pour batteries
43 * Connecteur = se branche dans le connecteur correspondant sur l Arduino

```

## 14.3 Installation Matérielle

### Etape 1 :

Pour commencer, nous allons présenter le matériel utilisé pour la réalisation du robot.



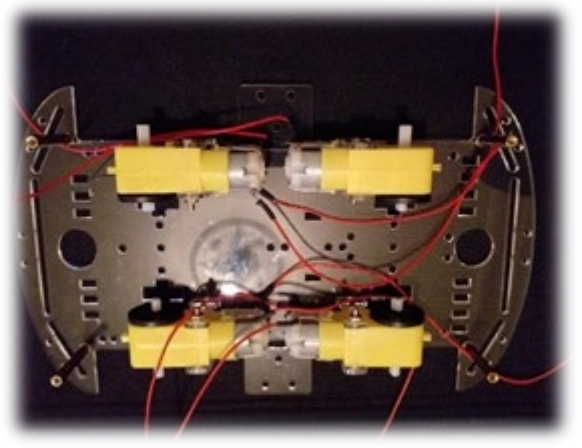
### Etape 2 :

Tout d'abord, fixez les quatre supports plastiques (ce sont des blocs Circulaire en noire) à chaque moteur à l'aide de deux longs boulons et de deux écrous.



### Etape 3 :

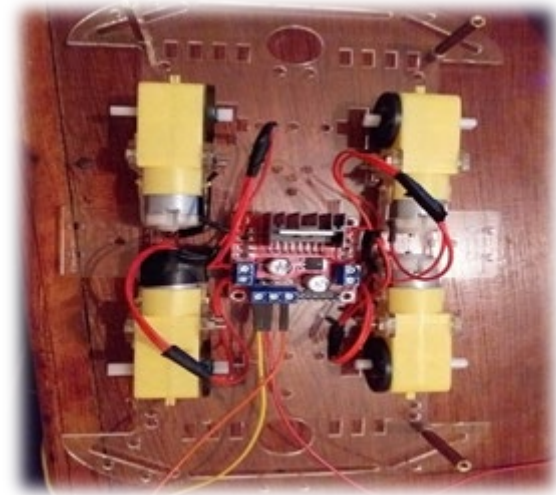
Maintenant, chaque moteur peut être fixé au châssis en utilisant deux boulons courts dans le bas de chaque support plastique. Voici une vue de la partie inférieure du châssis afin que vous puissiez voir où les boulons doivent être placés.



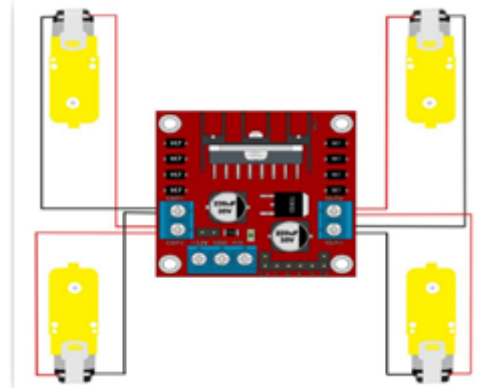
**Etape 4 :**

installer la plaque d'entraînement du moteur (motor drive L298N) : fixer la carte de commande du moteur (la carte rouge) au châssis.

Remarque : il est recommandé d'attendre que tous les fils soient fixés au pont en H avant de procéder à cette opération.

**Etape 4 :**

Connectez le câble moteur, diagramme de circuit.

**Etape 5 :**

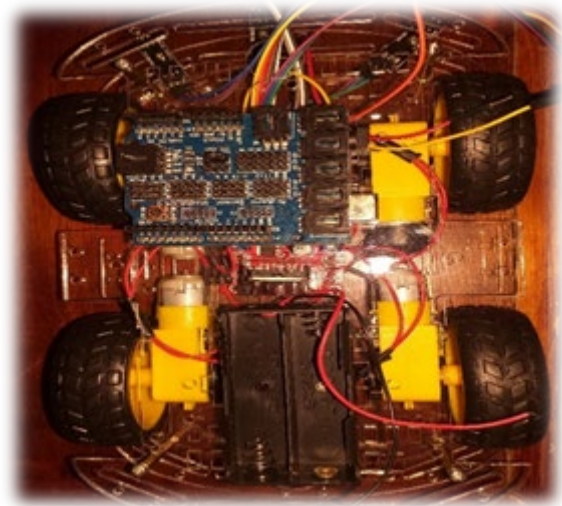
câblage de l'alimentation (boîte à batterie) sur la partie supérieure du châssis.

Fixation des roues : faites attacher les roues sur les arbres du moteur et fixez les quatre arbres aux endroits indiqués sur la photo ci-dessous. Ce robot commence à prendre forme !

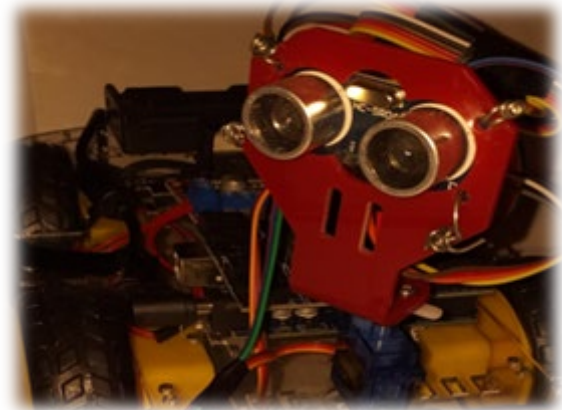


**Etape 6 :**

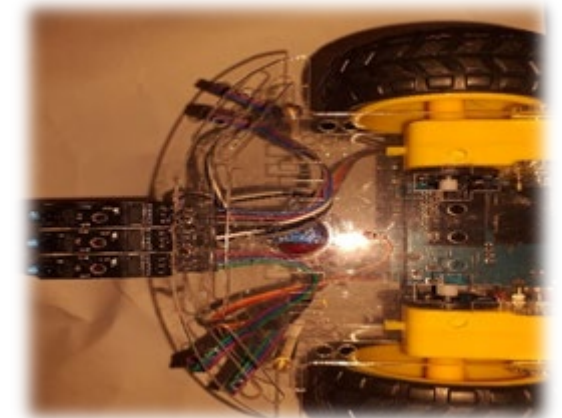
Attachez l'Arduino avec le shield v4.0 :  
Maintenant, mettez de côté la partie  
précédente du châssis et attrapez l'autre qui se  
trouvera au-dessus. Et mieux fixer le vôtre avec  
quelques boulons et écrous.

**Etape 7 :**

installer le servo moteur et le capteur  
d'ultrason.

**Etape 8 :**

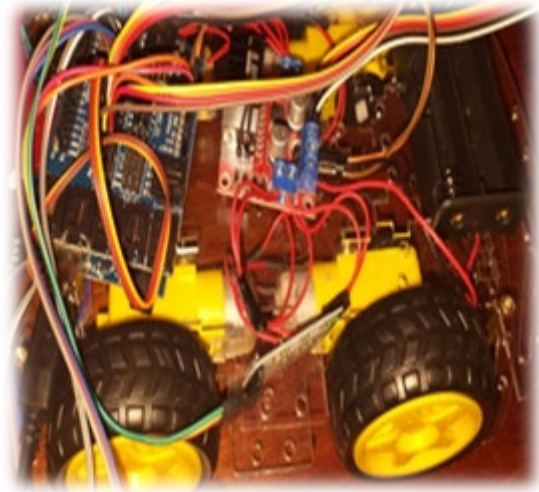
Installer les 3 modules suiveurs de ligne.





**Etape 9 :**

*Installer le module bluetooth. et monter le moteur drive L298N a la partie supérieure pour faciliter le travaille.*



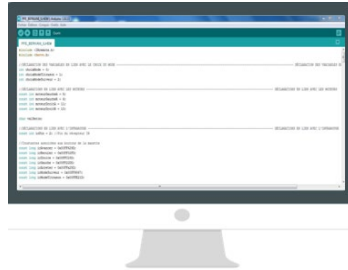
**Etape 10 :**

*Forme finale après avoir terminé l'assemblage.*

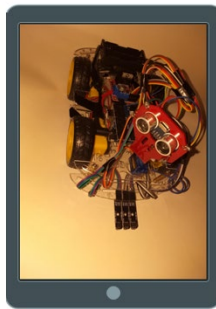


## 14.4 Schéma de fonctionnement

Le programme est prêt à être téléversé au robot.



Le programme est téléversé à la carte arduino et donc au robot



L'application « BlueTooth Serial Controller » permet le command du robot



Rq : le programme est le code arduino écrit dans le chapitre 15.

## 14.5 Résultats et Interprétations

### 1 Le test du mode avancé :



- L'appui sur mode avancé permet le robot de parcourir un chemin d'un point de départ vers le point final et il continue sur le chemin si nous ne changeons le mode sélectionné.

### 2 Le test du mode reculé :



- L'appui sur mode reculé permet le robot de parcourir un chemin d'un point de départ vers le point final et il continue sur le chemin si nous ne changeons le mode sélectionné. (Dans notre exemple le point de départ est le point final de l'exemple précédent)

### 3 Le test du mode droite :



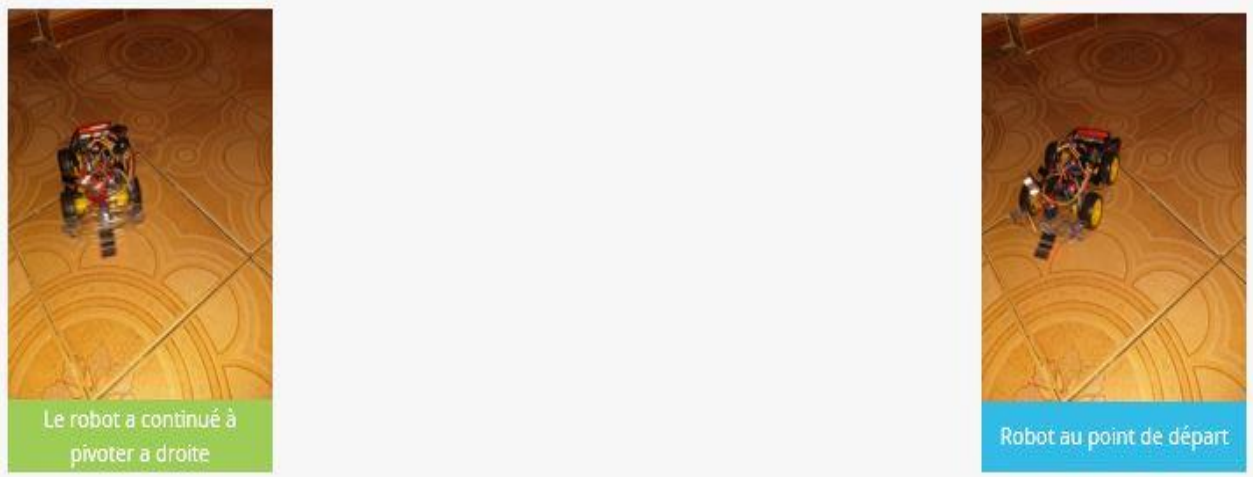
- La sélection du mode droite permet le robot de tourner à droite (Just les 2 roues droites qui tourne pour assurer ce mode).

### 4 Le test du mode gauche :



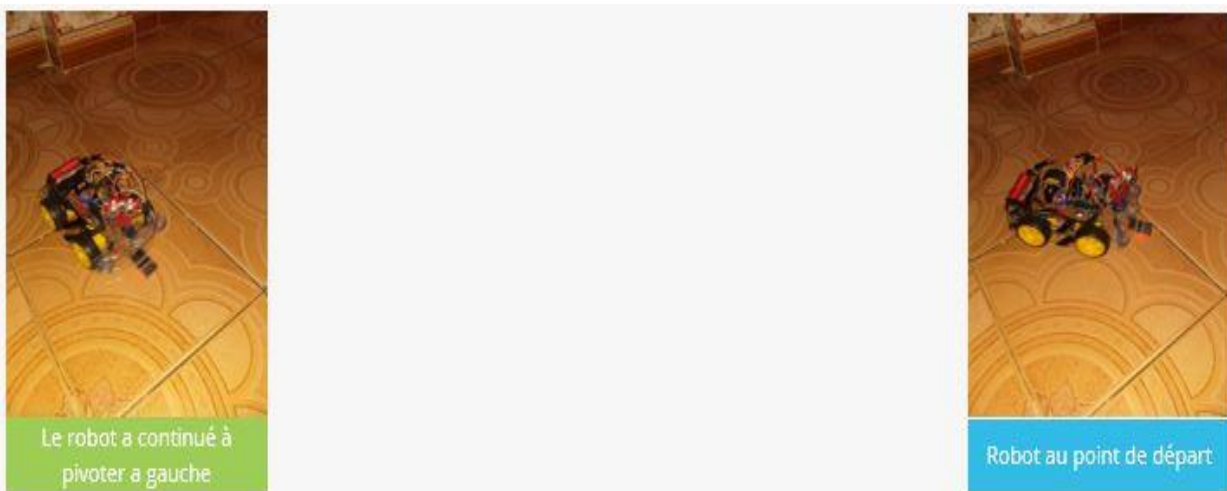
- La sélection du mode gauche permet le robot de tourner à gauche (Just les 2 roues gauches qui tourne pour assurer ce mode).

## 5 Le test du mode pivoté à droite :



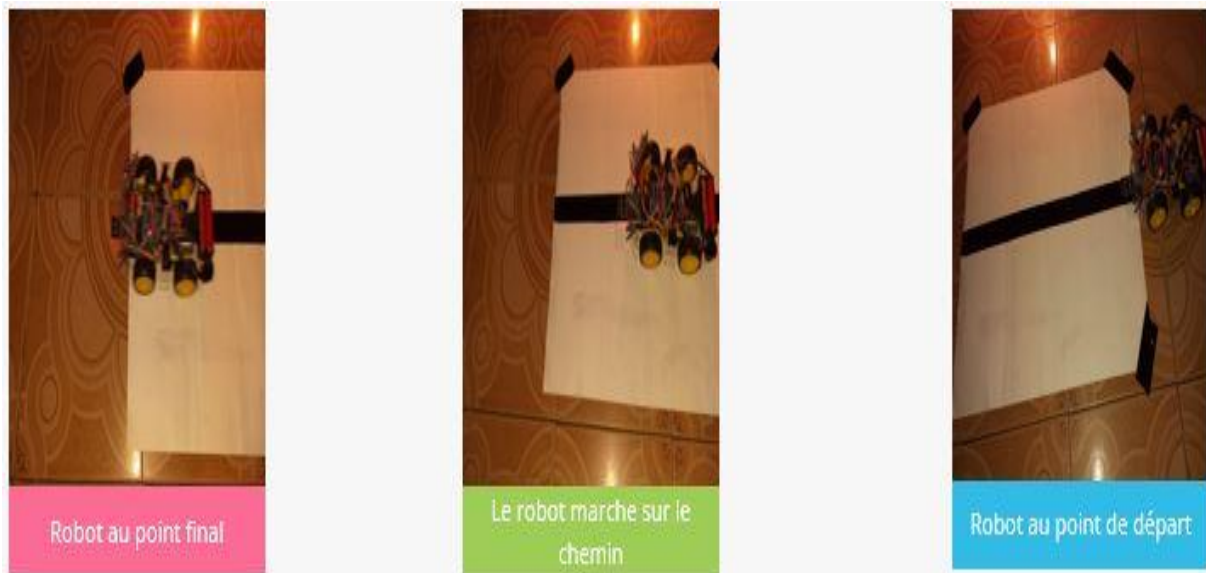
- Le mode pivoté a droite permet le robot de faire une tournée à droite (les 4 roues fonctionnent pour assurer ce mode).

## 6 Le test du mode pivoté à gauche :



- Le mode pivoté a gauche permet le robot de faire une tournée à gauche (les 4 roues fonctionnent pour assurer ce mode).

## 7 Le test du mode suiveur de chemin :



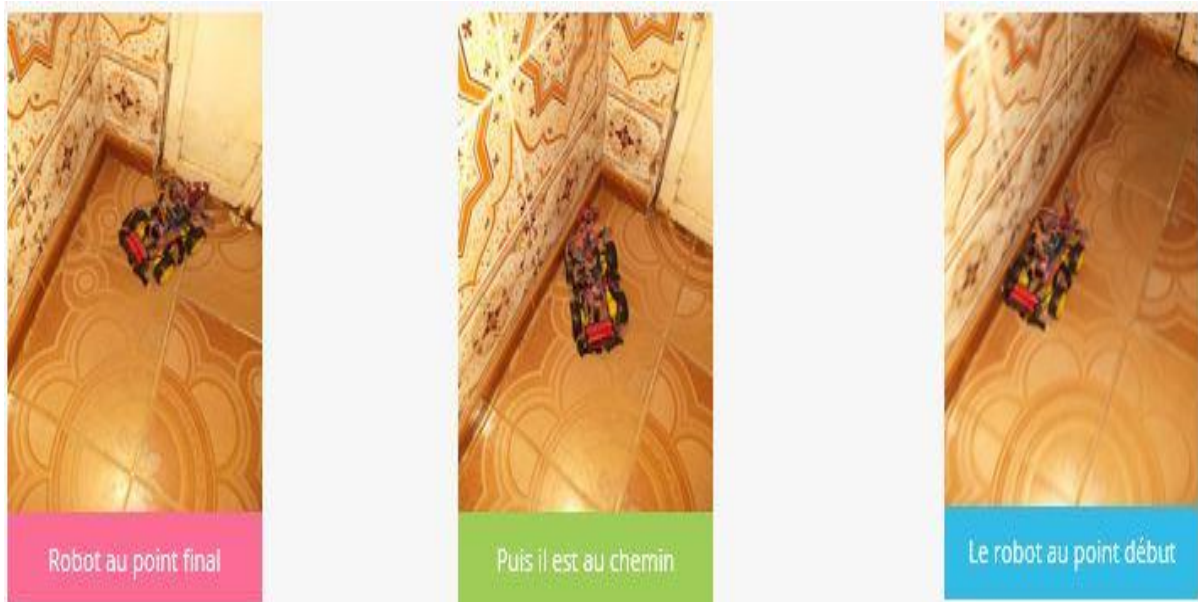
- Le mode suiveur de ligne ou de chemin permet de suivre une ligne noire désiré.

## 8 Le test du mode ultrason (détecteur d'obstacle) :



- Le mode ultrason permet le robot de détecter et éviter un obstacle statique, lorsque ce mode n'est pas activé : Le robot entre en collision avec des objets.

## 9 Le test du mode ultrason (détecteur d'obstacle) :



- Le mode ultrason est activé : le robot va éviter les obstacles et donc on aboutira au but qu'il y a un évitement de collision.

# Chapitre 15

## La Simulation

### 15.1 le code Arduino

```
1 #include <IRremote.h>
2 #include <Servo.h>
3
4 %% D CLARATION DES VARIABLES EN LIEN AVEC LE CHOIX DU MODE
5 int choixMode = 0;
6 int choixModeUltrason = 1;
7 int choixModeSuiveur = 2;
8
9 %%DECLARATIONS EN LIEN AVEC LES MOTEURS
10 const int moteurGaucheA = 5;
11 const int moteurGaucheR = 6;
12 const int moteurDroitA = 11;
13 const int moteurDroitR = 10;
14
15 char valSerie;
16
17 //DECLARATIONS EN LIEN AVEC L'INFRAROUGE
18 const int irPin = 2; //Pin du r cepteur IR
19
20 //Constantes associ es aux boutons de la manette
21 const long irAvancer = 0x00FF629D;
22 const long irReculer = 0x00FF02FD;
23 const long irDroite = 0x00FFC23D;
24 const long irGauche = 0x00FF22DD;
25 const long irArreter = 0x00FFa25D;
26 const long irModeSuiveur = 0x00FF9867;
27 const long irModeUltrason = 0x00FFE21D;
28
29 IRrecv irrecv(irPin); //Objet recevant les signaux d coder
30 decode_results irResultat; //Contient le r sultat du d codage
31
32 //DECLARATIONS EN LIEN AVEC LE CAPTEUR DE DISTANCE ET LE SERVOMOTEUR
33 const int echoPin = 13;
34 const int triggerPin = 12;
35
```



```

36 | int distanceAvant;
37 | int distanceDroite;
38 | int distanceGauche;
39 | float intervalle;
40 |
41 | Servo myservo; //Creation de l'objet servo
42 | const int delay_time = 250; //Temps accorde au servo pour la mesure de la distance de chaque c t
43 |
44 | //DECLARATIONS EN LIEN AVEC LES CAPTEURS DE LUMINOSIT
45 | const int capteurGauche = 7;
46 | const int capteurCentre = 4;
47 | const int capteurDroit = 3;
48 | bool etatCapteurGauche;
49 | bool etatCapteurCentre;
50 | bool etatCapteurDroit;
51 |
52 | //SETUP
53 | void setup()
54 | {
55 |     //Initialisation de la communication serie
56 |     Serial.begin(9600);
57 |
58 |     //Initialisation des broches des moteurs
59 |     pinMode(moteurGaucheA, OUTPUT);
60 |     pinMode(moteurGaucheR, OUTPUT);
61 |     pinMode(moteurDroitA, OUTPUT);
62 |     pinMode(moteurDroitR, OUTPUT);
63 |     digitalWrite(moteurGaucheA, LOW);
64 |     digitalWrite(moteurGaucheR, LOW);
65 |     digitalWrite(moteurDroitA, LOW);
66 |     digitalWrite(moteurDroitR, LOW);
67 |
68 |     //Initialisation du decodage infrarouge
69 |     irrecv.enableIRIn();
70 |
71 |     //Initialisation du capteur de distance et du servomoteur
72 |     pinMode(echoPin, INPUT);
73 |     pinMode(triggerPin, OUTPUT);
74 |     myservo.attach(9);
75 |     myservo.write(90);
76 |
77 |     //Initialisation des capteurs de couleur
78 |     pinMode(capteurGauche, INPUT);
79 |     pinMode(capteurCentre, INPUT);
80 |     pinMode(capteurDroit, INPUT);
81 | }
82 |
83 | //FONCTIONS POUR LES MOTEURS
84 | void avancer()
85 | {
86 |     digitalWrite(moteurGaucheA, HIGH);
87 |     digitalWrite(moteurGaucheR, LOW);
88 |     digitalWrite(moteurDroitA, HIGH);
89 |     digitalWrite(moteurDroitR, LOW);
90 | }
91 |
92 | void gauche()
93 | {
94 |     digitalWrite(moteurGaucheA, LOW);
95 |     digitalWrite(moteurGaucheR, LOW);
96 |     digitalWrite(moteurDroitA, HIGH);
97 |     digitalWrite(moteurDroitR, LOW);
98 | }
99 | void droite()
100 | {
101 |     digitalWrite(moteurGaucheA, HIGH);

```

```

102   digitalWrite(moteurGaucheR, LOW);
103   digitalWrite(moteurDroitA, LOW);
104   digitalWrite(moteurDroitR, LOW);
105   }
106   void reculer()
107   {
108     digitalWrite(moteurGaucheA, LOW);
109     digitalWrite(moteurGaucheR, HIGH);
110     digitalWrite(moteurDroitA, LOW);
111     digitalWrite(moteurDroitR, HIGH);
112   }
113   void arreter()
114   {
115     digitalWrite(moteurGaucheA, LOW);
116     digitalWrite(moteurGaucheR, LOW);
117     digitalWrite(moteurDroitA, LOW);
118     digitalWrite(moteurDroitR, LOW);
119   }
120   void pivoterGauche()
121   {
122     digitalWrite(moteurGaucheA, LOW);
123     digitalWrite(moteurGaucheR, HIGH);
124     digitalWrite(moteurDroitA, HIGH);
125     digitalWrite(moteurDroitR, LOW);
126   }
127   void pivoterDroite()
128   {
129     digitalWrite(moteurGaucheA, HIGH);
130     digitalWrite(moteurGaucheR, LOW);
131     digitalWrite(moteurDroitA, LOW);
132     digitalWrite(moteurDroitR, HIGH);
133   }
134
135   //FONCTIONS POUR LE MODE ULTRASON
136   void mesurerDistanceAvant()
137   {
138     myservo.write(90);
139     delay(delay_time);
140     digitalWrite(triggerPin, LOW);
141     delayMicroseconds(2);
142     digitalWrite(triggerPin, HIGH); //Envoie d'une onde sonore
143     delayMicroseconds(10);
144     digitalWrite(triggerPin, LOW);
145     intervalle = pulseIn(echoPin, HIGH); //Reception de l'echo
146     intervalle = intervalle/5.8/10; //Conversion de la difference de temps entre l'envoi de l'onde sonore et
        la reception de l'cho en distance (cm)
147     Serial.println("Distance avant:");
148     Serial.println(intervalle);
149     distanceAvant = intervalle; //Arrondissement de la distance
150   }
151
152   void mesurerDistanceGauche()
153   {
154     myservo.write(180);
155     delay(delay_time);
156     digitalWrite(triggerPin, LOW);
157     delayMicroseconds(2);
158     digitalWrite(triggerPin, HIGH); //Envoie d'une onde sonore
159     delayMicroseconds(10);
160     digitalWrite(triggerPin, LOW);
161     intervalle = pulseIn(echoPin, HIGH); //Reception de l'echo
162     intervalle = intervalle/5.8/10; //Conversion de la difference de temps entre l'envoi de l'onde sonore et
        la reception de l'cho en distance (cm)
163     Serial.println("Distance gauche:");
164     Serial.println(intervalle);
165     distanceGauche = intervalle;

```

```

166 }
167
168 void mesurerDistanceDroite()
169 {
170   myservo.write(0);
171   delay(delay_time);
172   digitalWrite(triggerPin, LOW);
173   delayMicroseconds(2);
174   digitalWrite(triggerPin, HIGH); //Envoie d'une onde sonore
175   delayMicroseconds(10);
176   digitalWrite(triggerPin, LOW);
177   intervalle = pulseIn(echoPin, HIGH); //Reception de l'echo
178   intervalle = intervalle/5.8/10; //Conversion de la difference de temps entre l'envoi de l'onde sonore et
      la reception de l'cho en distance (cm)
179   Serial.println("Distance droite:");
180   Serial.println(intervalle);
181   distanceDroite = intervalle;
182 }
183
184 void modeUltrason()
185 {
186   mesurerDistanceAvant();
187
188   if(distanceAvant < 25) //Si la distance avant est de moins de 25cm
189   {
190     arreter();
191     mesurerDistanceGauche();
192     delay(delay_time);
193     mesurerDistanceDroite();
194     delay(delay_time);
195
196     if(distanceGauche < 15 && distanceDroite < 15) //Si la distance gauche et la distance droite sont
      de moins de 15cm
197     {
198       reculer();
199       delay(500);
200       pivoterGauche();
201       delay(250);
202     }
203     else if(distanceGauche > distanceDroite) //Si la distance gauche est plus grande que la distance droite
204     {
205       pivoterGauche();
206       delay(250);
207     }
208     else if(distanceGauche <= distanceDroite) //Si la distance gauche est plus petite ou gale la
      distance droite
209     {
210       pivoterDroite();
211       delay(250);
212     }
213   }
214   else //Si la distance avant est de plus de 25cm
215   {
216     avancer();
217   }
218 }
219
220 void commandeSerie()
221 {
222   if(Serial.available())
223   {
224     valSerie = Serial.read();
225
226     choixMode = 0;
227
228     if(valSerie == 'w')

```

```

229     avancer();
230     else if(valSerie == 'a')
231     gauche();
232     else if(valSerie == 's')
233     reculer();
234     else if(valSerie == 'd')
235     droite();
236     else if(valSerie == 'q')
237     arreter();
238     else if(valSerie == 'z')
239     pivoterGauche();
240     else if(valSerie == 'x')
241     pivoterDroite();
242     else if(valSerie == '1')
243     choixMode = choixModeUltrason;
244     else if(valSerie == '2')
245     choixMode = choixModeSuiveur;
246   }
247 }
248
249 void modeSuiveur()
250 {
251   etatCapteurGauche = digitalRead(capteurGauche);
252   etatCapteurCentre = digitalRead(capteurCentre);
253   etatCapteurDroit = digitalRead(capteurDroit);
254
255   if(etatCapteurCentre) //Si le capteur du centre d tecte du noir
256   {
257     if ((etatCapteurGauche) && (!etatCapteurDroit)) //S'il y a du noir   gauche et du blanc   droite,
258         tourner   gauche
259     gauche();
260     else if ((!etatCapteurGauche) && (etatCapteurDroit)) //S'il y a du blanc   gauche et du noir   droite
261         , tourner   droite
262     droite();
263     else //Si les conditions plus haut ne s'appliquent pas, continuer tout droit
264     avancer();
265   }
266   else //Si le capteur du centre d tecte du blanc
267   {
268     if ((etatCapteurGauche) && (!etatCapteurDroit)) //S'il y a du noir   gauche et du blanc   droite,
269         tourner   gauche
270     gauche();
271     else if ((!etatCapteurGauche) && (etatCapteurDroit)) //S'il y a du blanc   gauche et du noir   droite
272         , tourner   droite
273     droite();
274     else //Si les conditions plus hautdne s'appliquent pas, reculer
275     reculer();
276   }
277 }
278
279 void lireInfrarouge()
280 {
281   if (irrecv.decode(&irResultat)) //Reception d'un signal IR
282   {
283     irrecv.resume(); //Accepter les nouveaux resultats IR
284
285     if((irResultat.value < 0xFFFF000) && (irResultat.value > 0xFF0000)) //Filtrage des mauvaises d tections
286     IR
287     {
288       choixMode = 0;
289
290       if (irResultat.value == irAvancer) //Avancer
291       avancer();
292       else if (irResultat.value == irReculer) //Reculer
293       reculer();
294       else if (irResultat.value == irDroite) //Tourner a droite

```

```
290     droite();
291     else if (irResultat.value == irGauche) //Tourner a gauche
292     gauche();
293     else if (irResultat.value == irArreter) //Arreter
294     arreter();
295     else if(irResultat.value == irModeSuiveur)
296     choixMode = choixModeSuiveur;
297     else if(irResultat.value == irModeUltrason)
298     choixMode = choixModeUltrason;
299
300     irResultat.value = 0;
301 }
302 }
303 }
304
305 //BOUCLE
306 void loop()
307 {
308     commandeSerie();
309     lireInfrarouge();
310
311     if(choixMode == choixModeUltrason)
312     {
313         modeUltrason();
314     }
315     else if(choixMode == choixModeSuiveur)
316     {
317         modeSuiveur();
318     }
319 }
```



## Conclusions

Ce projet a développé un robot d'évitement d'obstacles pour détecter et éviter les obstacles sur son chemin. Le robot est construit sur la plate-forme Arduino pour le traitement des données et son homologue logiciel a permis de communiquer avec le robot pour lui envoyer des paramètres de guidage des mouvements. Pour la détection des obstacles, un capteur de distance à ultrasons a été utilisé, ce qui a permis d'élargir le champ de détection. Le robot est entièrement autonome et après le chargement initial du code, il ne nécessite aucune intervention de l'utilisateur pendant son fonctionnement. Lorsqu'il est placé dans un environnement inconnu avec des obstacles, L'ajout d'un dispositif Bluetooth peut également permettre de passer d'un mode de contrôle à un autre à distance. il se déplace en évitant tous les obstacles avec une précision considérable. Le travail effectué dans le cadre de ce projet peut servir de base à d'autres améliorations visant à accroître la précision et l'adaptabilité de la détection d'obstacles dans divers environnements. À l'avenir, ce projet vise à tester la faisabilité de l'intégration de différents types de capteurs pour compléter les inconvénients de chacun. et de travailler avec 2 robots mobiles ( donc l'obstacle devient dynamique).



## Bibliographie

- [1] D.K.Pratihar, “Lecture 01 : Introduction to robots and robotics.” <https://rb.gy/tzaodu>, 2018.
- [2] L. Zineb, “la robotique mobile les différents méthodes de navigation pour un robot mobile,” 2013.
- [3] A. Pepe and C. Melchiorri, “Introduction to Mobile Robotics Course of Industrial Robotics M,”
- [4] “Introduction to Robotics,section Knowledgebase for Robotics,” *BJU International*, vol. 108, no. 6 B, pp. 1018–1023, 2011.
- [5] B. Marr, “The 4 ds of robotization : Dull, dirty, dangerous and dear.” <https://rb.gy/gvgngv>, 2017.
- [6] sbah, “Microsoft Robotics Studio Developer,” 2012.
- [7] P. Smedley, “Robot workers : Whom will automation replace?.” <https://rb.gy/dznsgg>, 2019.
- [8] A. Russo, “Automatisation des processus par la robotique.” <https://rb.gy/9e3b6j>, 2020.
- [9] G. I. of Technology, “How would you like your assistant—human or robotic?.” <https://rb.gy/9tjwf9>, 2013.
- [10] J. Fitzgerald, “Using autonomous robots to drive supply chain innovation.” <https://rb.gy/ycys8c>, 2020.
- [11] J.-L. Boimond, “ROBOTIQUE,” pp. 1–85.
- [12] R. Hughes, *Introduction To Robotics Analysis,Control,Applications*, vol. 53. 2008.
- [13] J. Caro, “Qu’est-ce qu’un robot ? apprendre à connaître les capteurs et les actionneurs.” <https://rb.gy/rtipfs>, 2016.

- [14] H. A.-F. BERKANI, “Design & Construction of mobile robot with a manipulator arm,a thesis submitted in partial fulfillment for the academic degree requirements of : “master in electronics of embedded systems”,” no. July, 2019.
- [15] C. F. P. (CFP), “Type of robots.” <https://rb.gy/dnz68b>, 2016.
- [16] R. Siegwart, I. R. Nourbakhsh, and D. Scaramuzza, *Introduction to Autonomous Mobile robots Second Edition*. MIT press, 2011.
- [17] Dr.C.A.Berry, “Ece425 : Mobile robotics course.” <https://rb.gy/sv8b4g>, 2018.
- [18] R. Siegwart and I. Nourbakhsh, “Sensors for Mobile Robots,” pp. 79–158.
- [19] S. G. Tzafestas, *Introduction to Mobile Robot Control*.
- [20] Robin.R.Murphy, *Introduction to AI Robotics*.
- [21] A. Koubaa, H. Bennaceur, I. Chaari, S. Trigui, A. Ammar, M.-F. Sriti, M. Alajlan, O. Cheikhrouhou, and Y. Javed, *Robot Path Planning and Cooperation Foundations, Algorithms and Experimentations*, vol. XXII. 2018.
- [22] “Planning and Navigation : Where am I going ? How do I get there?,” pp. 231–274.
- [23] A. K. Guruji, H. Agarwal, and D. K. Parsediya, “Time-Efficient A \* Algorithm for Robot Path Planning,” vol. 23, pp. 144–149, 2016.